

Химия vs Нанохимия



Гудилин Е.А., Семенова А.А.
МГУ имени М.В.Ломоносова

Сочи - 2017

Элементы - стихии



Золото
(Солнце)



Серебро
(Луна)



Медь
(Венера)



Железо
(Марс)



Олово
(Юпитер)



Свинец
(Сатурн)

Ртуть
(Меркурий)



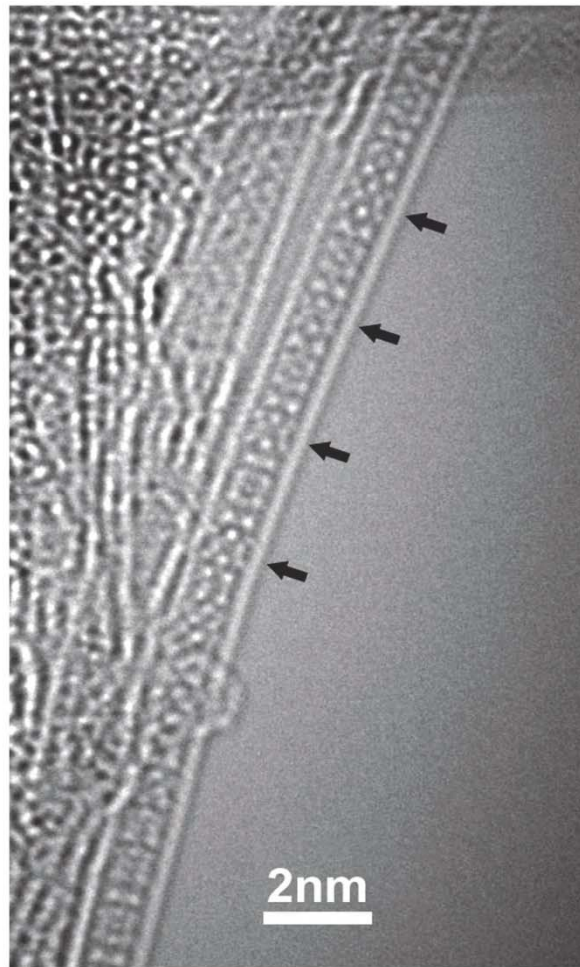
Кадр из мультфильма про Аватара

Одними из первых о строении вещества задумались древние алхимики и философы...

АТОМЫ ЕСТЬ!



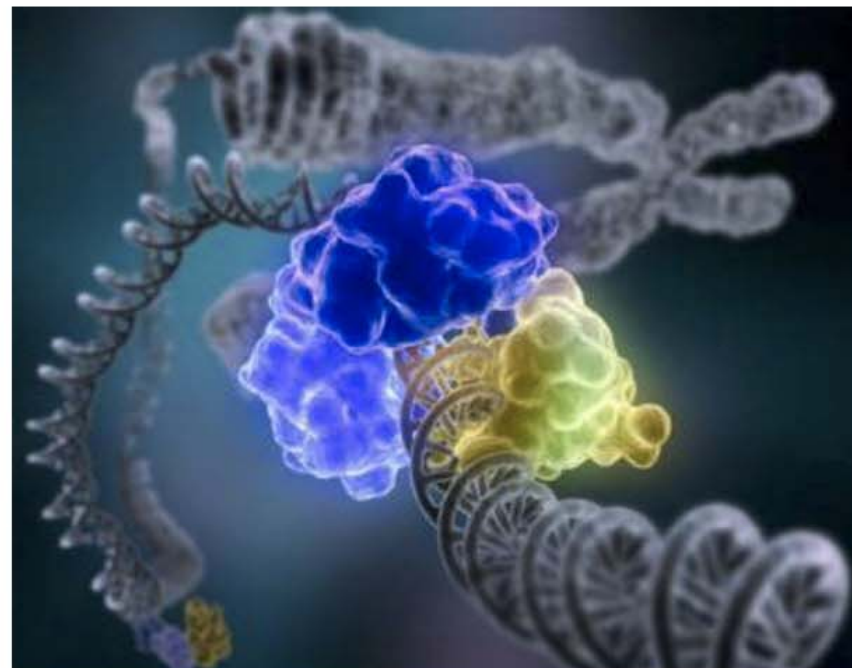
Сканирующая
Зондовая
Микроскопия



Просвечивающая
Электронная
Микроскопия



Ионная
Микроскопия



Атомы становятся веществом

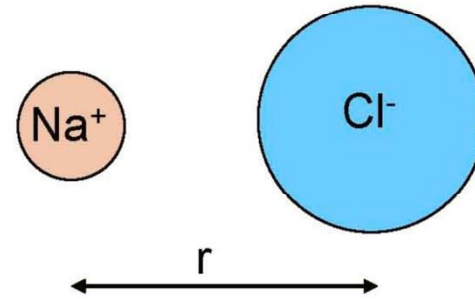


Все живое и неживое —
продукт взаимодействия
путем образования
химических связей



Ионная связь

Ионная связь это взаимодействие противоположных зарядов



Характеристики ионной связи:

- 1) Ненаправленность
- 2) Недеформируемость электронных оболочек
- 3) Значимость кристаллического строения:

$$E_{\text{крист}} = A \cdot (|Z_+| \cdot |Z_-| \cdot e^2) / r$$

A – константа Маделунга

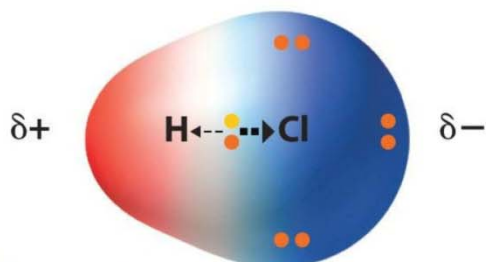
$$E = (|Z_+| \cdot |Z_-| \cdot e^2) / r$$



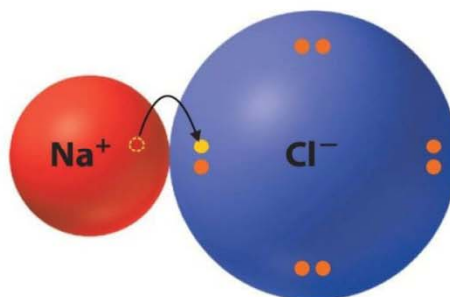
Ковалентная связь



Неполярная ковалентная связь
Связывающие электроны в равной степени принадлежат обоим атомам. На атомах отсутствует заряд.

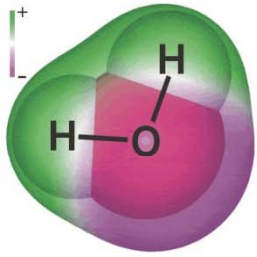


Полярная ковалентная связь
Электронная плотность смещена к более электроотрицательному атому, на котором возникает частичный отрицательный заряд. На менее электроотрицательном атоме возникает частичный положительный заряд.

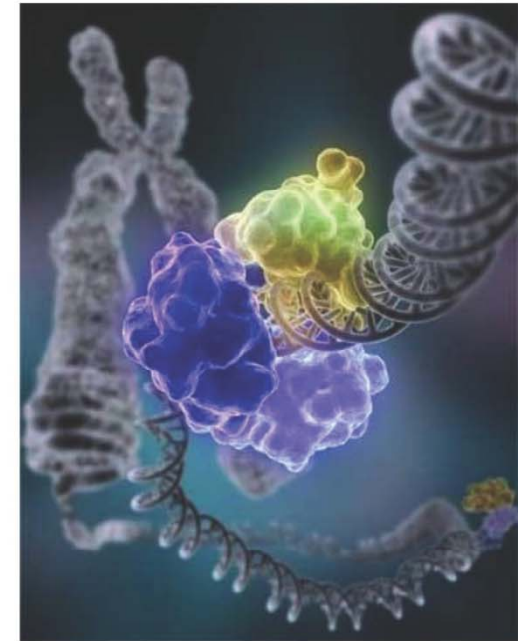
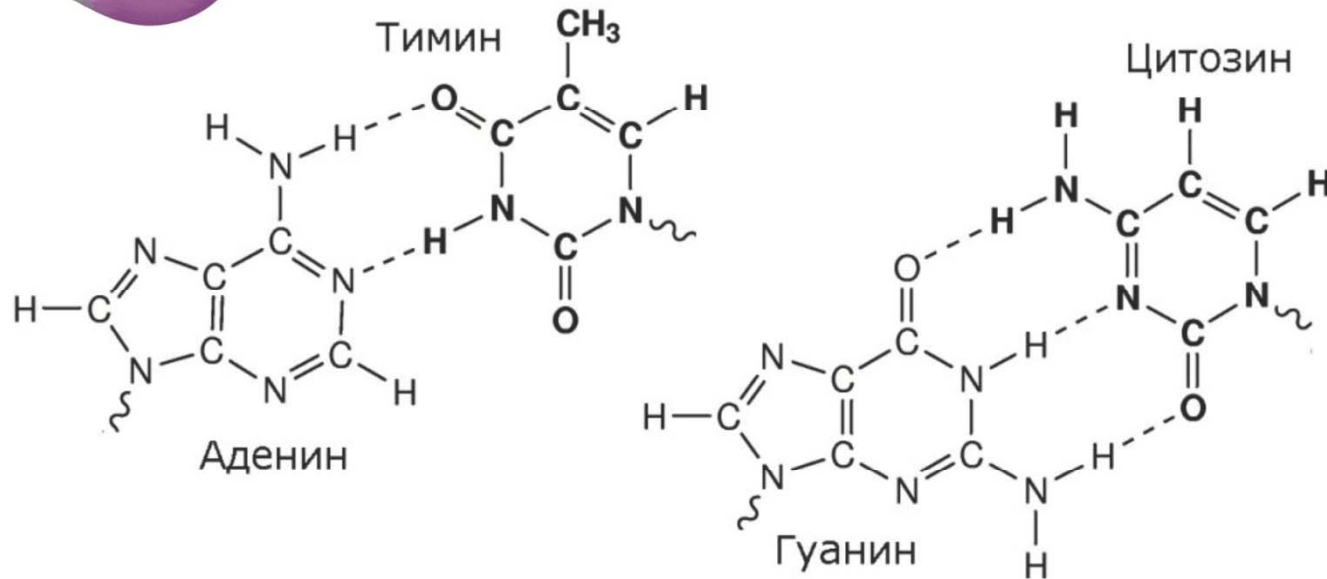


Ионная связь
Перенос одного или нескольких валентных электронов от атома металла к атому неметалла. Образуются целочисленно заряженные ионы.





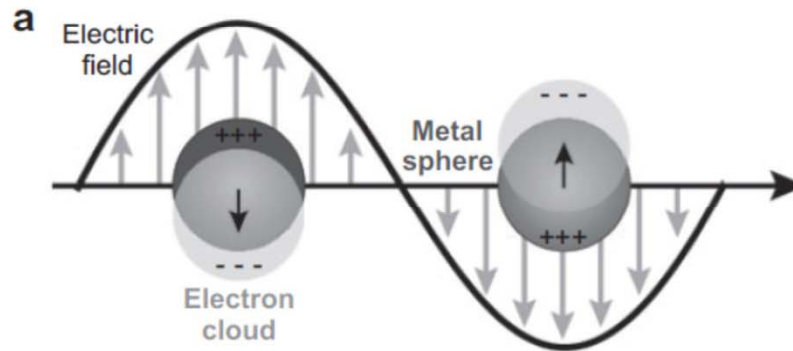
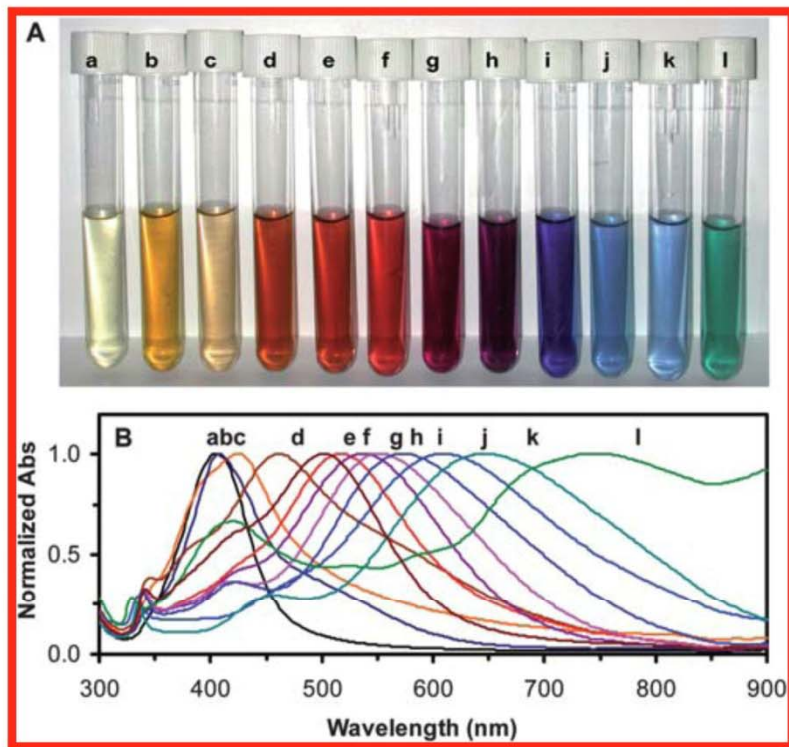
Водородная связь



Для водородной связи необходимо наличие двух полярных ковалентных связей, в образовании одной из которых участвует атом водорода, а другой - электроотрицательный атом (кислород, азот, галоген). Водородная связь считается ключевым взаимодействием в супрамолекулярной химии. Она определяет структуру белков, двойной спирали ДНК, воды и льда, супрамолекулярных ансамблей, полимеров, оказывает влияние на свойства многих растворов.

Энергия меняется в широких пределах - от 5 до 100 кДж/моль, однако обычно водородная связь намного слабее ковалентных связей. В зависимости от энергии, водородная связь имеет различный характер - от чисто электростатического (слабые связи) до преимущественно ковалентного (сильные связи).

Металлическая связь

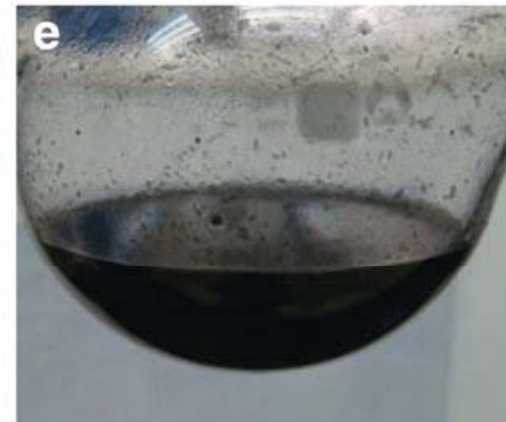
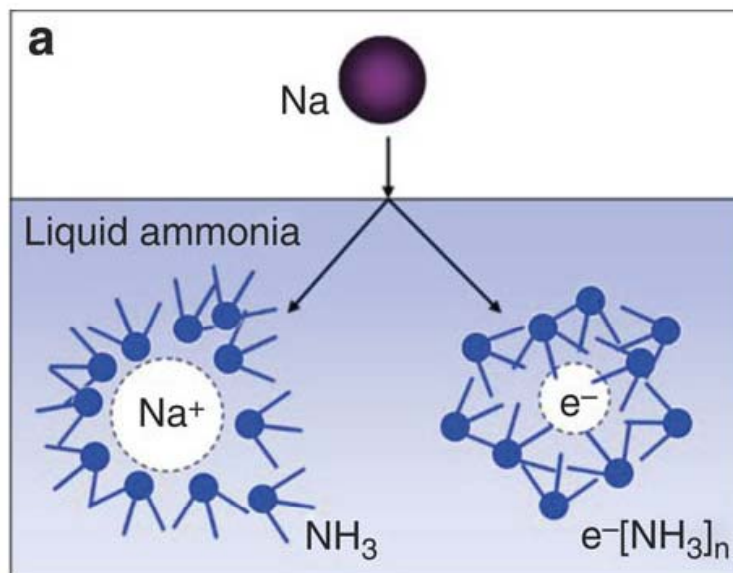


IA																				
H	IIA																			
Li	Be																			
Na	Mg	III B	IV B	V B	VI B	VII B	VIII													
K	Ca	Sc	Ti	V	Cr	Mn	Fe	Co	Ni											
Rb	Sr	Y	Zr	Nb	Mo	Tc	Ru	Rh	Pd	Ag	Cd	In	Sn	Sb	Te	I	Xe			
Cs	Ba	La	Hf	Ta	W	Re	Os	Ir	Pt	Au	Hg	Tl	Pb	Bi	Po	At	Rn			

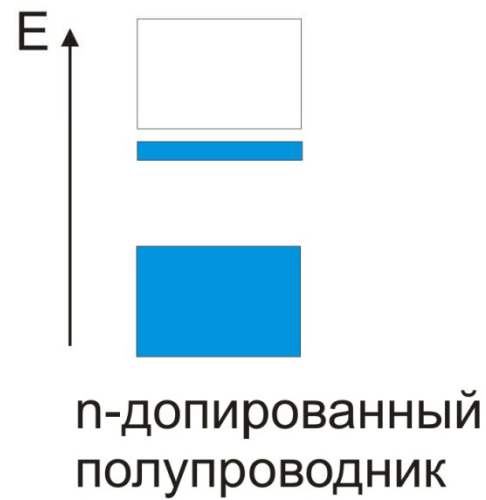
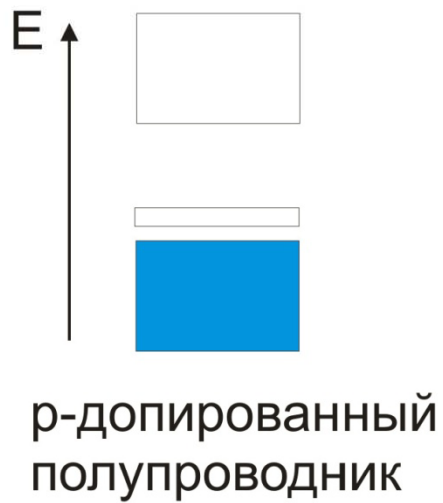
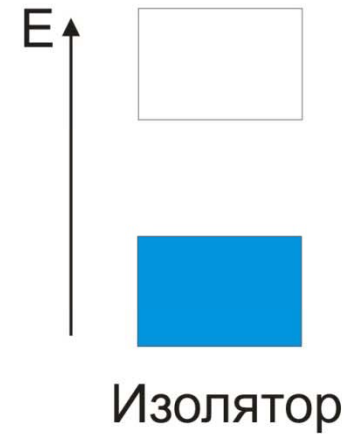
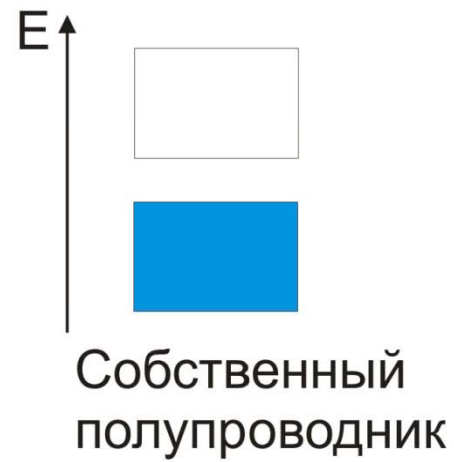
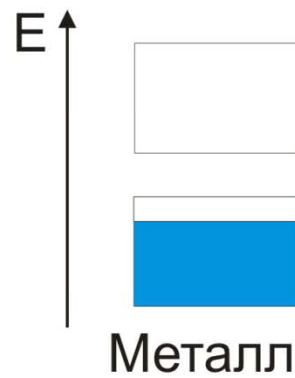
R. Dornhaus. *Festkörperprobleme*. 1982. XXII. 201–228.
R. Alvarez-Puebla, et al. *Small*. 2010. 6 (5). 604–610.

T. Huang, et al. *J. Mater. Chem.* 2010. 20. 9867–9876.

Поляроны



Металлы, полупроводники и изоляторы



Ван-дер-ваальсовы силы

Ван-дер-ваальсовы силы существуют всегда между атомами и молекулами, но могут быть пренебрежимо малы при наличии ионных или ковалентных взаимодействий

Три типа ван-дер-ваальсовых сил:

- 1) **Диполь-дипольное притяжение**
взаимодействие постоянных диполей
- 2) **Индукционное притяжение**
взаимодействие постоянного и наведенного диполей
- 3) **Дисперсионное притяжение**
взаимодействие мгновенных диполей



Строение лап геккона ([K. Autumn, et al. *American Scientist*, 2006, 124])

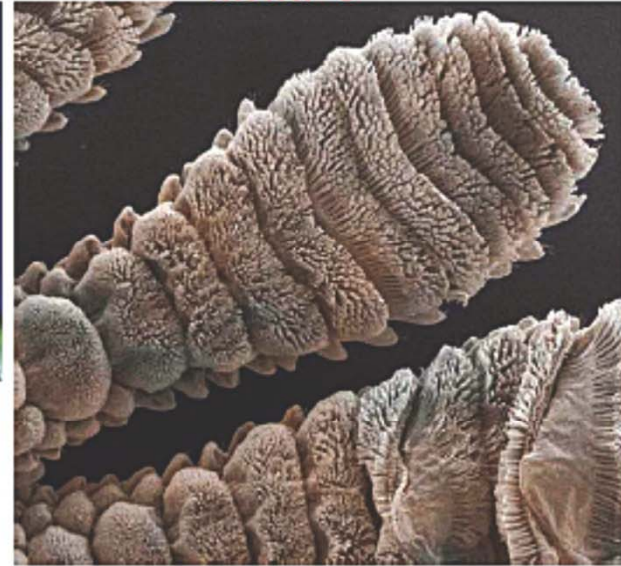
МАКРО



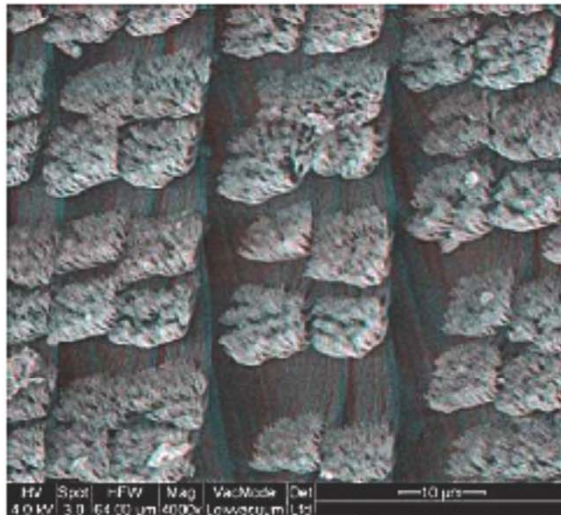
МЕЗО



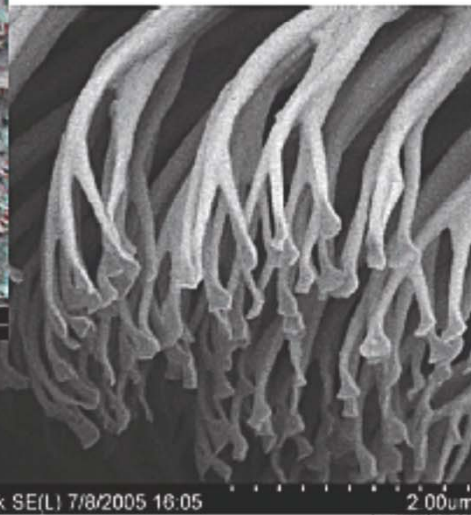
МИКРО



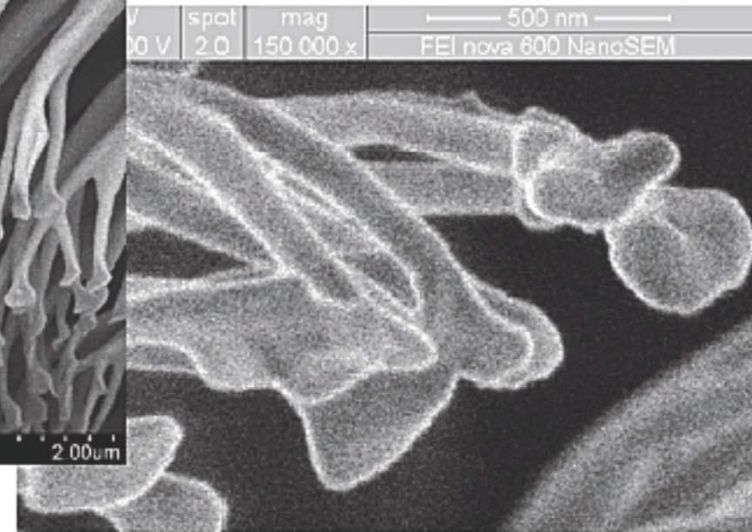
СУБ-МИКРО



НАНО

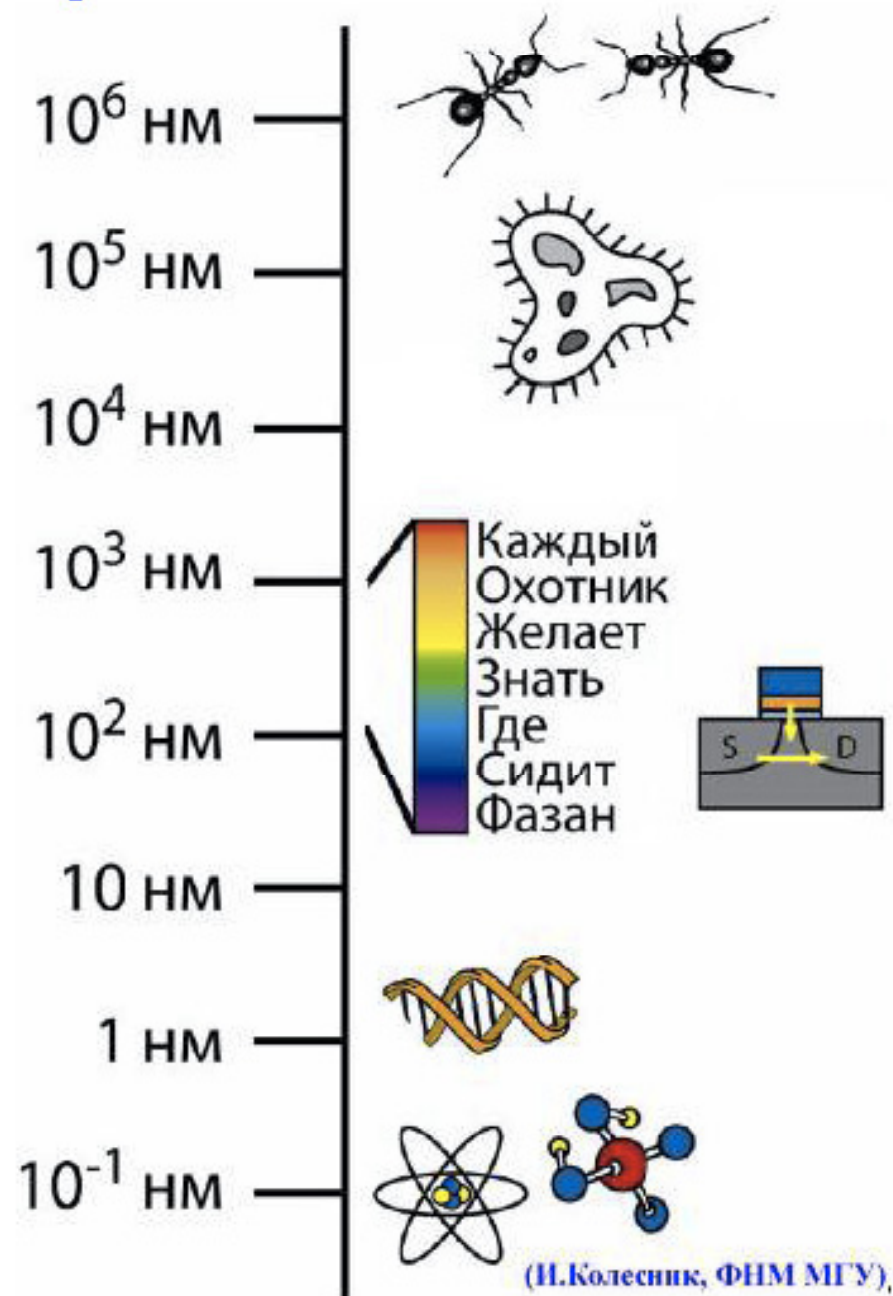


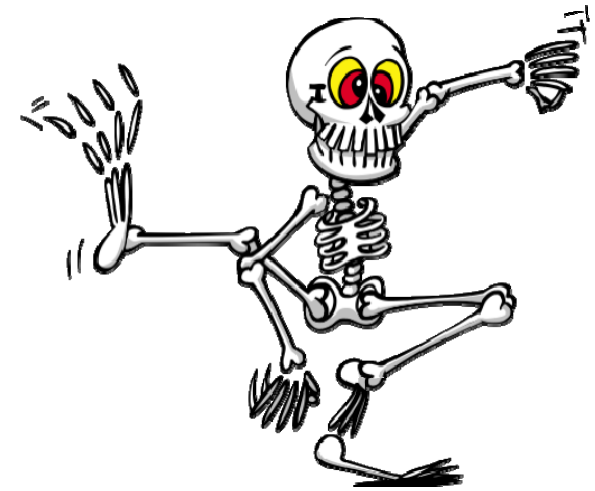
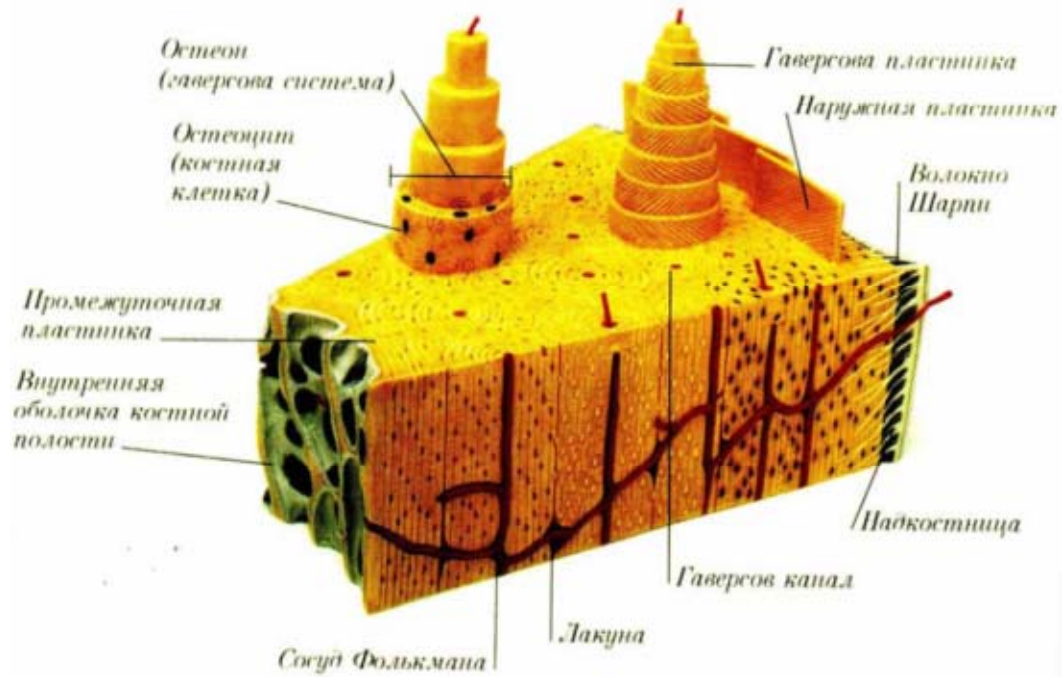
НАНО



«Пятое измерение»?

- Размер по одному из измерений < 100 нм
- Новые по сравнению с объемным телом свойства
- Высокая реакционная способность
- Квантовые и туннельные эффекты
- Самоорганизация и самосборка
- Специфическое взаимодействие с живыми системами





=10

(площадь монослоя чешуек гидроксилапатита из нашего скелета составит десять футбольных полей)



Материалы электроники

64 Гб = 25 нм

(линейный размер
записывающих
элементов
«флэшки» на
64 Гб составляет
в среднем 25 нм)



Терминатор – 1, 2, 3, 4

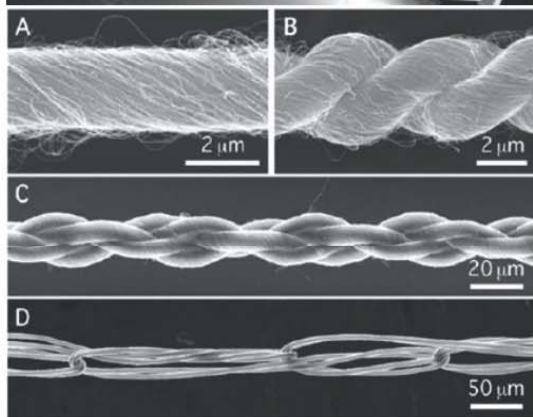
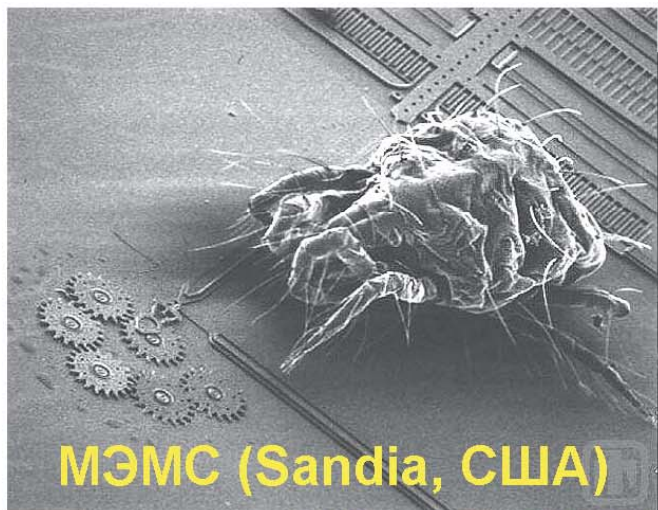


**Классическая
Модель**

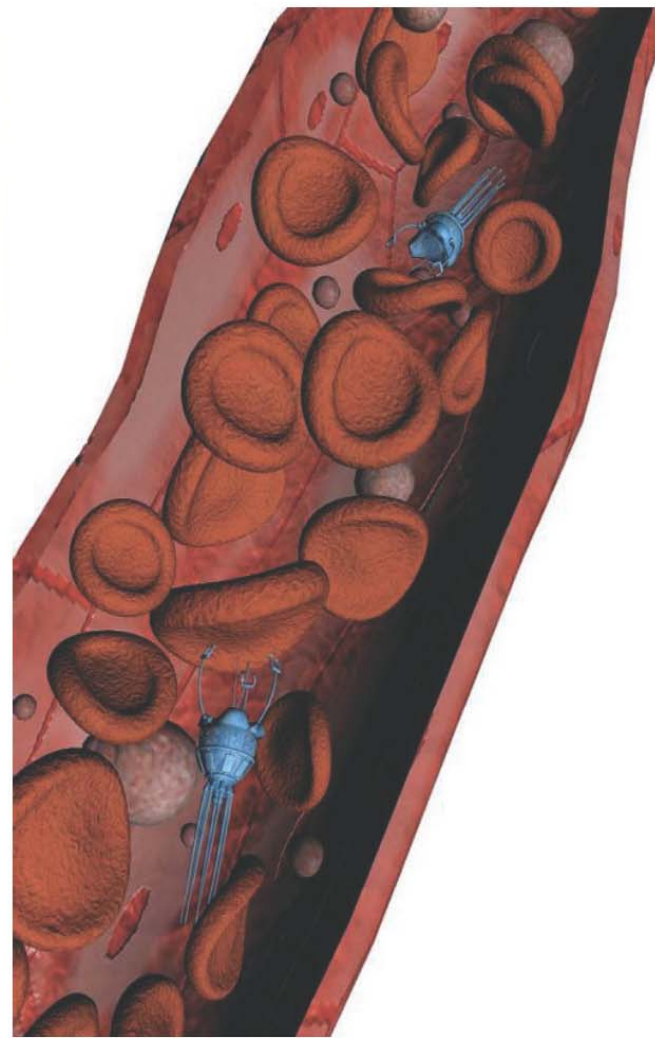


**Нанокиборг
(жидкий металл)**

Футуристическое будущее



**Космический лифт
из углеродных
нанотрубок**



**Нанобио-
роботы
в сосудах**



Как контролировать свойства?

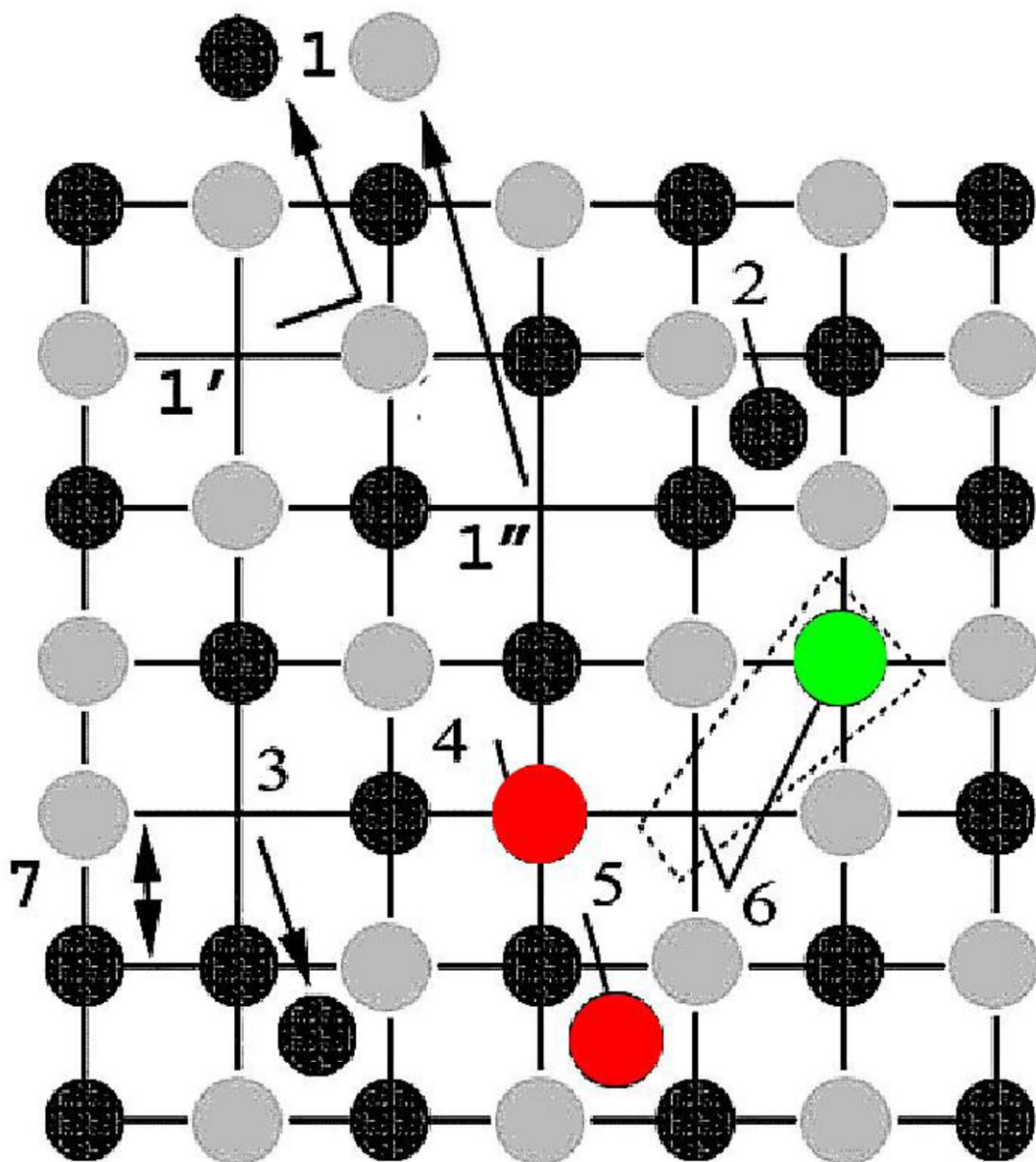


Направление химических реакций определяется массой, свойствами реагентов и условиями реакции. Состав продуктов должен изменяться непрерывно, т. е. быть переменным.

1801 - 1808 г.г.

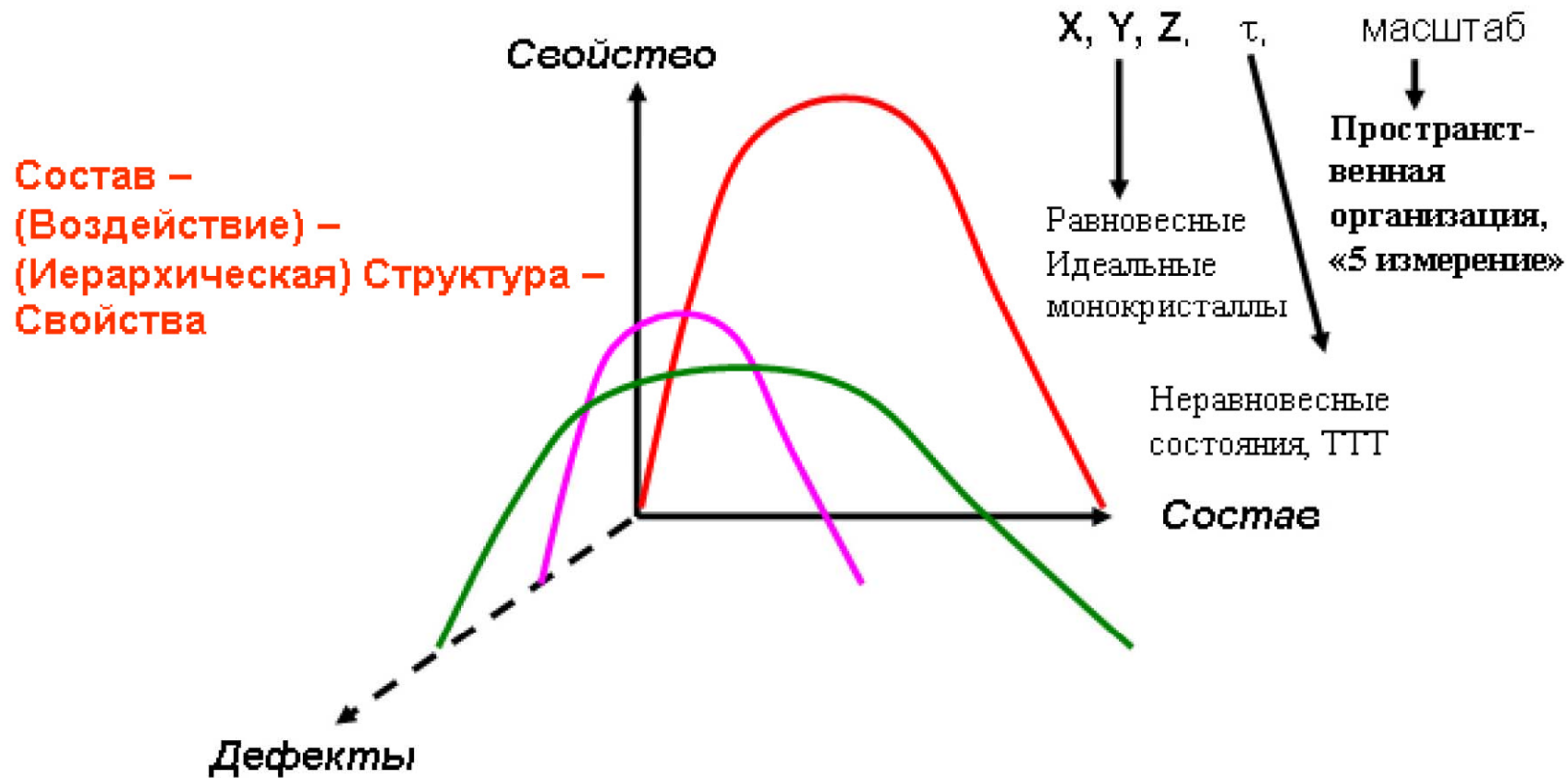
Закон постоянства состава: состав не зависит от способа получения

Точечные дефекты



1', 1'' – вакансии,
1 – дефект по Шоттки,
2 – собственный
междоузельный атом,
3 – дефект по
Френкелю,
4 – дефект замещения,
5 – дефект внедрения,
6 – гетеровалентное
замещение,
7 – антиструктурные
дефекты

Свойства

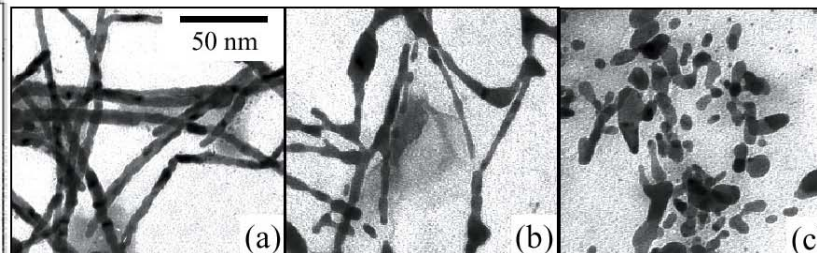
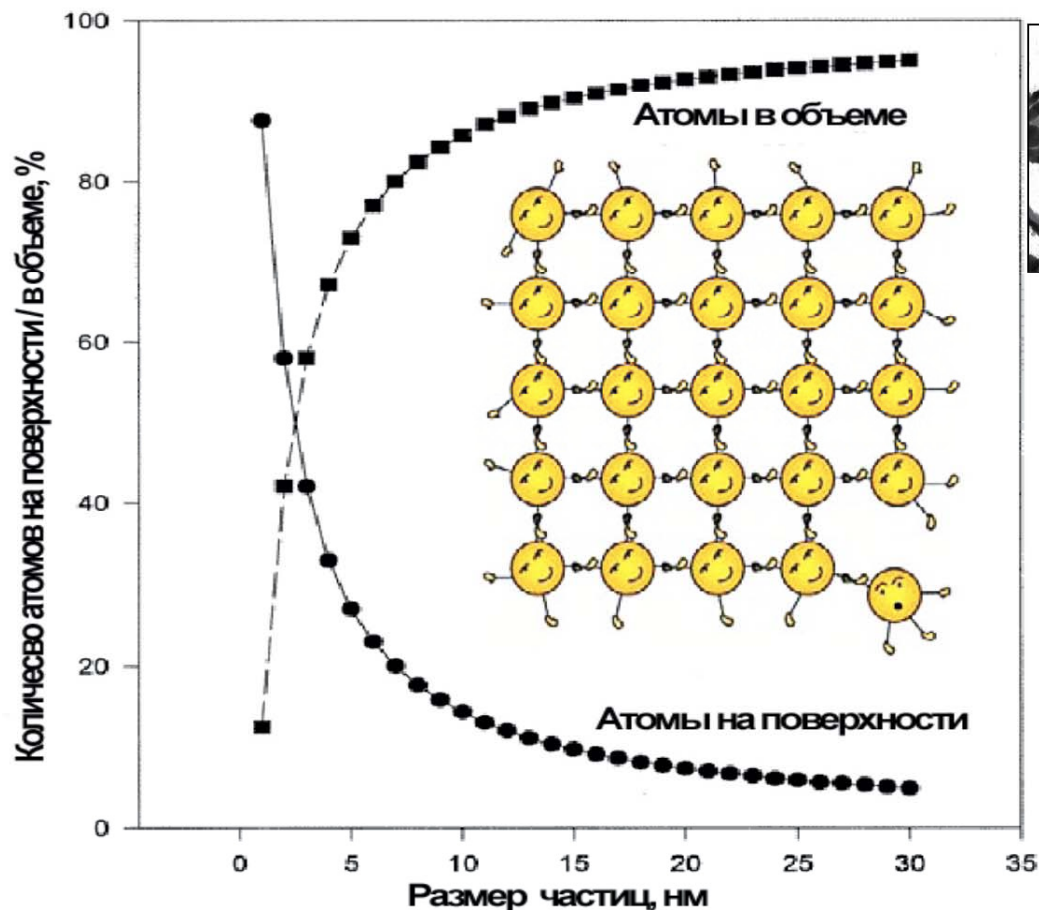


Вещество (состав) – Фаза (состав, структура, фундаментальные свойства) –
МАТЕРИАЛ (состав, структура, дефекты, фундаментальные и структурно-чувствительные свойства)

Шкала размеров

	I	II	III	IV	V	VI		
Типы металлических частиц								
Количество атомов, q	1	2	3-12	13-150	151-21100	$2,2 \cdot 10^4 - 5 \cdot 10^5$	$> 10^6$	
Средний диаметр, d, Å	2,4-3,4	4,5-6,0	5,5-8,0	8-20	20-100	100-300	> 300	
% поверхностных атомов	100	100	100	92-63	63-15	15-2	< 2	
Количество внутренних слоев в частице	0	0	0	1-3	4-18	> 18	много	
Соединения, полученные при взаимодействии с лигандами	ML_n	L_nM-ML_n	M_qL_n $q/n < 1$ малые	M_qL_n $q/n \approx 1$ средние	M_qL_n $q > n$ большие гигантские	$M_qL(ad)_n$ $q \gg n$		
	Моноядерные соединения металлов	Биядерные соединения со связями металл-металл	Кластерные соединения металлов			Коллоидные металлы, черни	Ультрадисперсные металлические частицы	

Вклад поверхности



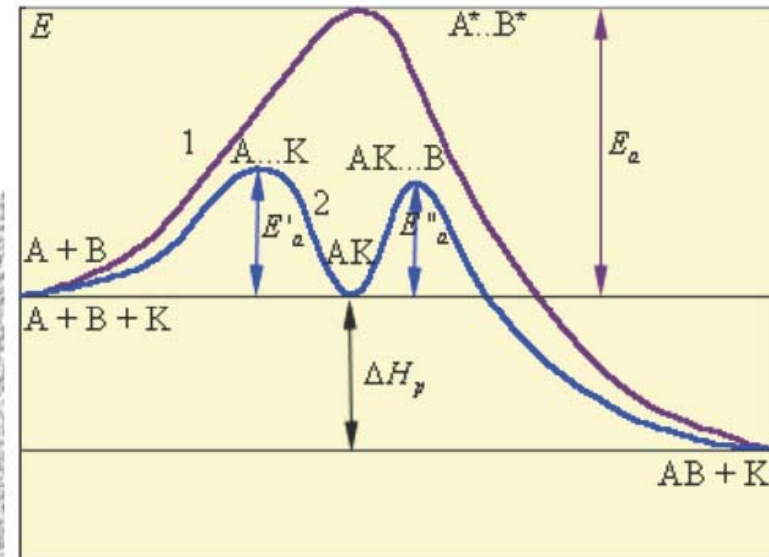
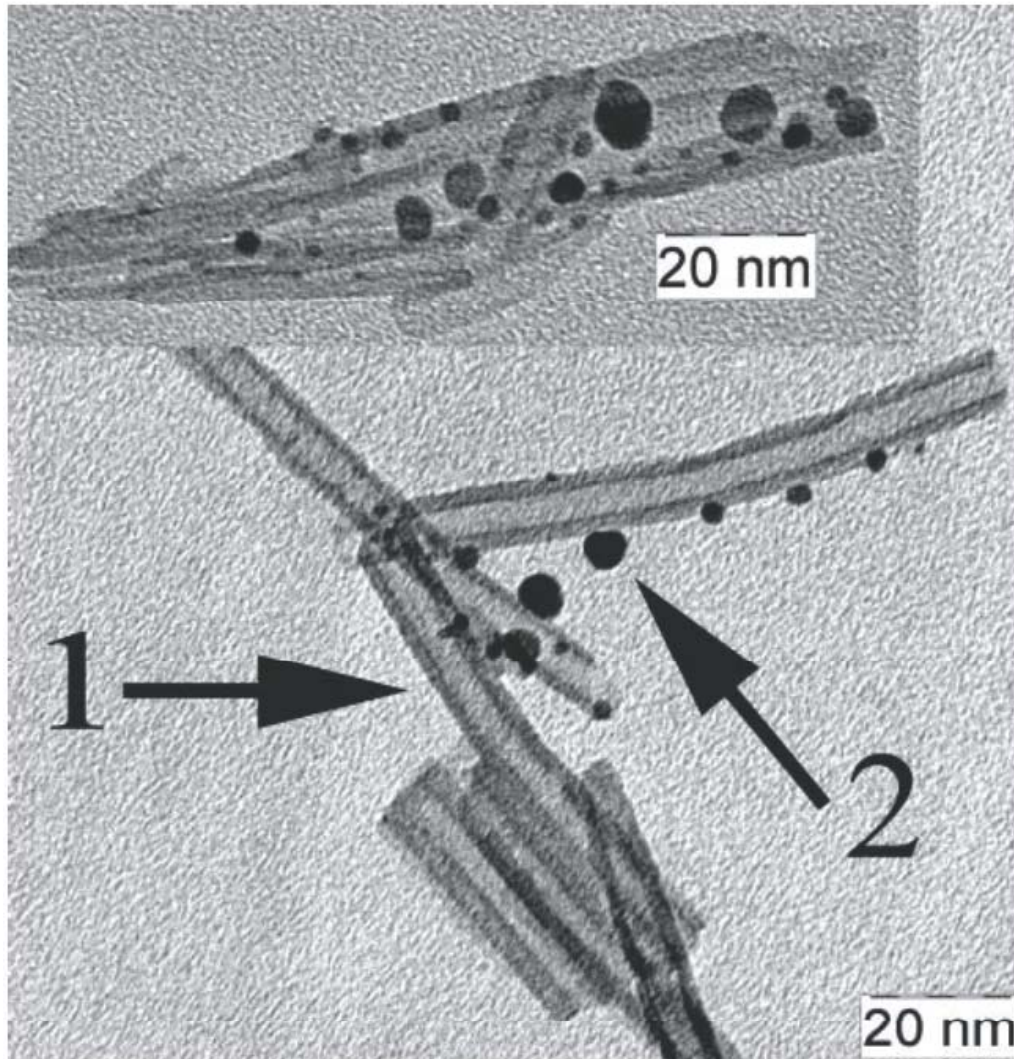
150 °C 200 °C 300 °C

C. Jinwoo et al., *Mat. Res. Soc. Symp.*, 2001, 635, С. 3.3.1-3.3.6.

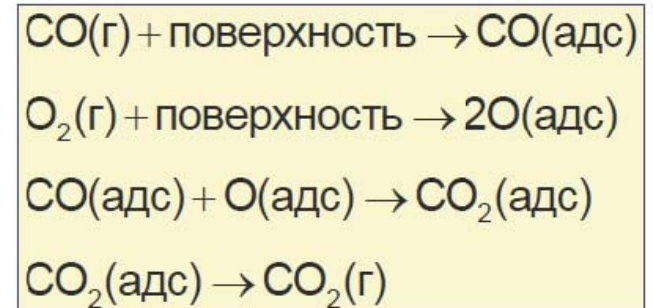
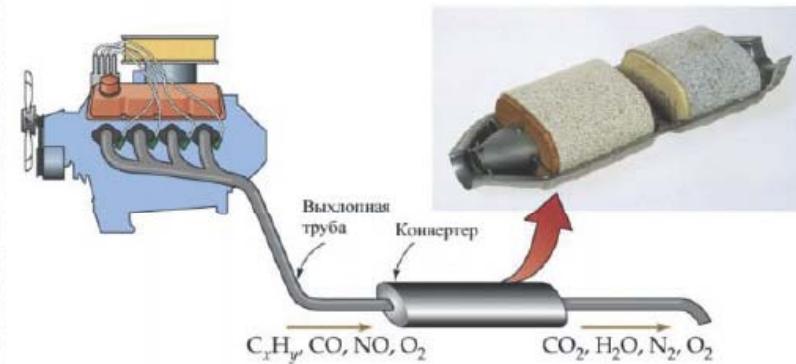
Процесс формирования наноструктур по принципу «сверху-вниз» предусматривает обработку макромасштабного объекта или структуры и постепенное уменьшение их размеров, вплоть до получения изделий с нанометровыми параметрами...

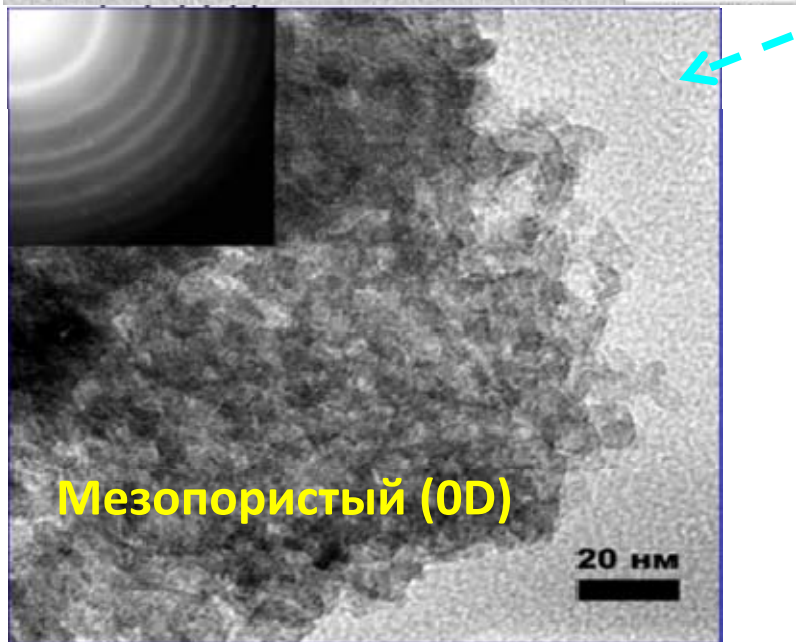
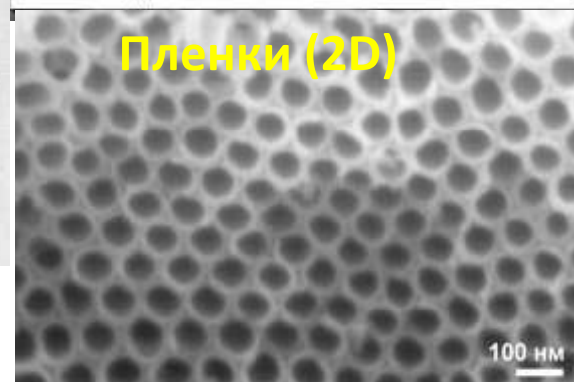
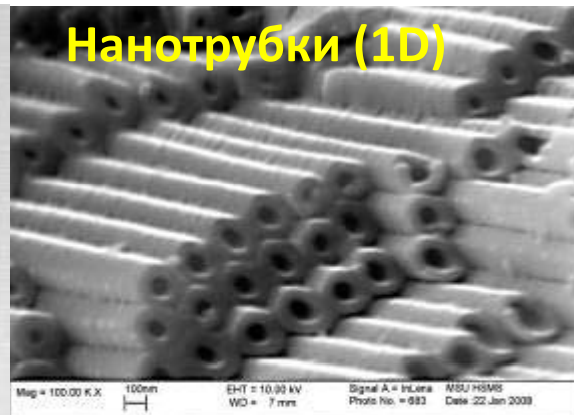
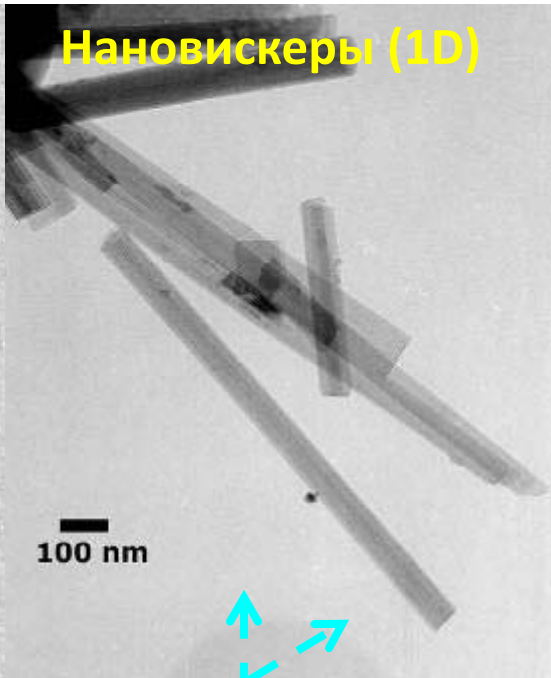
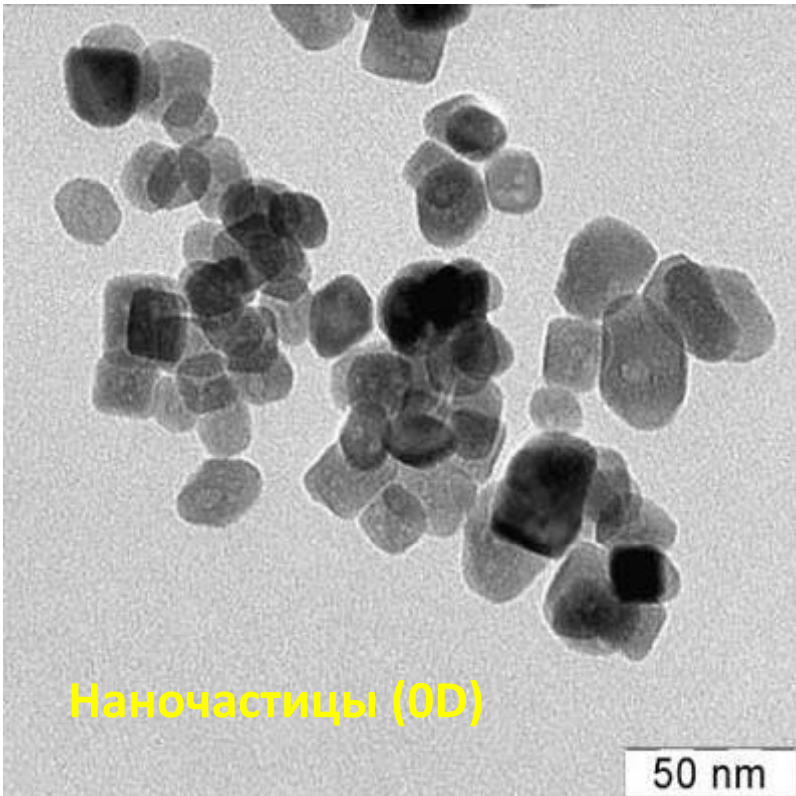
Технология «снизу-вверх» заключается в том, что при создании наноструктур набирают и выстраивают отдельные атомы и молекулы в упорядоченную структуру...

Нанотрубки



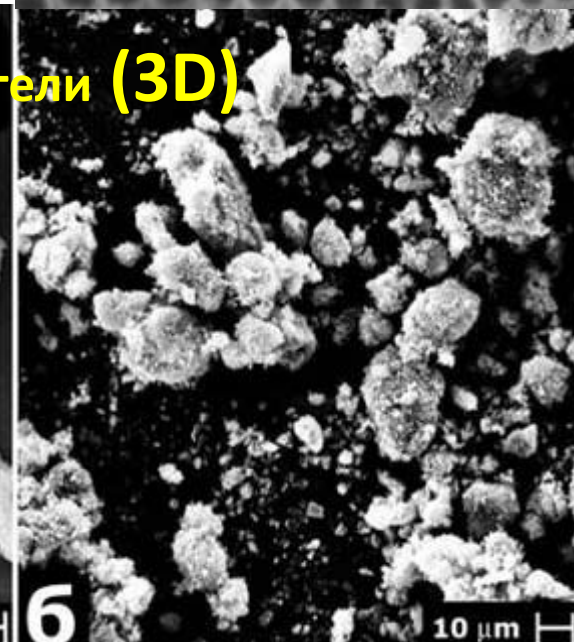
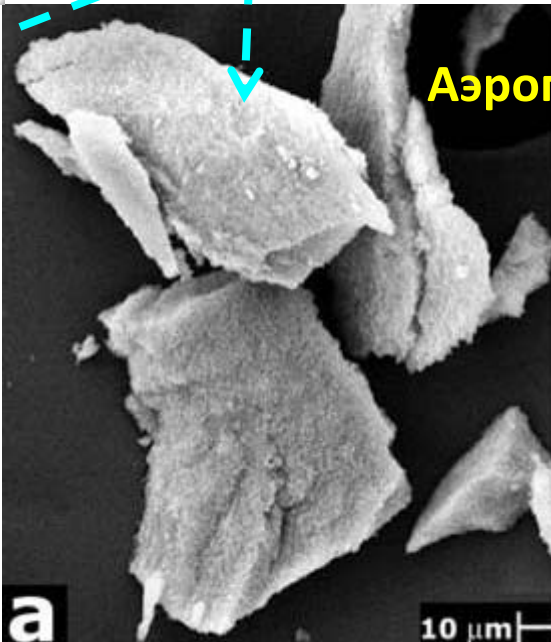
Координата реакции





TiO_2

Four dashed blue arrows point from the central TiO_2 text to the four surrounding images: up to Nanowires, down to Aerogels, left to Nanoparticles, and right to Membranes.



«Сверху» или «снизу»?..

Процесс формирования наноструктур по принципу **«сверху-вниз»** предусматривает обработку макромасштабного объекта или структуры и постепенное уменьшение их размеров, вплоть до **получения изделий с нанометровыми параметрами...**

Технология **«снизу-вверх»** заключается в том, что при создании наноструктур набирают и выстраивают отдельные атомы и молекулы в упорядоченную структуру...

Основные методы синтеза ультрадисперсных материалов «сверху -



ВНИЗ»

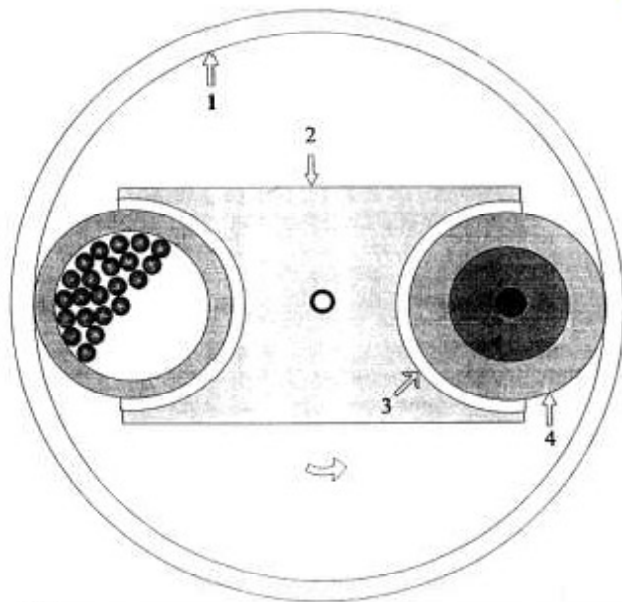
- Помол
- Физические и химические методы осаждения из газовой фазы
- Пиролиз (сажа, фуллерены, УНТ), механо-, электро-, криодиспергирование,
- Методы химической гомогенизации (молекулярное смешение), золь-гель (трехмерные структуры)
- Получение наночастиц в конденсированных средах
- Литография
- ...

Основные методы синтеза ультрадисперсных материалов «снизу вверх»

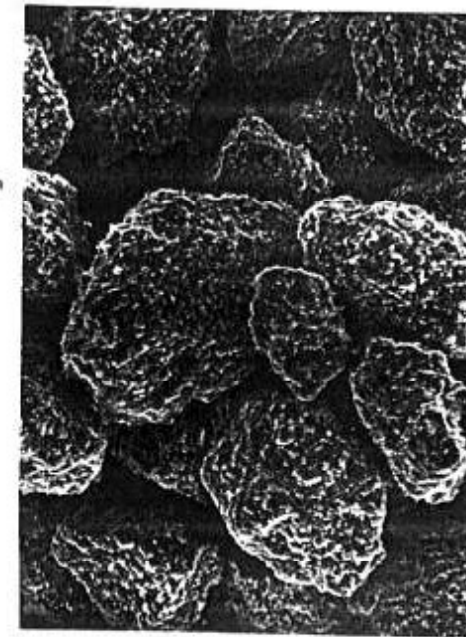
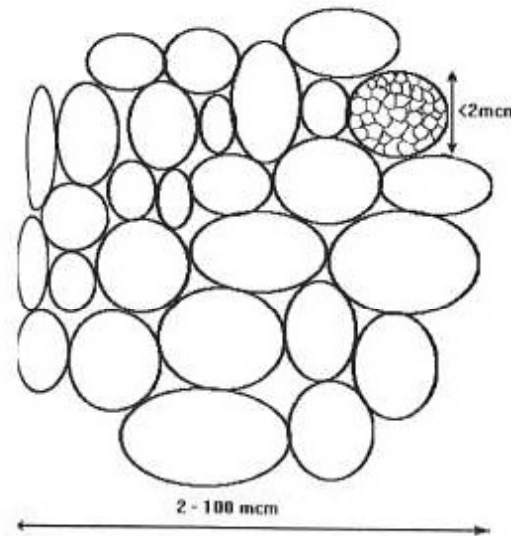


- Получение кластеров («сборка»)
- Самосборка
- Нанореакторы (нанотрубки, мезопористые матрицы (1D), слоистые двойные гидроксиды, глины (2D), цеолиты (3D)), темплаты
- ...

Помол-формование-спекание



Мельница планетарного типа

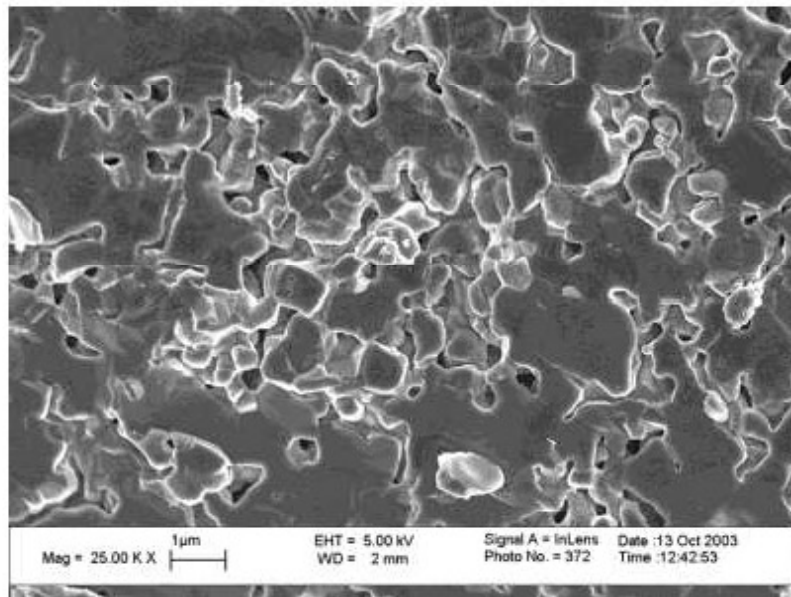


Аагрегаты субмикронных частиц

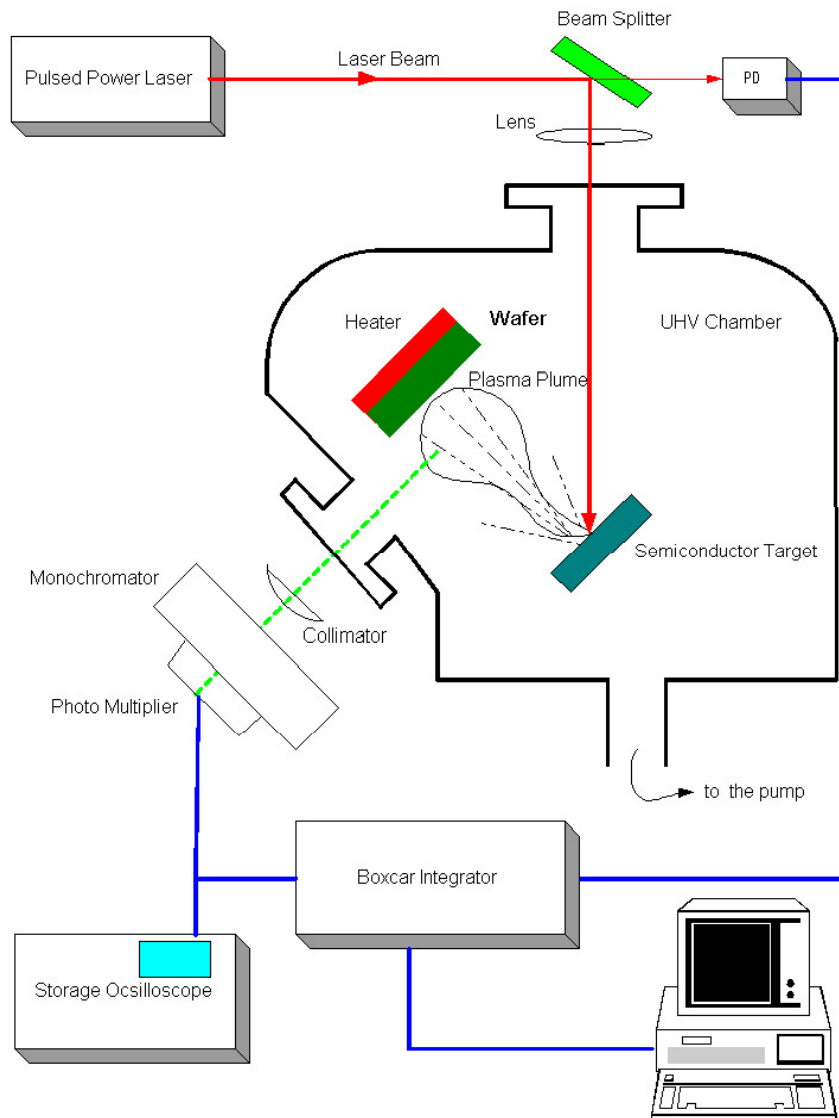
спекание

формование

«зерна»+перешейки+поры



Физические методы осаждения



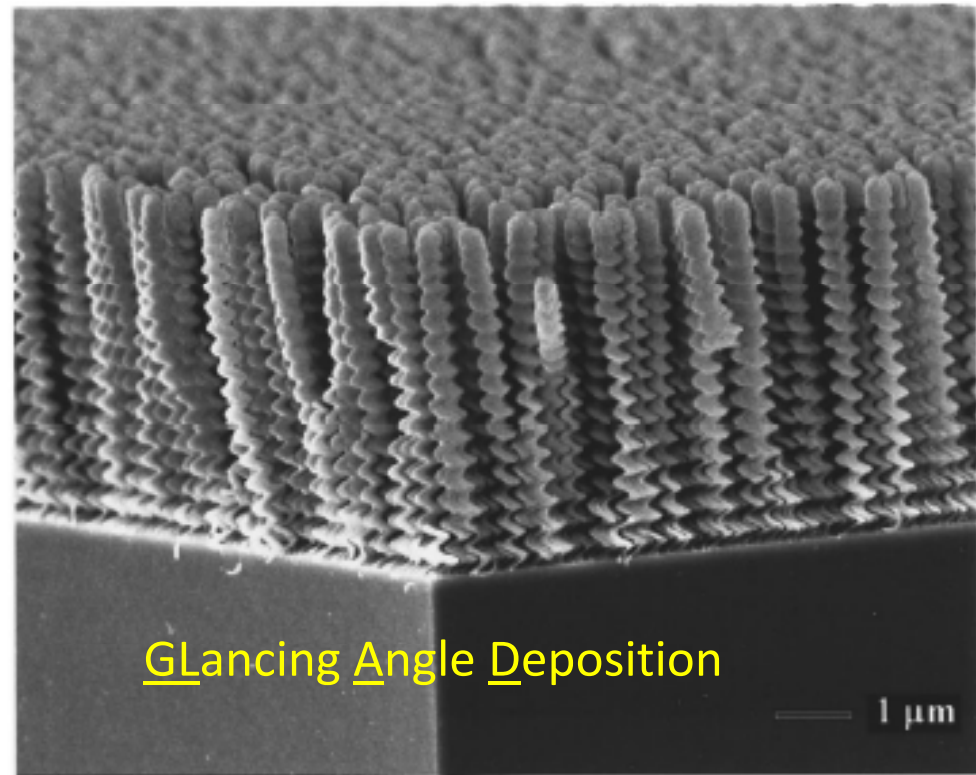
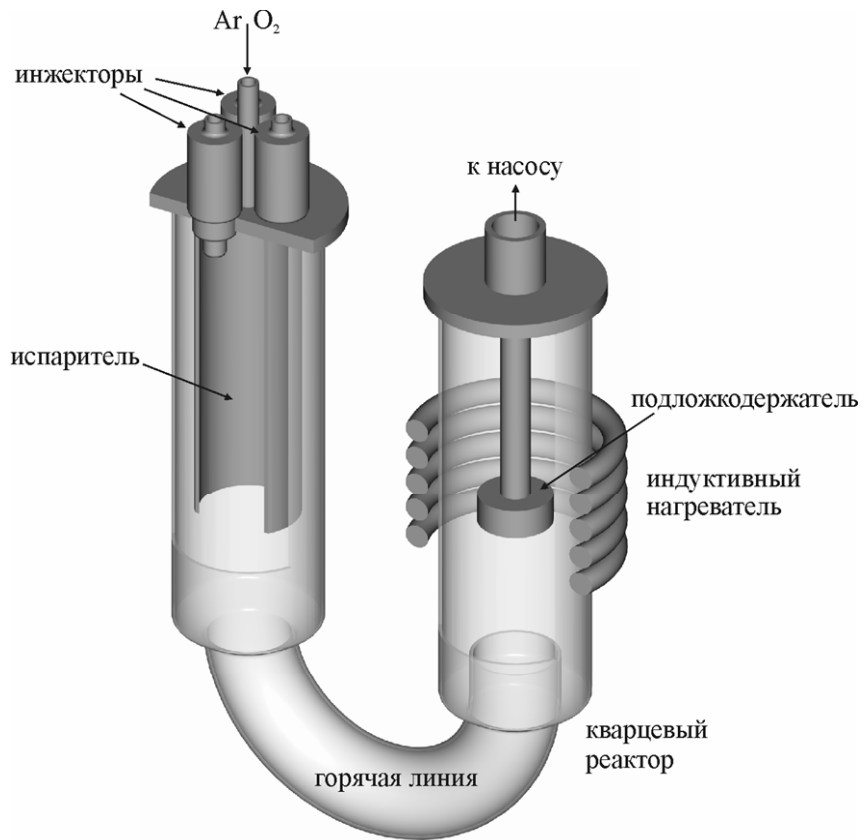
- лазерное напыление
- молекулярные пучки
- магнетронное напыление..

Требования:

- высокий вакуум
- высокий расход энергии
- сложность и дороговизна оборудования
- высокие пересыщения и (в ряде случаев) плохая ростовая морфология
- ограниченная возможность масштабирования технологии и непрерывного осуществления процесса

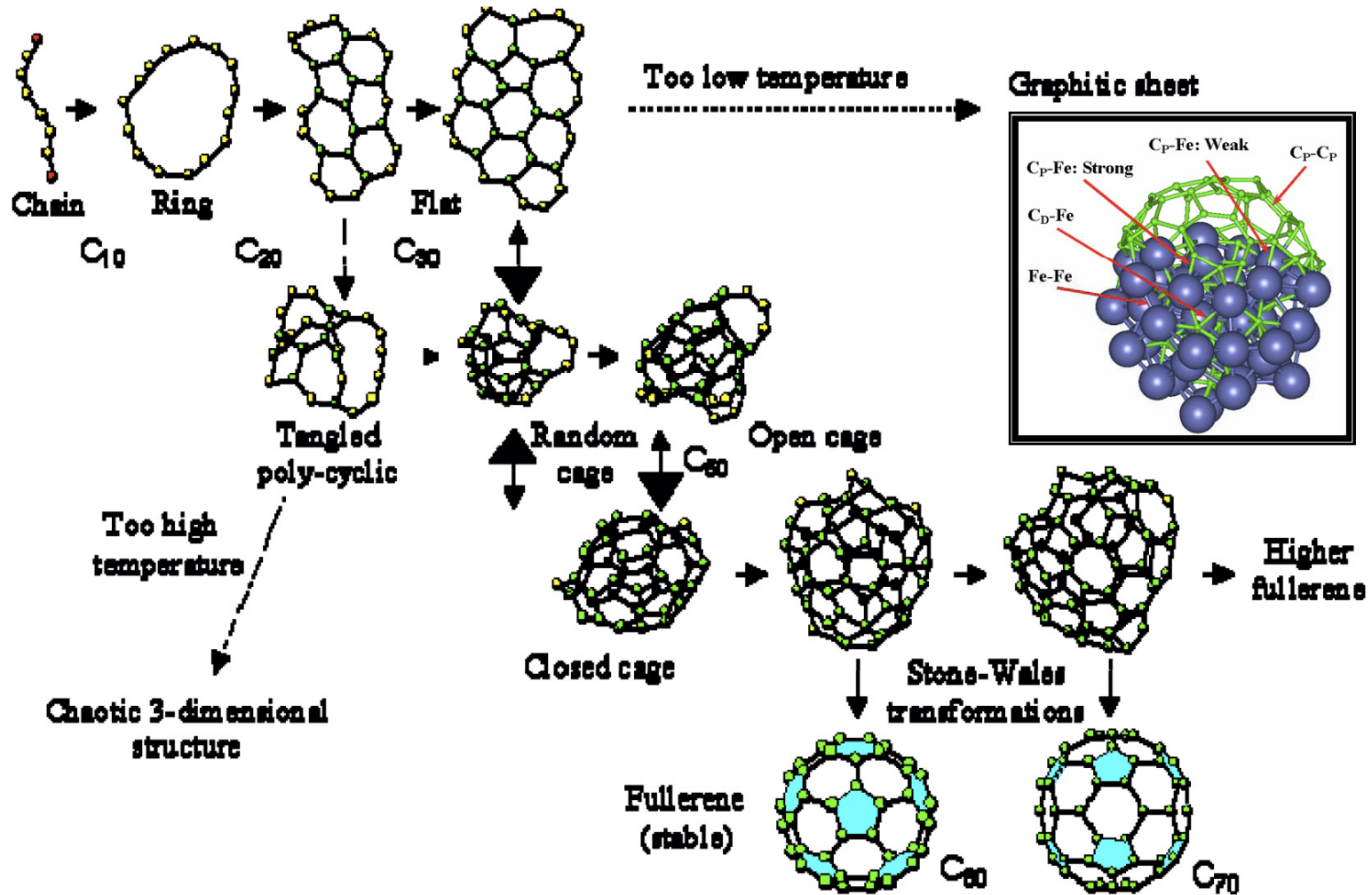
*послойная сборка (гетеро)структур,
структурный дизайн*

Химическое осаждение (CVD)

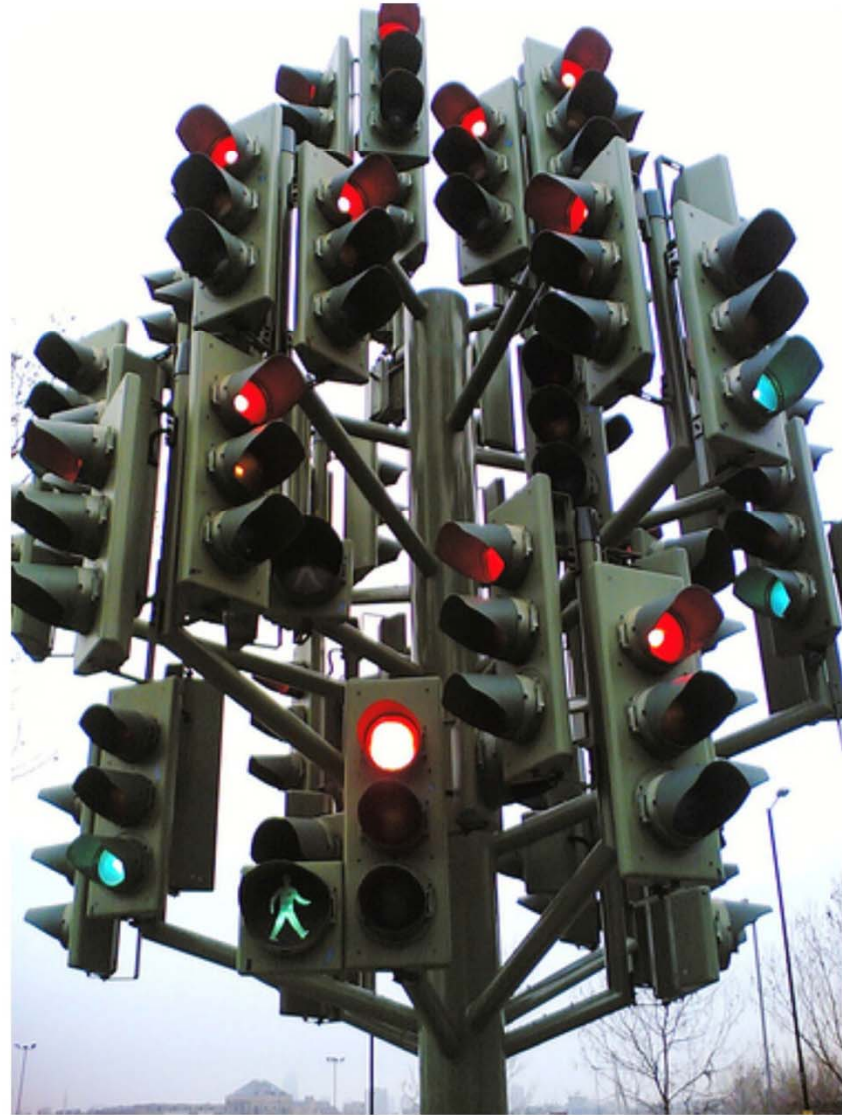


Синтез летучих прекурсоров - Испарение (контроль состава пара)
– Транспорт (выбор газа-носителя и контроль его распределения в реакторе) – Осаждение (контроль T , pO_2 , pCO_2 , скорости осаждения)

Формирование фуллеренов



Хаос и беспорядок



Законы Мерфи

*Следствия II з.т.:
«чудес не бывает»
«законы Мерфи»*

Закон Мэрфи

Если какая-нибудь неприятность может произойти, она случается

Следствия:

1. Из всех неприятностей произойдет именно та, ущерб от которой больше;
2. Предоставленные сами себе, события имеют тенденцию развиваться от плохого к худшему;
3. Если эксперимент удался, что-то здесь не так (первый закон Финэйгла)

вероятность удачи < суммы вероятности неудач

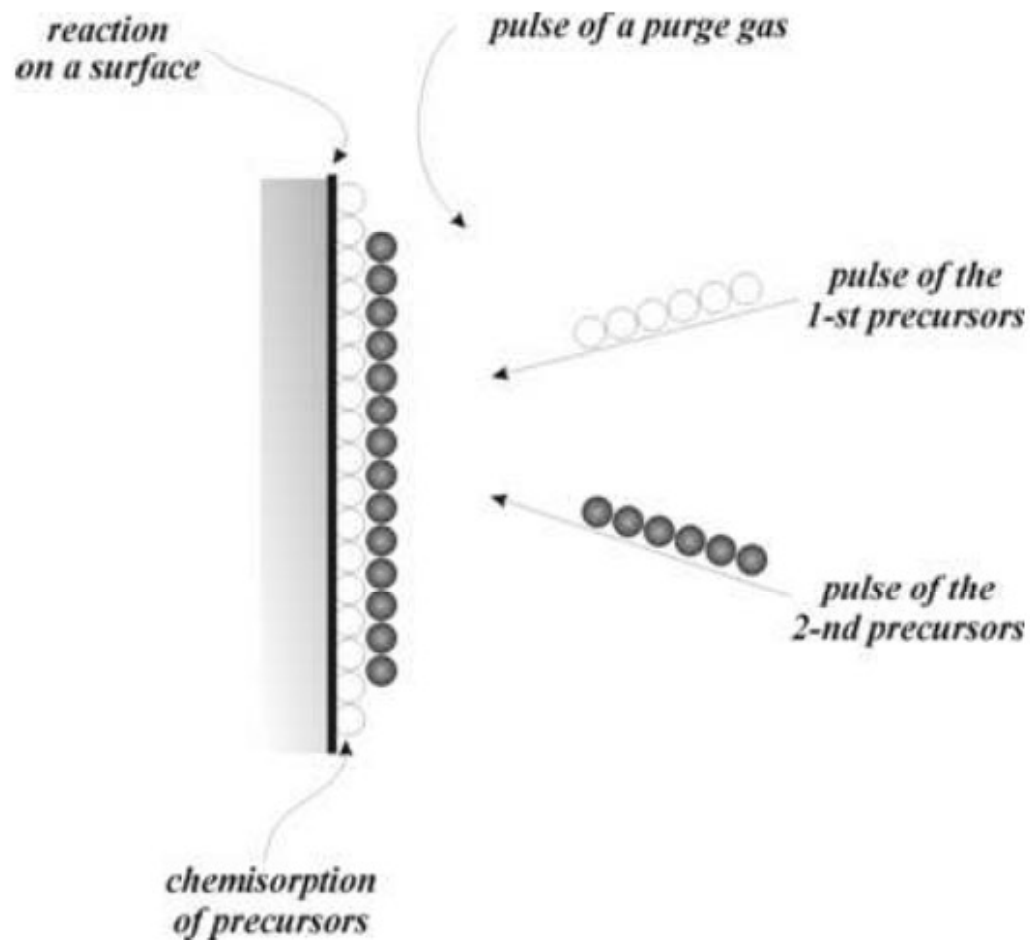
Энтропия - мера статистического беспорядка.



Самосборка – процесс образования упорядоченной надмолекулярной структуры или среды, в котором в практически неизменном виде принимают участие только компоненты (элементы) исходной структуры, аддитивно составляющие или «собирающие», как части целого, результирующую сложную структуру.

Самоорганизация может быть использована как механизм создания сложных «шаблонов», процессов и структур на более высоком иерархическом уровне организации, чем тот, что наблюдался в исходной системе, за счет многочисленных и многовариантных взаимодействий компонент на низких уровнях, на которых существуют свои, локальные, законы взаимодействия, отличные от коллективных законов поведения самой упорядочивающейся системы. Для процессов самоорганизации характерны различные по масштабу энергии взаимодействия, а также существование ограничений степеней свободы системы на нескольких различных уровнях ее организации.

Послойная сборка (Atomic Layer Deposition)

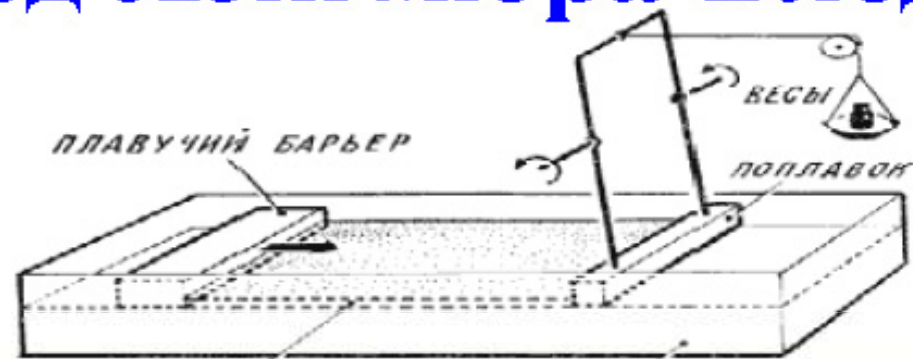


Член-корреспондент
РАН В.Б.Алесковский

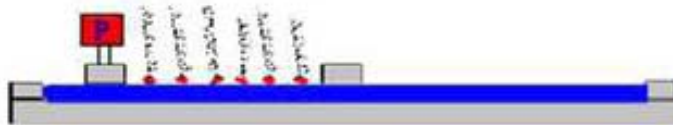
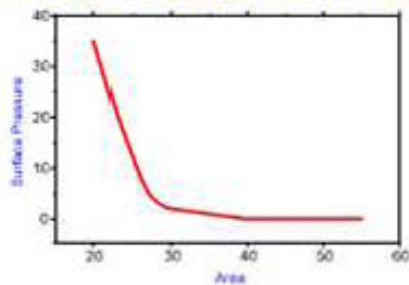
Требования к
ALD - прекурсорам:

- летучесть;
- термостабильность;
- быстрая хемосорбция;
- способность к гидролизу;

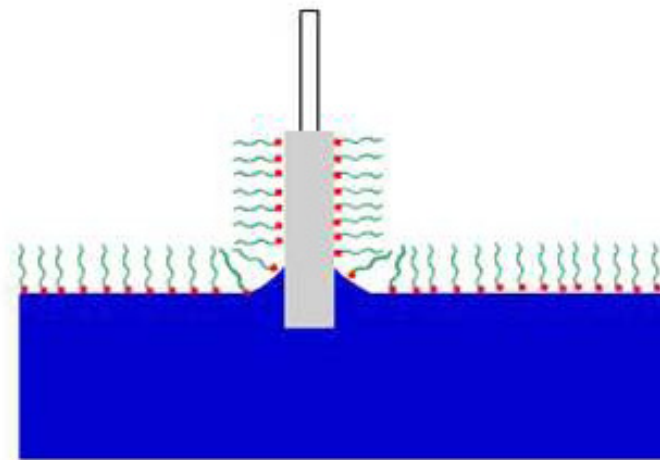
Метод Лэнгмюра-Блоджетт



Langmuir-Blodgett Technique

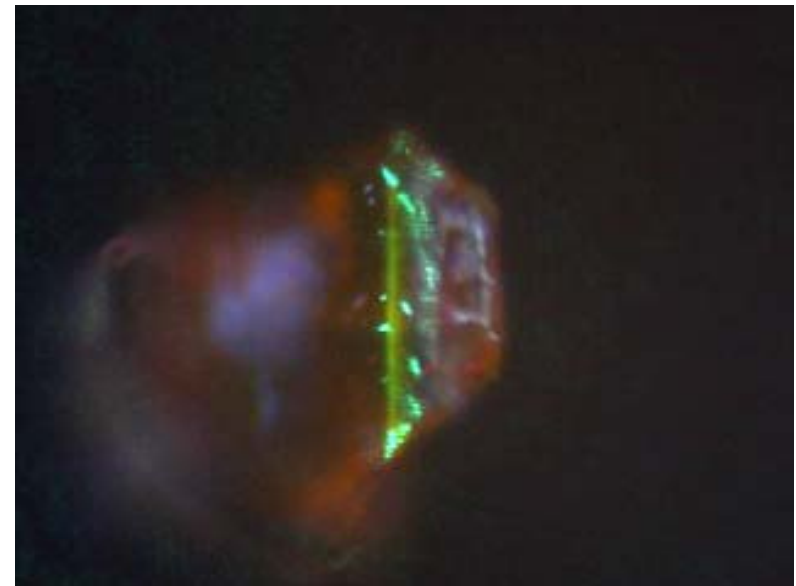
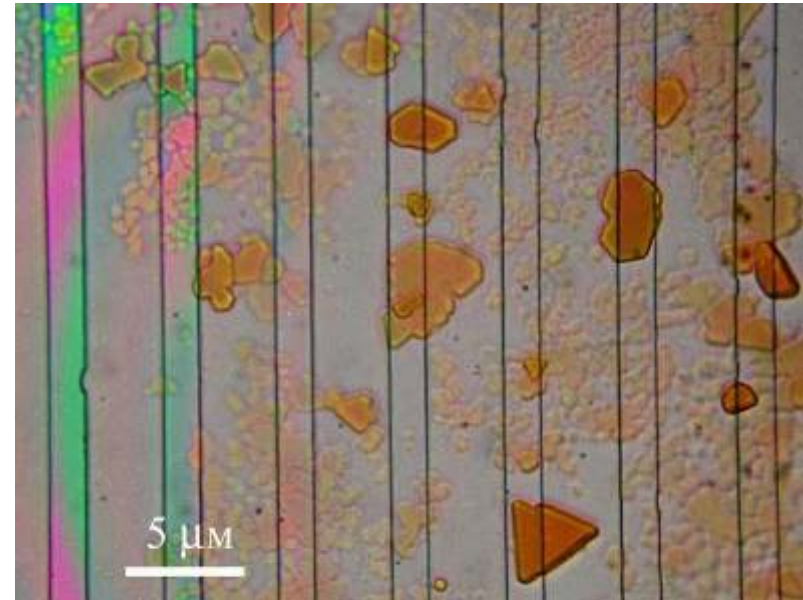
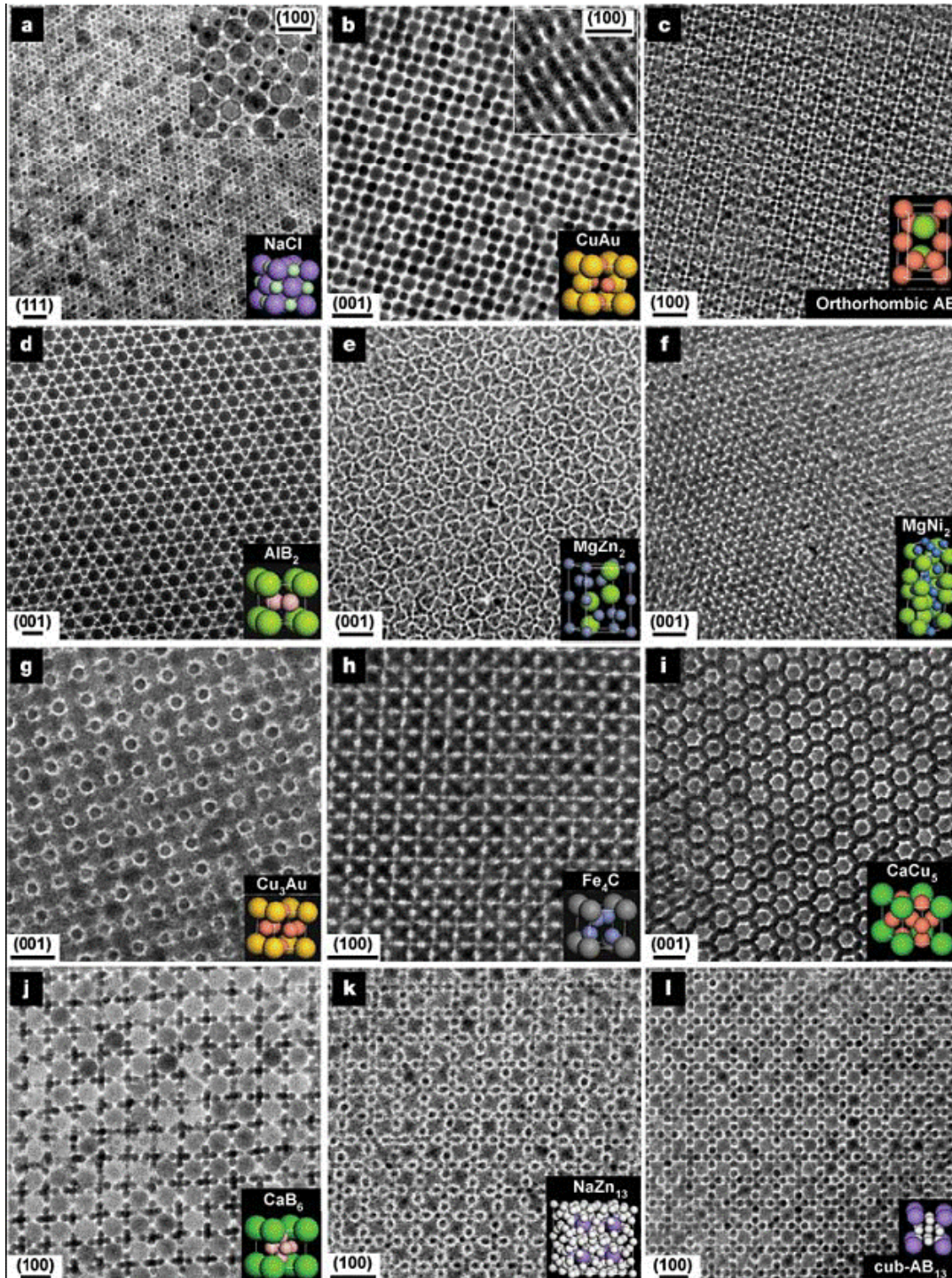


compression of monolayer



transfer of monolayer towards substrate

Самосборка наноструктур



Коллоидный кристалл из
квантовых точек (ФНМ МГУ)

История одного заключенного



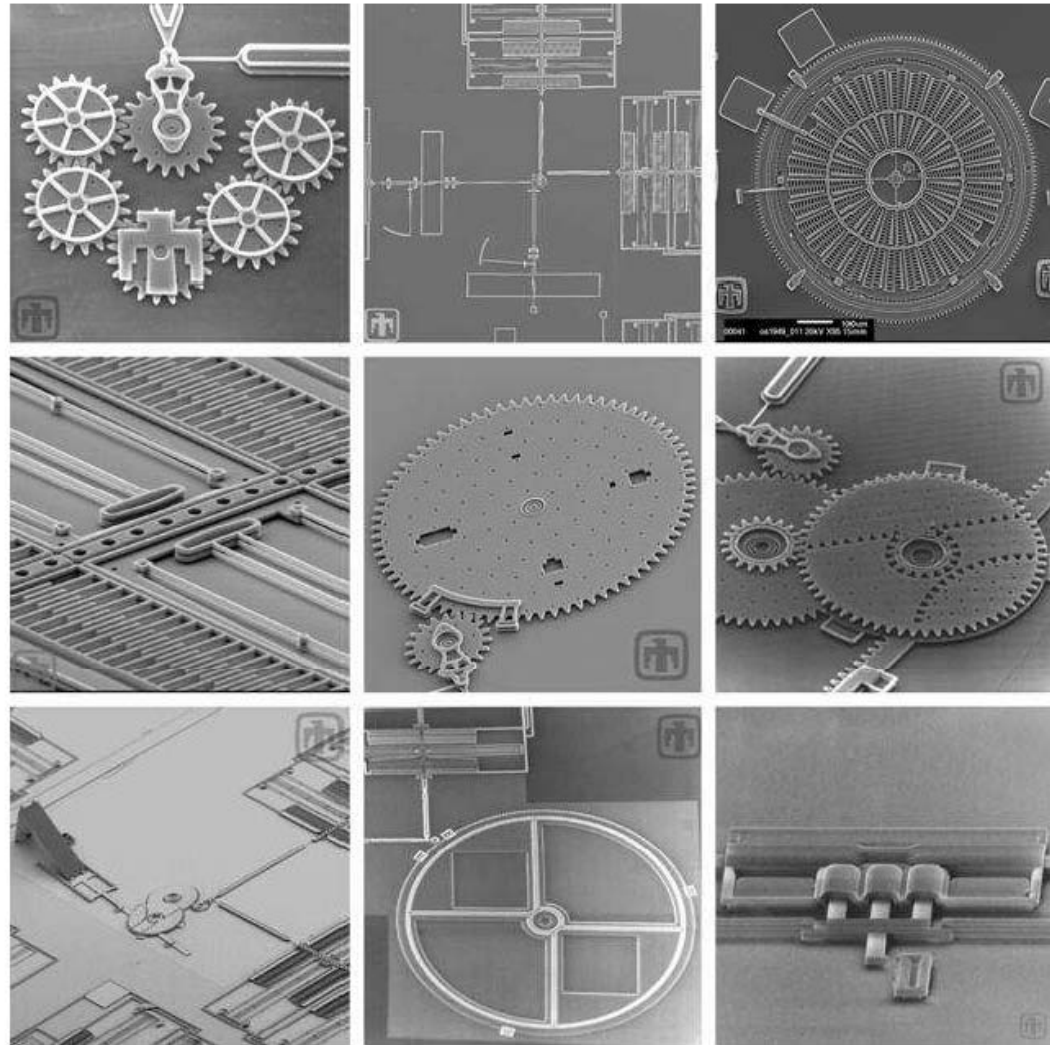
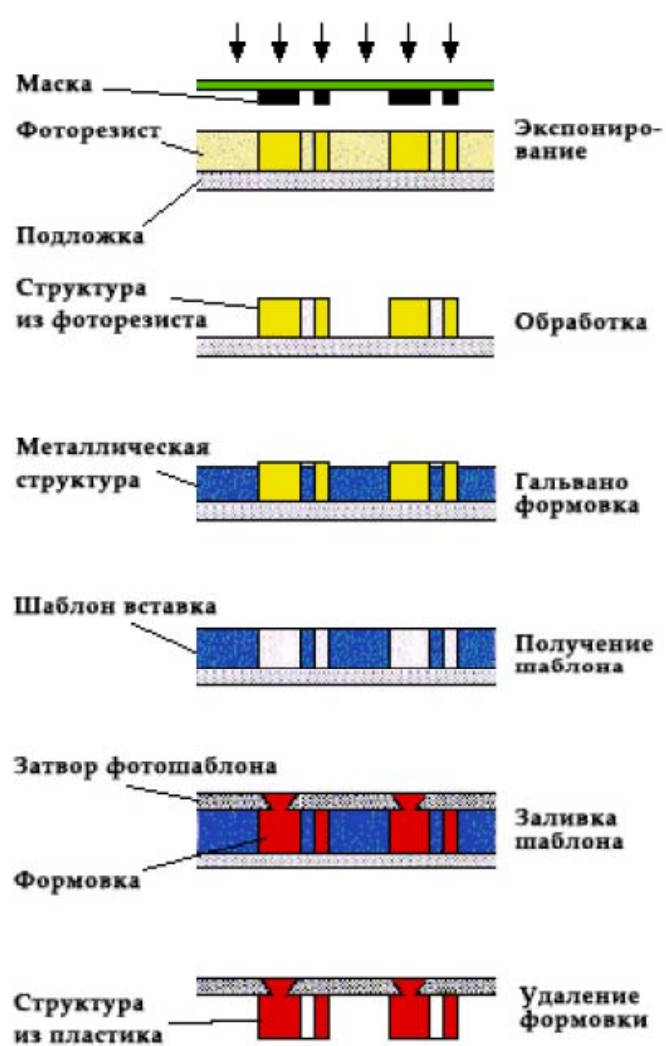
Arnold Schiller, convicted forger, hand carved a miniature of The Lord's Prayer on the head of a gold pin while in Sing-Sing prison.
<http://www.anomalies-unlimited.com/Prayer.html>

Сколько верблюдов...

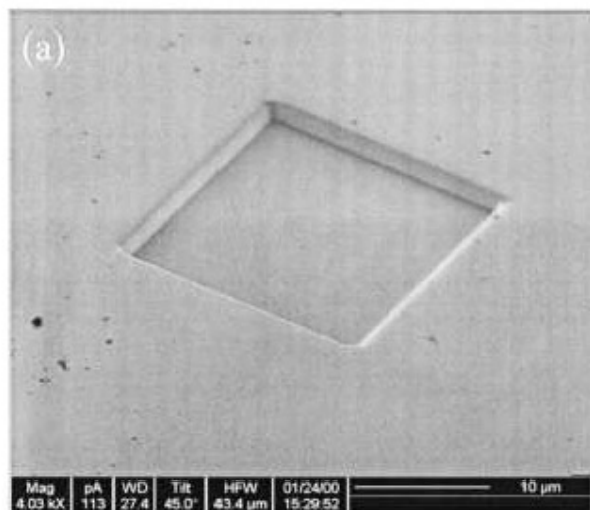


Левша

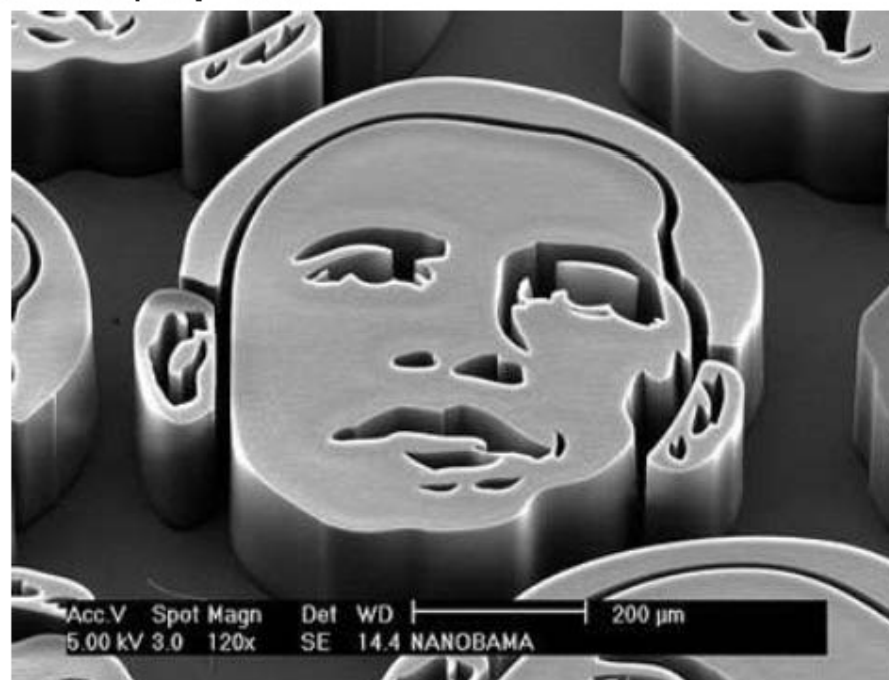
MicroElectroMechanicSystems



Литография фокусированным пучком заряженных частиц

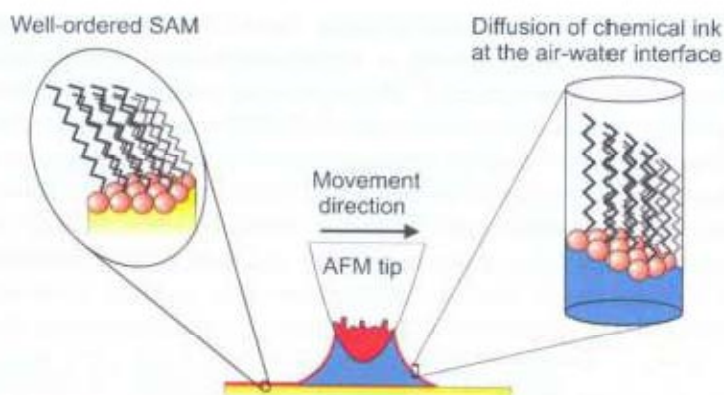


Примеры структур, получаемых с помощью фокусированного ионного (а – вытравливание подложки ионами) и электронного (б - разложение хлорида алюминия) пучка.



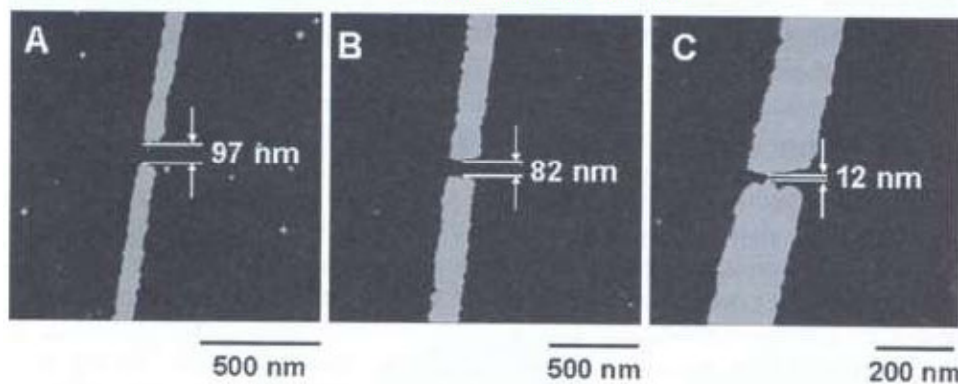
Лучший в России FIB будет доступен в
ИОНХ им. Н.С.Курнакова РАН

Принцип Dip-реп-нанолитографии

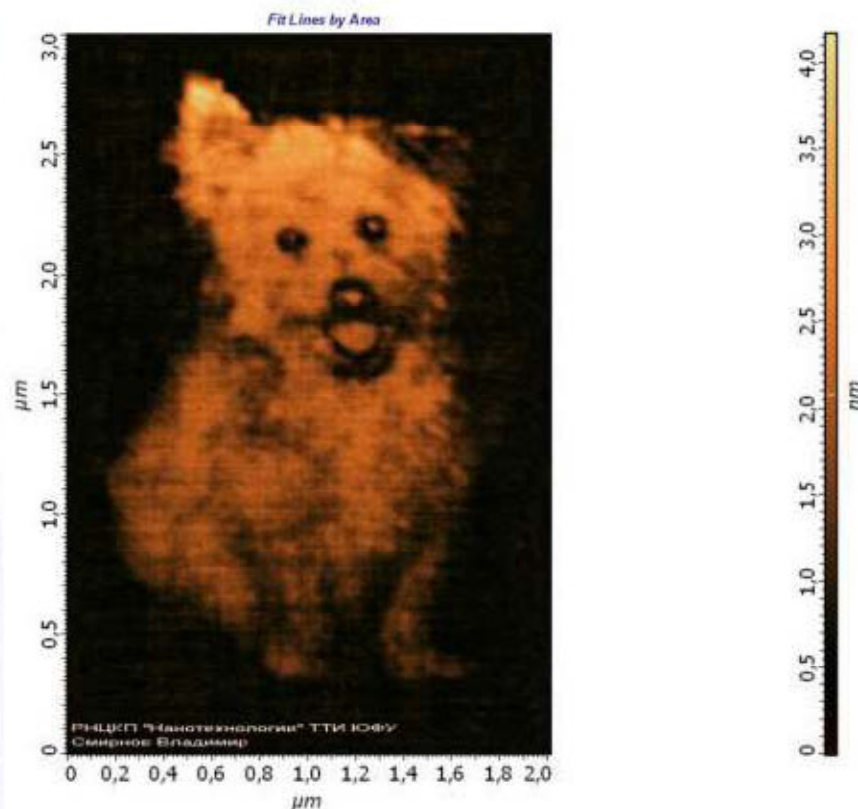


Principle behind DPN.

Перенос монослоя с нанокapлей



Nanolines with nanogaps made by DPN.



АСМ-зображення отримано зондовою нанолитографією методом локального анодного окислення тонкої плівки титана на СЗМ [Solver P47 Pro](#) ("НТ-МДТ", г. Зеленоград) в полуконтактному режимі АСМ, кантилеверами NSG11 з проводящим W_2C покриттям, при відносній вологості 70%.

Основные методы «мокрой и мягкой» химии:

- соосаждение
- золь-гель метод
- пиролиз аэрозолей
- сольвотермальная обработка
- криохимическая технология

Нанобиочастицы

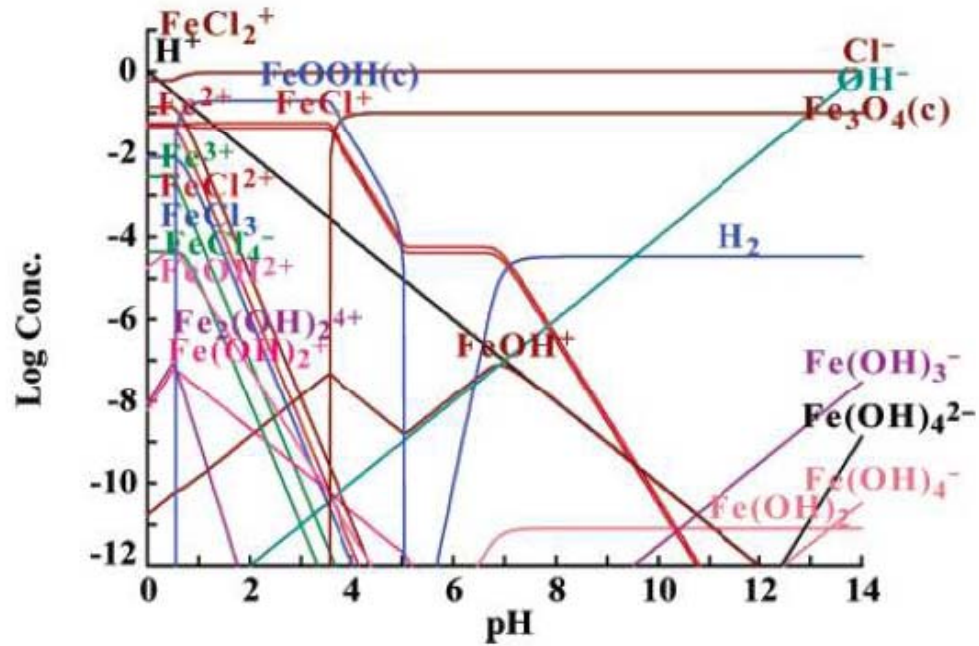
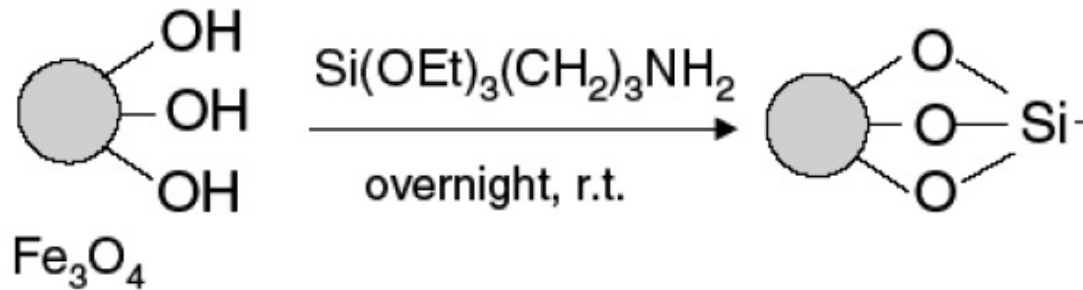
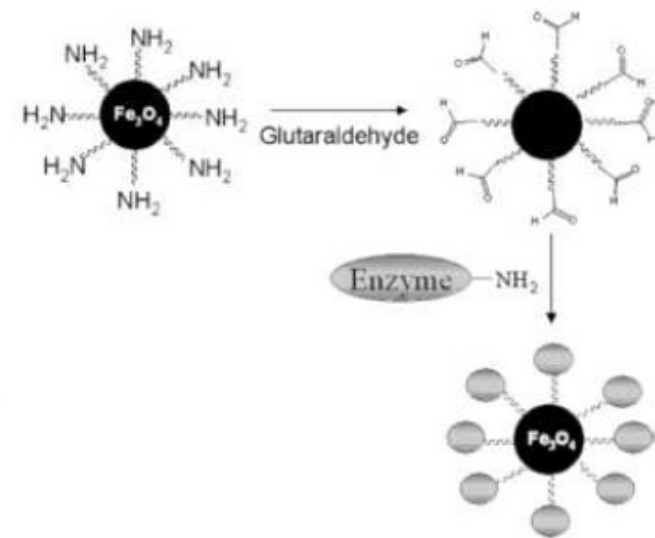
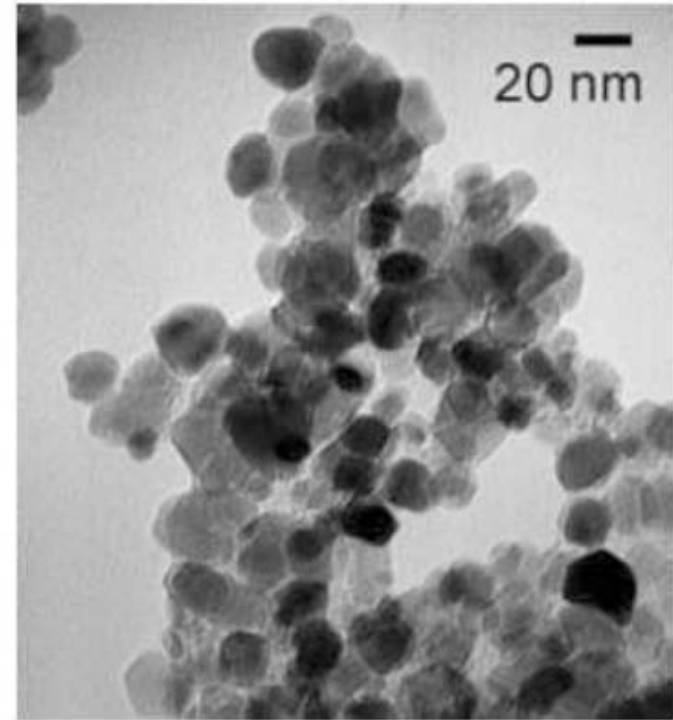
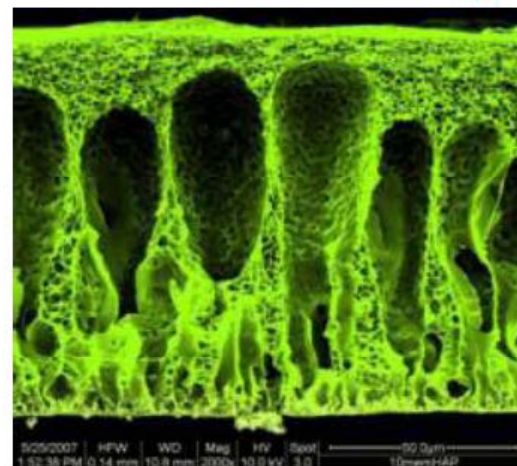
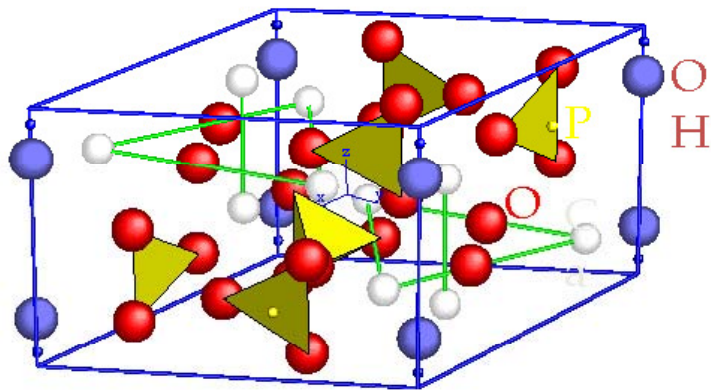
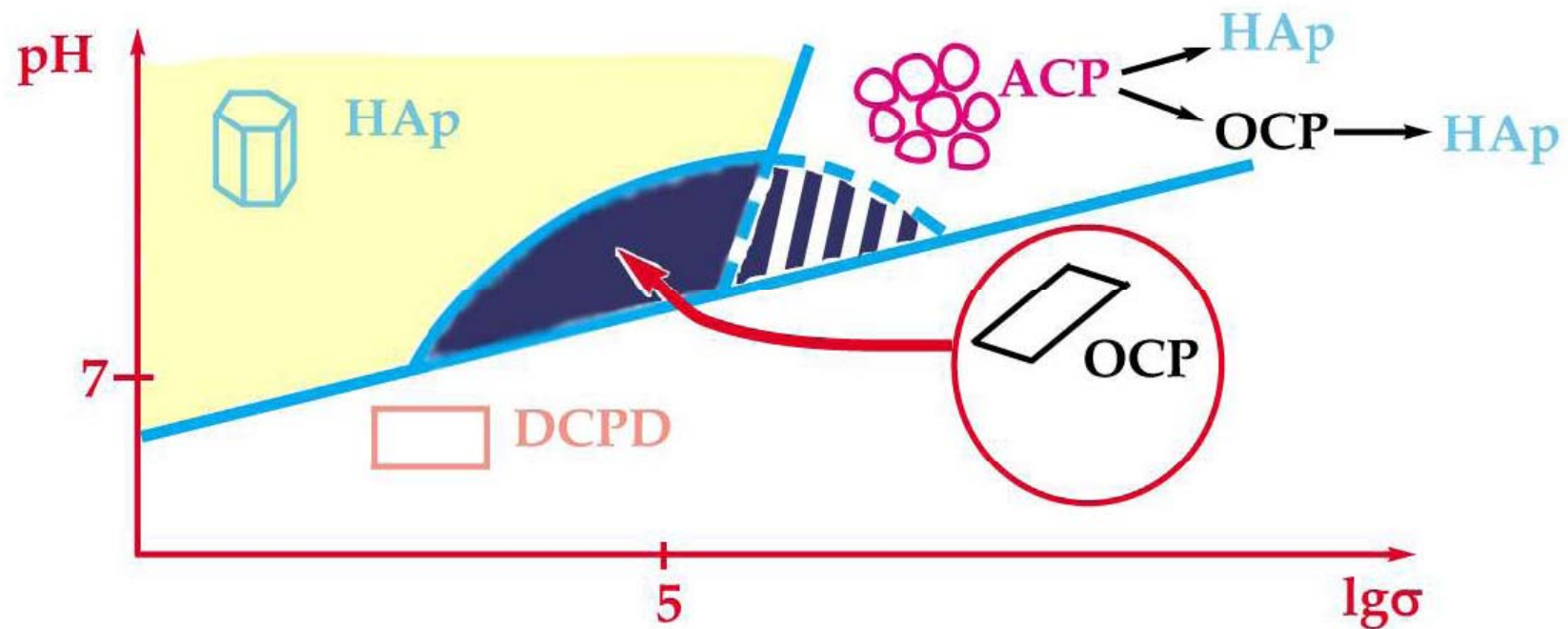


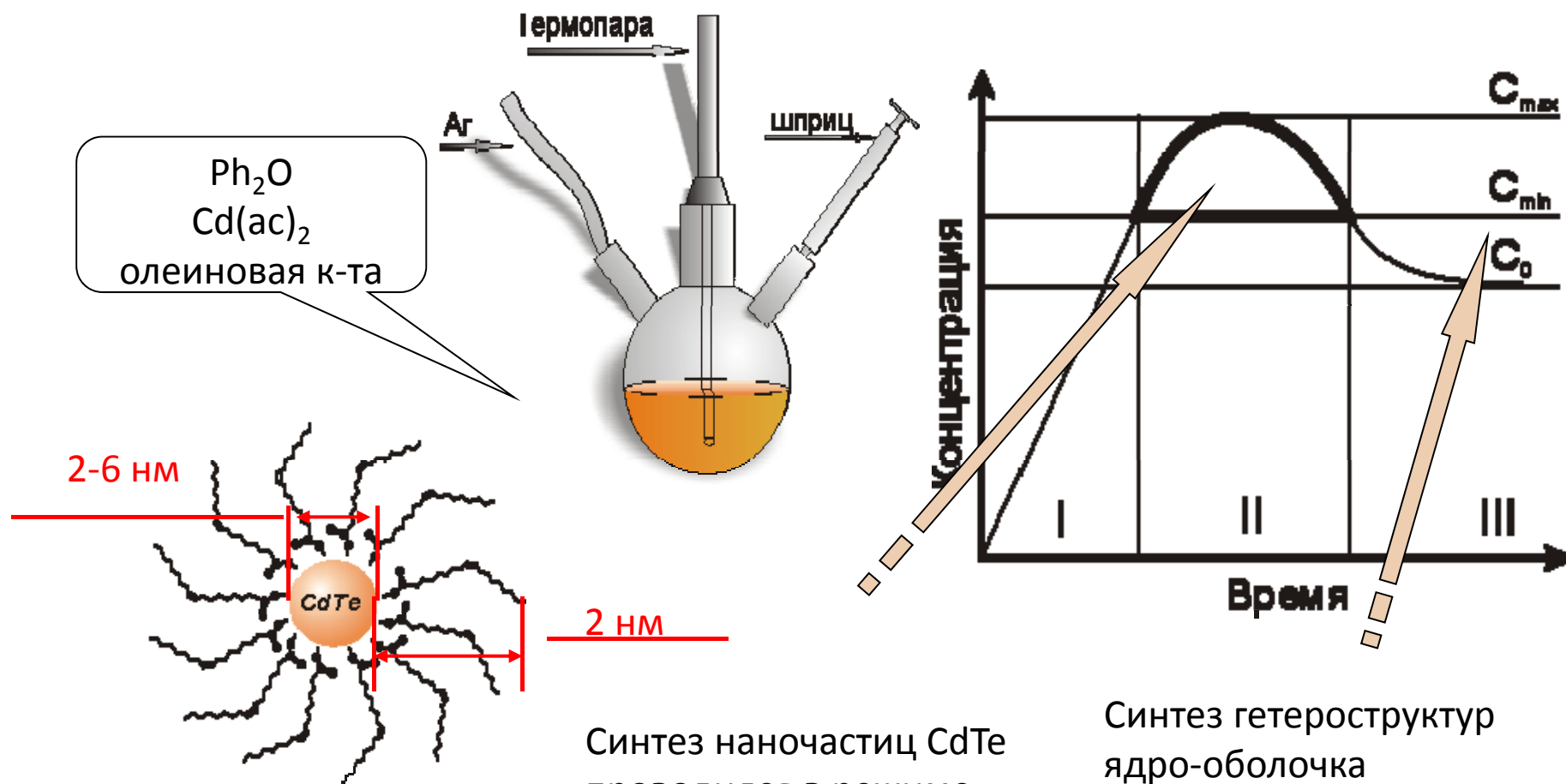
Figure 2. Thermodynamic calculations of the concentrations of all Fe²⁺ and Fe³⁺ species formed at different solution pHs. Initial conditions are [Fe²⁺] = 0.1 M, [Fe³⁺] = 0.2 M, and [Cl⁻] = 1.0 M.



ГАП: влияние условий синтеза



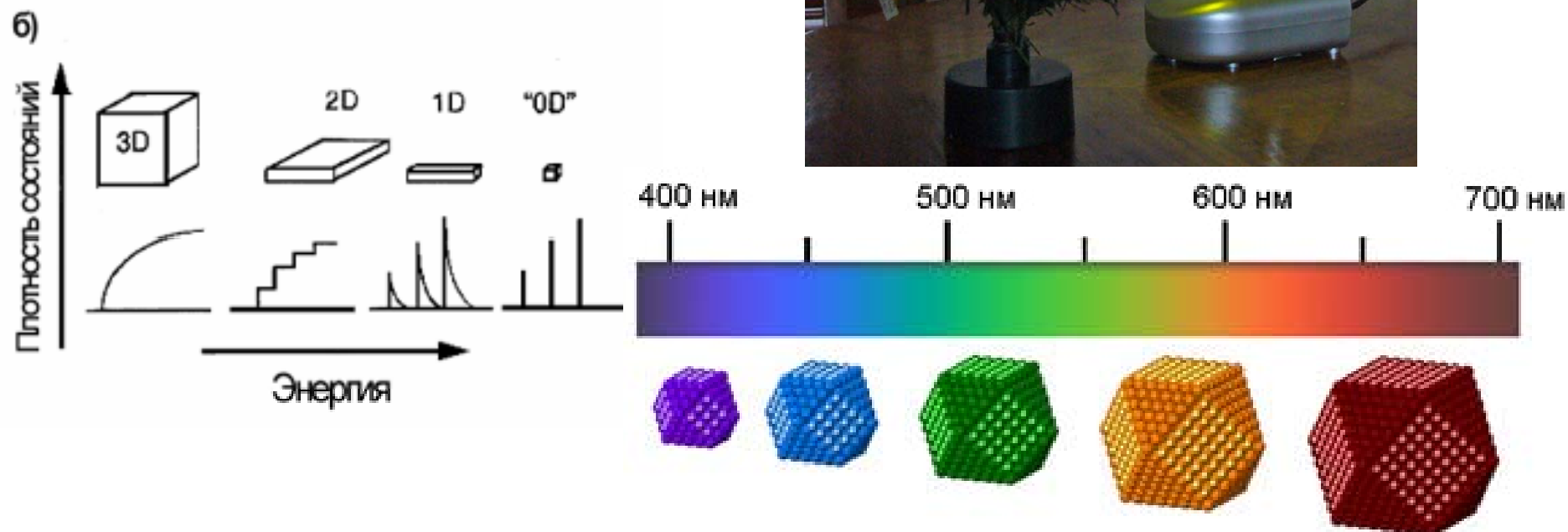
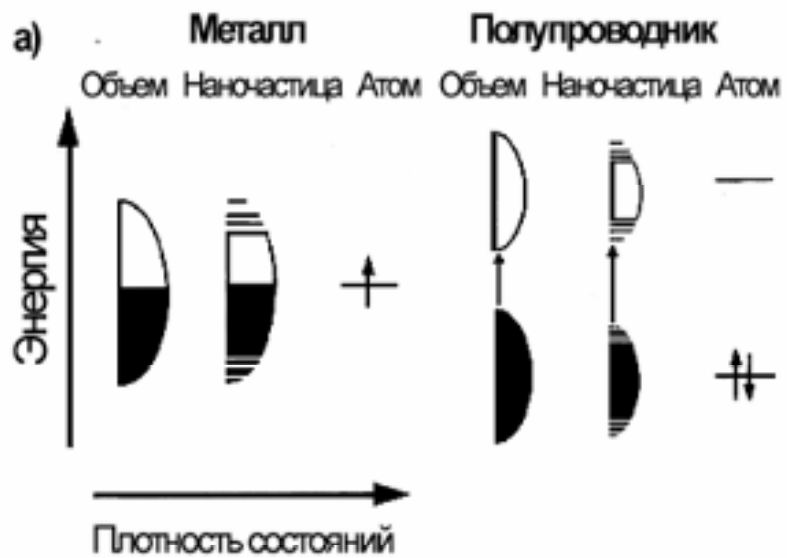
Химический синтез квантовых точек



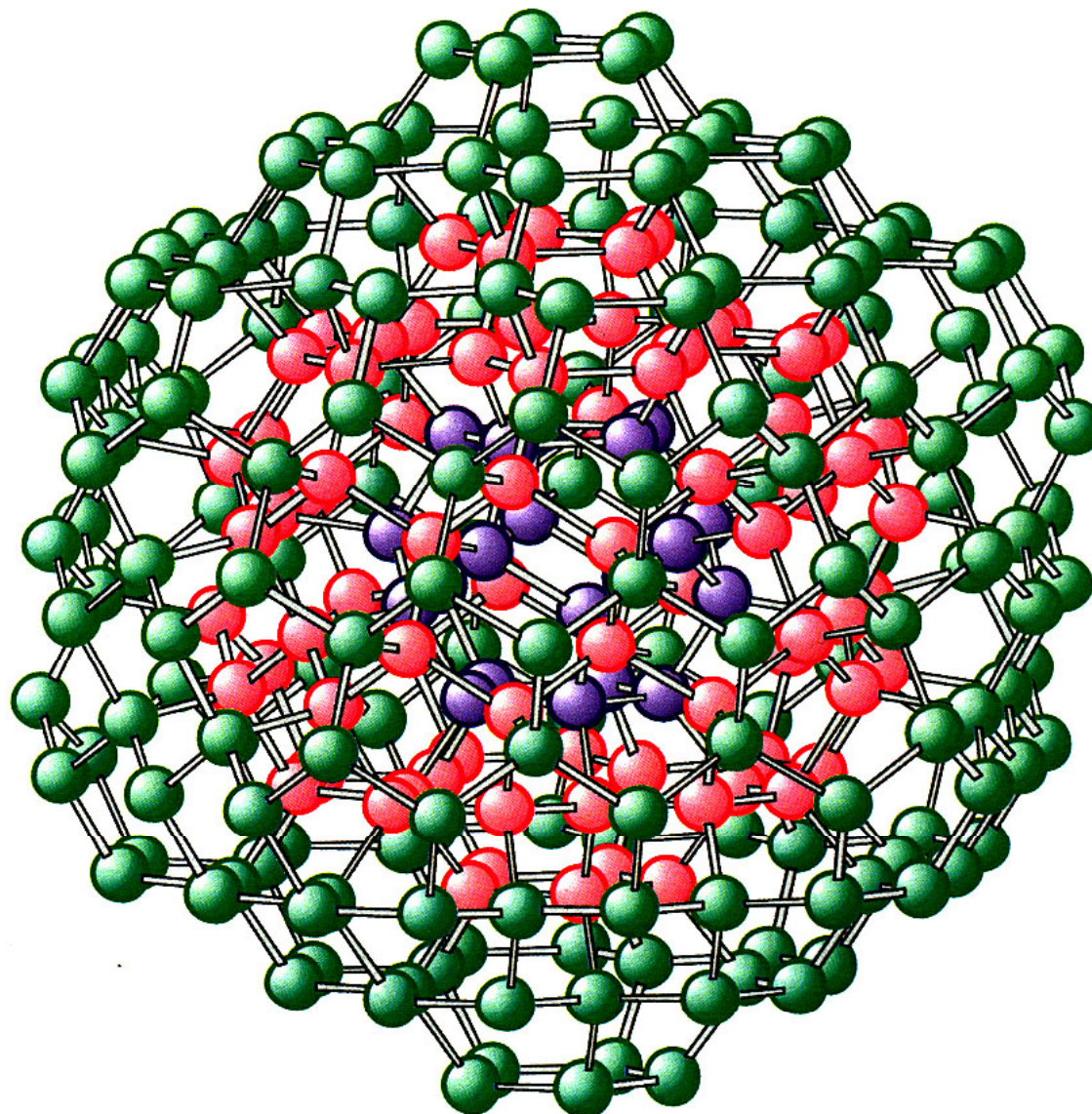
Синтез наночастиц CdTe проводился в режиме пересыщения (II)

Синтез гетероструктур ядро-оболочка проводился в режиме III методом наращивания на ядре CdTe слоя CdSe.

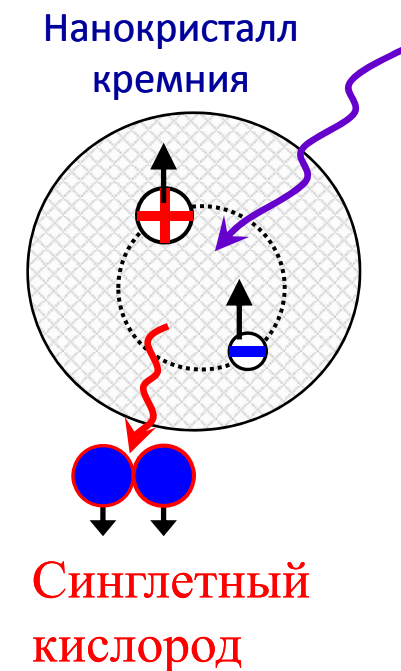
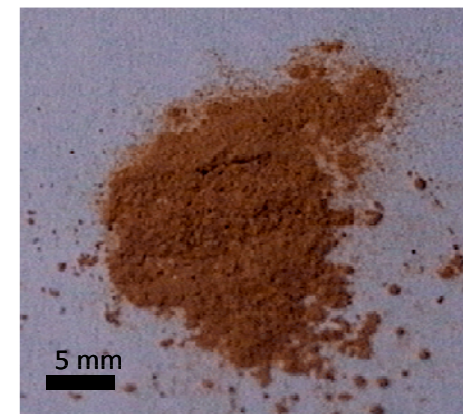
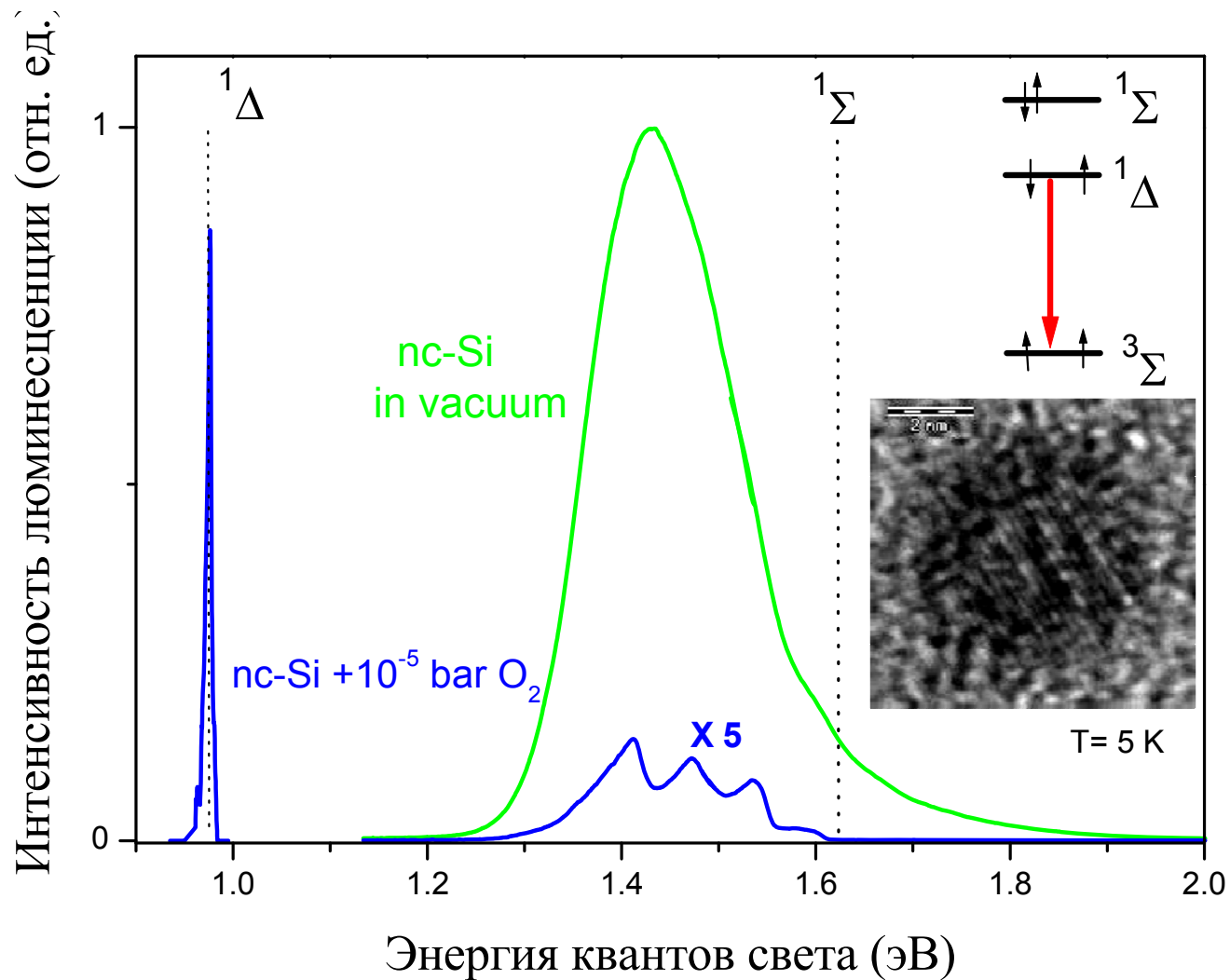
- мин. время
 - макс. пересыщение
- > монодисперсная система



Наноалмаз



Передача энергии от экситонов в нанокристаллах Si к молекулам O₂



D. Kovalev, V. Timoshenko et al., Phys. Rev. Lett. 89 (2002)

In vivo эксперименты

В кооперации с Московским Научно–Исследовательским онкологическим институтом им. П.А. Герцена, группа чл.-корр. РАМН проф. И. В. Решетова



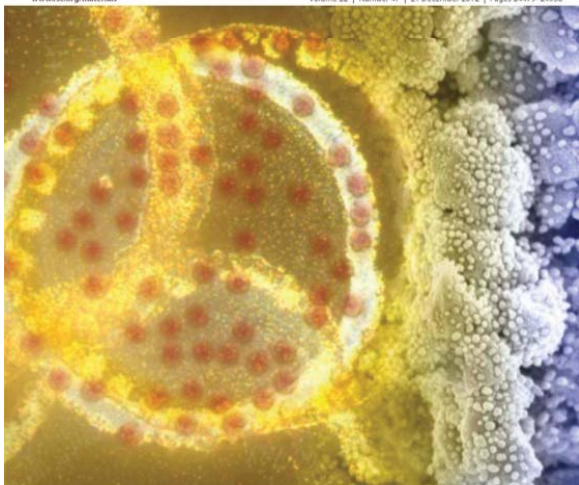
№ опыта	Время от введения препарата до облучения (час)	Время от облучения до забоя животного (час)	% распада (уменьшения) опухоли	Проникн. частиц в клетки: 0 – нет; 1 - да
1	0,5	24	30	0
2	0,5	4,5	50	0
3	0,75	24	55	0,5
4	0,4	72	60	0,5
5	4	48	70	1

- 1) Препарат может проникать в клетки, но не приводит к заметному некрозу в темновых условиях.
- 2) Активность препарата коррелирует со степенью его проникновения в клетки и наличием освещения, что указывает на протекание внутриклеточных фотохимических реакций.

Наночастицы благородных металлов

Journal of
Materials Chemistry

www.rsc.org/materials Volume 22 | Number 47 | 21 December 2012 | Pages 24479–24958



ISSN 0959-9428

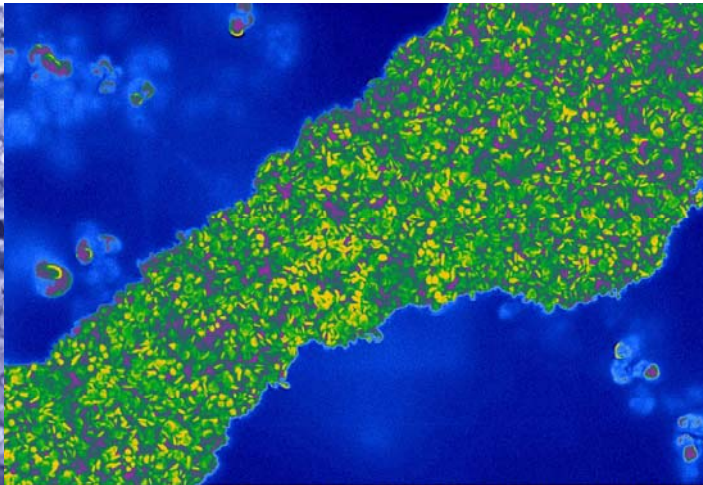
RSC Publishing

PAPER

Elizaveta A. Gocollin et al.
Planar SERS nanostructures with stochastic silver ring morphology for biosensor chips



0959-9428(2012)22(47):1-6

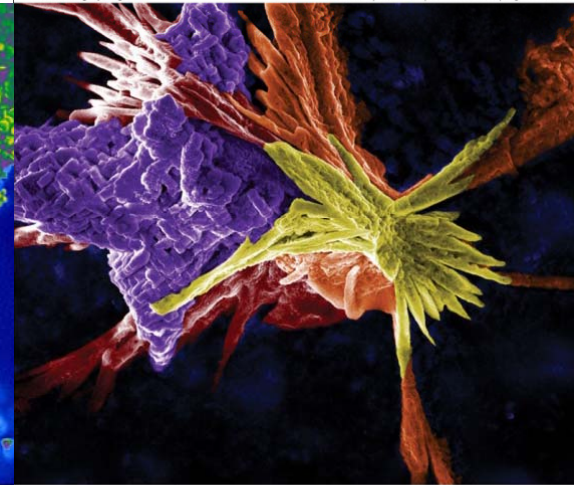


Mag = 100.00 kX 100 nm WD = 2.0 mm EHT = 7.00 kV Signal A = InLens ESD Grid = 451 V Date: 13 Oct 2011 Time: 11:28:07
HVision 40-20-50 1.00 ImageMag = 5.58 System Vacuum = 1.20e-06 mbar
Aperture: 5.0µm 38.00 µm Gun: Maxbeam = 5.00e-002 nA

CrystEngComm

www.rsc.org/crystengcomm

Volume 15 | Number 39 | 21 October 2013 | Pages 7835–8050



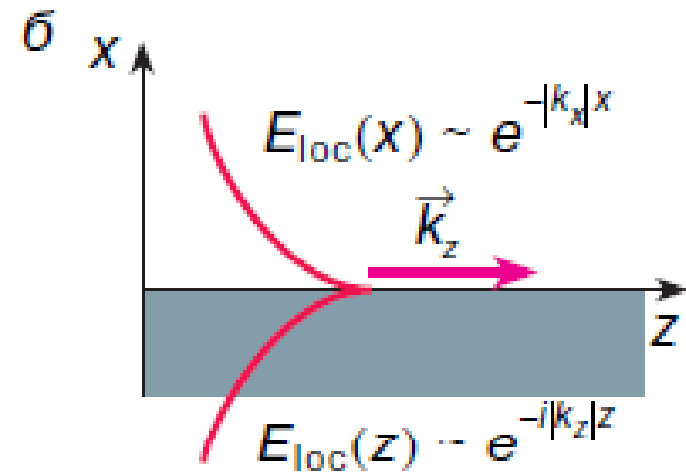
RSC Publishing

COVER ARTICLE

Semenova et al.
Unusual silver nanostructures prepared by aerosol spray pyrolysis

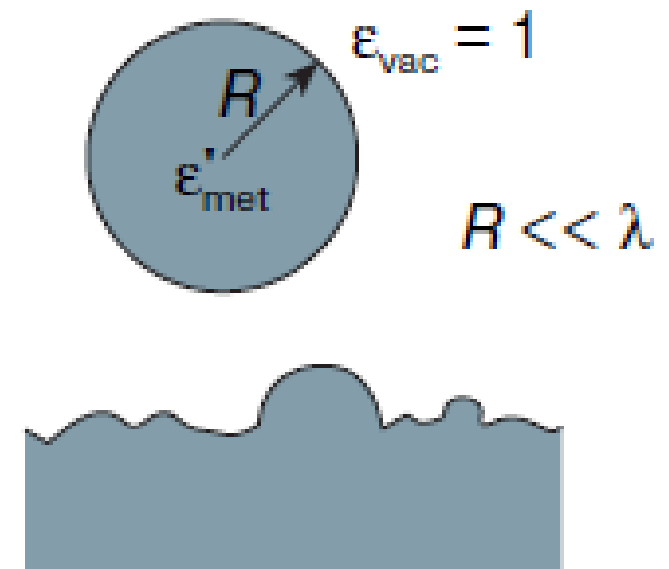
- десятки способов контролируемого восстановления
- легкость получения ультрадисперсных систем заданной концентрации и с контролируемой морфологией дисперсной фазы
- низкая токсичность и цитотоксичность наночастиц
- надежная модификация поверхности (тиолы, амины)
- широкий диапазон структурно – чувствительных свойств
- **разработке активных элементов для современных методов спектроскопии гигантского комбинационного рассеяния при определении нМ концентраций аналитов по «молекулярным отпечаткам пальцев»**

Поверхностный плазмон



SPR - датчики

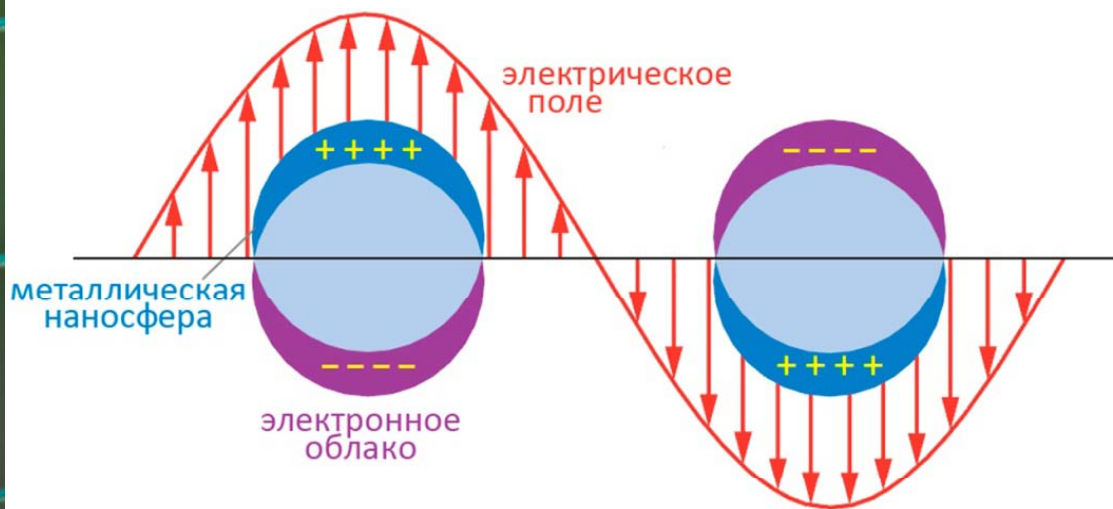
Локализованный плазмон



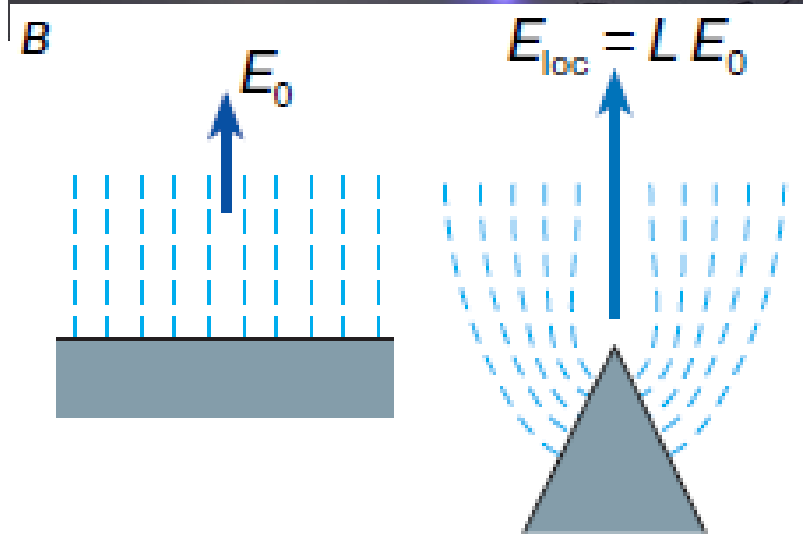
Степашка и резонанс



IA																			VIIIA
H	IIA													IIIA	IVA	VA	VI	VIIA	He
Li	Be													B	C	N	O	F	Ne
Na	Mg	IIIB	IVB	VB	VIB	VII	VIII	VIII	VIII	IB	IIB			Al	Si	P	S	Cl	Ar
K	Ca	Sc	Ti	V	Cr	Mn	Fe	Co	Ni	Cu	Zn			Ga	Ge	As	Se	Br	Kr
Rb	Sr	Y	Zr	Nb	Mo	Tc	Ru	Rh	Pd	Ag	Cd			In	Sn	Sb	Te	I	Xe
Cs	Ba	La	Hf	Ta	W	Re	Os	Ir	Pt	Au	Hg			Tl	Pb	Bi	Po	At	Rn



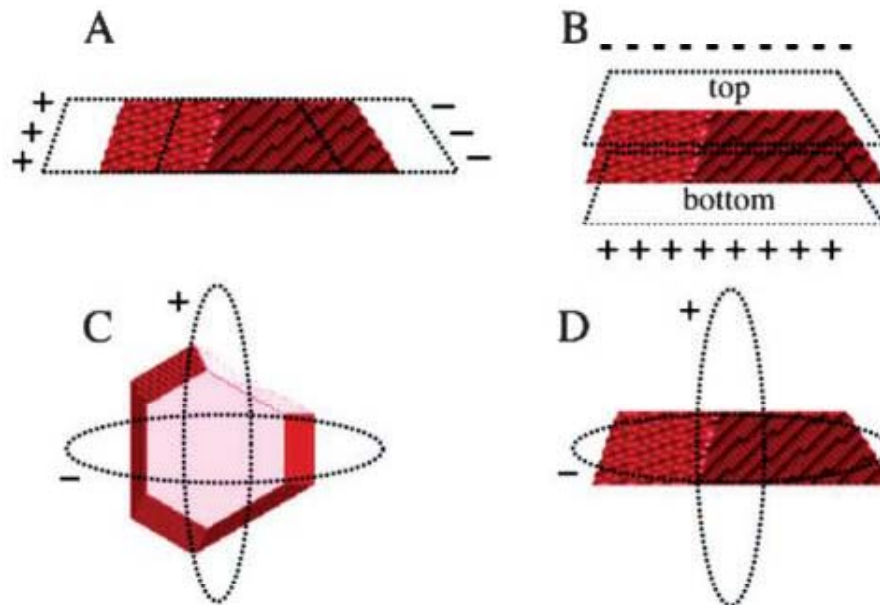
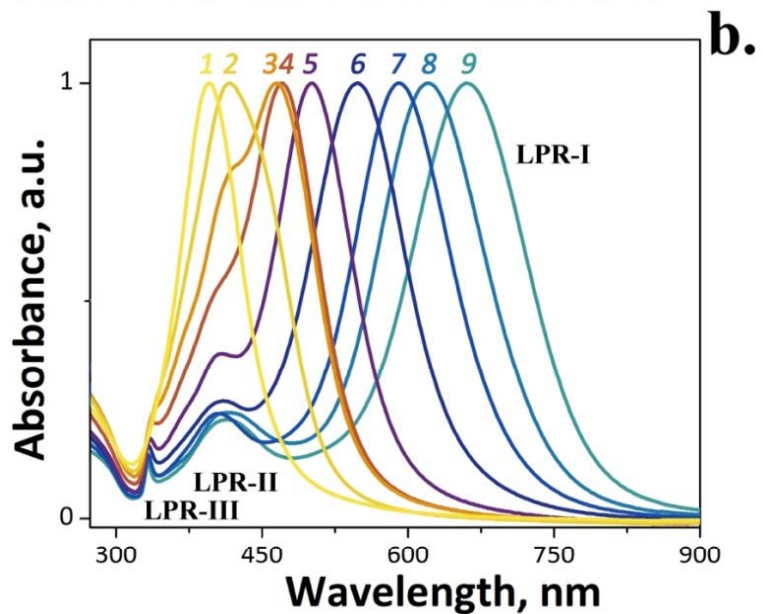
«Эффект громоотвода»



морфология частиц

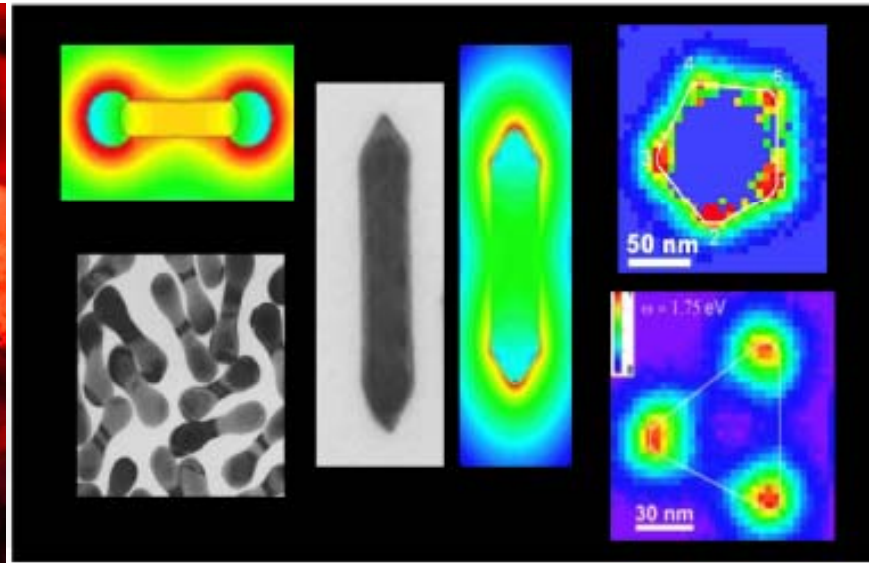


Форма частиц

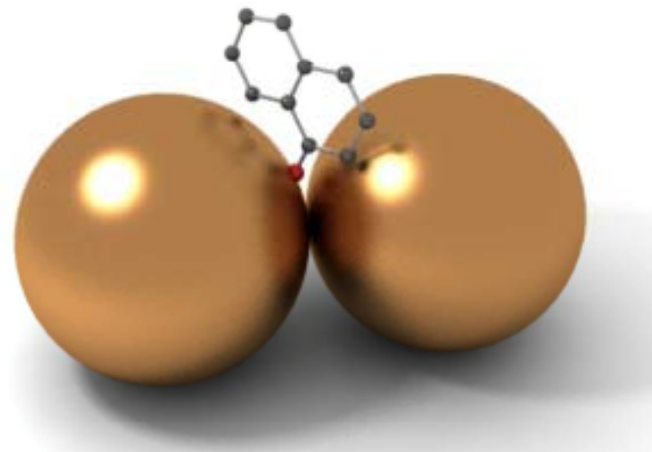


анизотропия частиц

Горячие точки

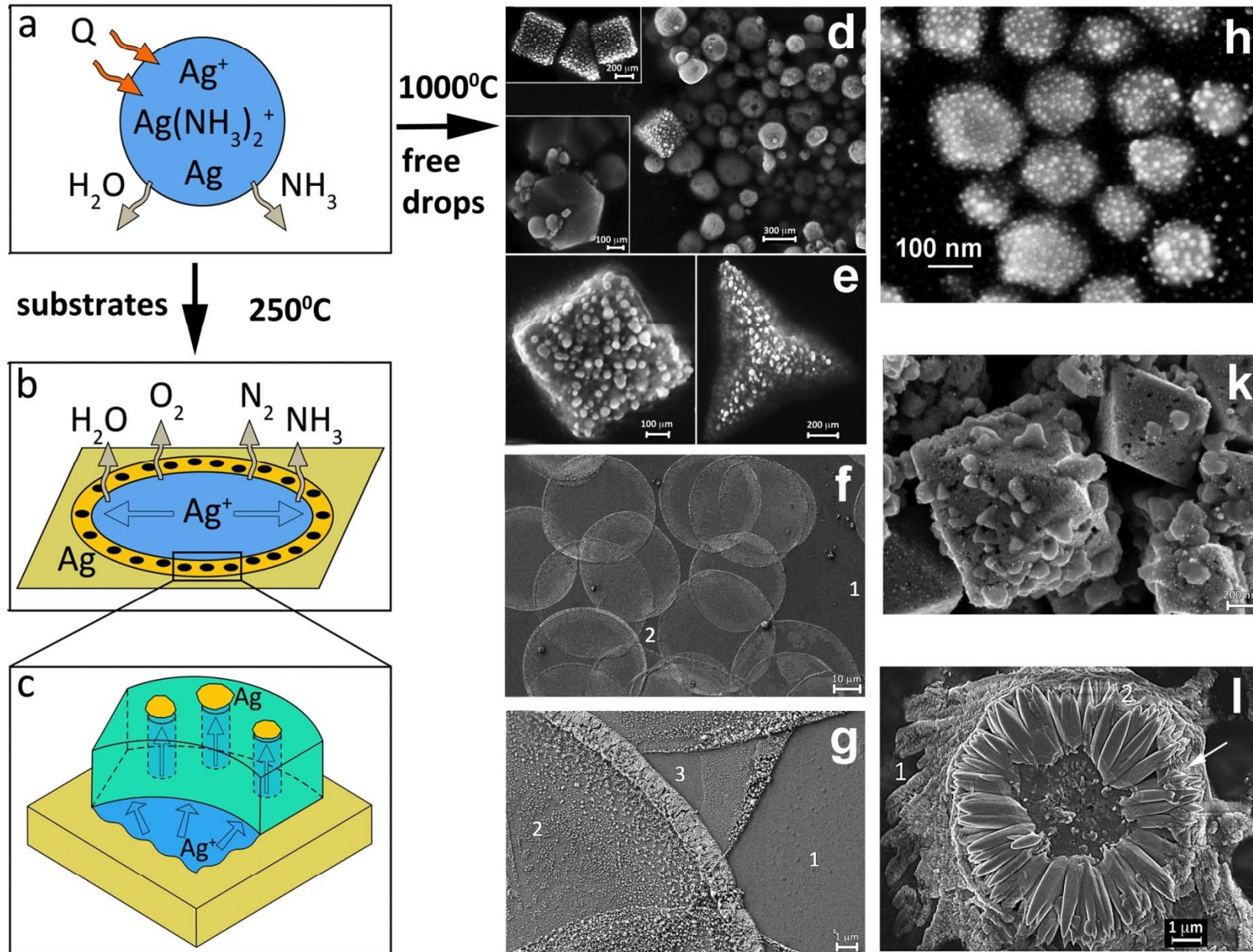


Hot spot



агрегатная структура

USSR (UltraSonic Silver Rain)



J.Mater.Chem., 2012; CrystEngComm, 2013; Plasmonics, 2013

Золь - гель

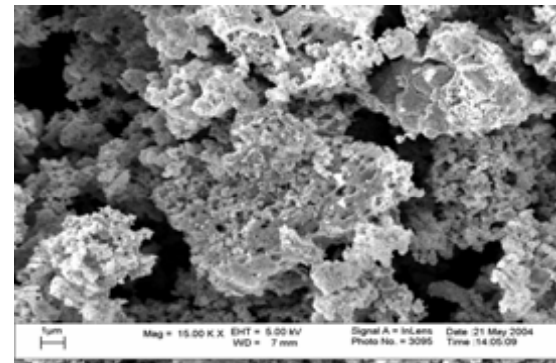
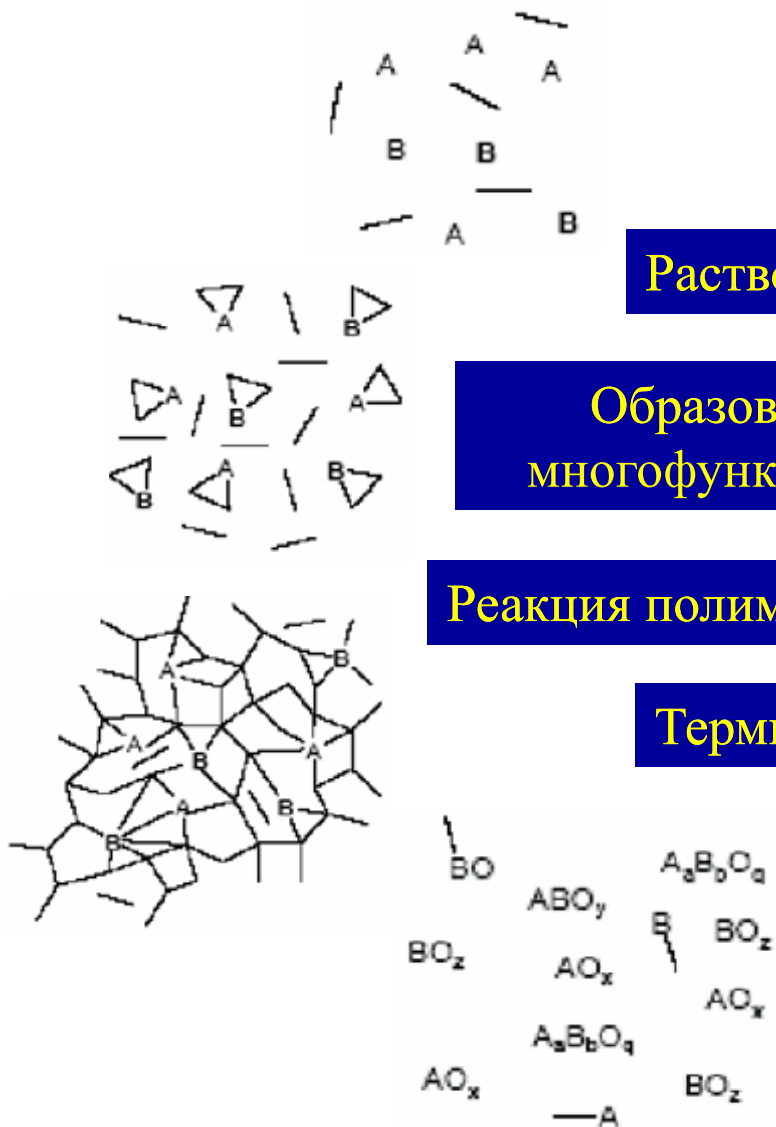
Раствор солей металлов

Образование хелатных комплексов металлов с многофункциональными органическими кислотами

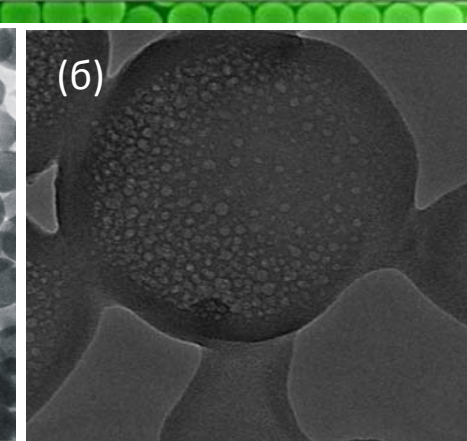
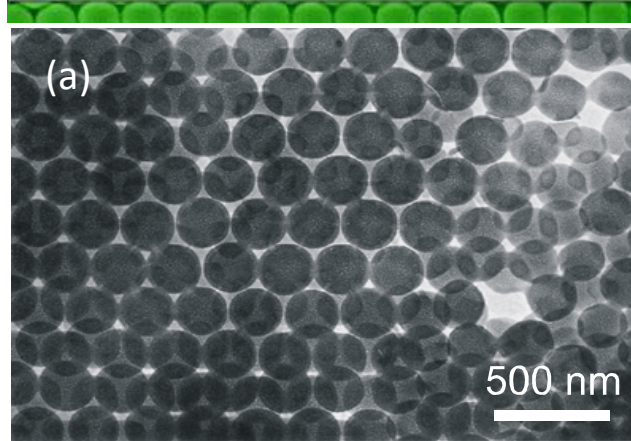
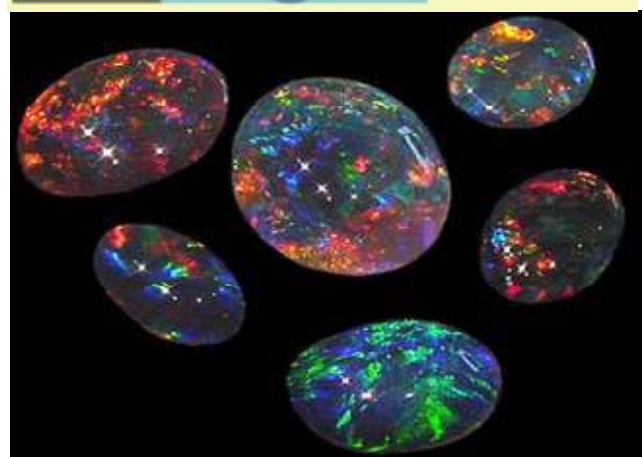
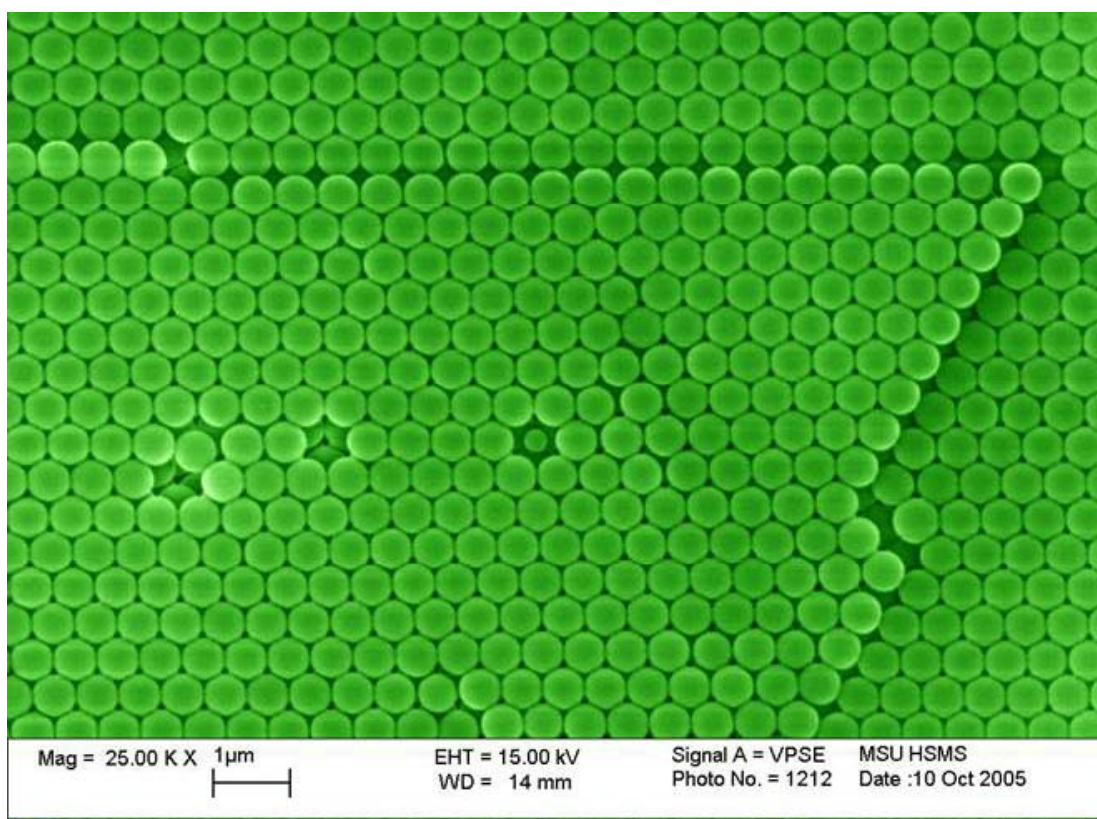
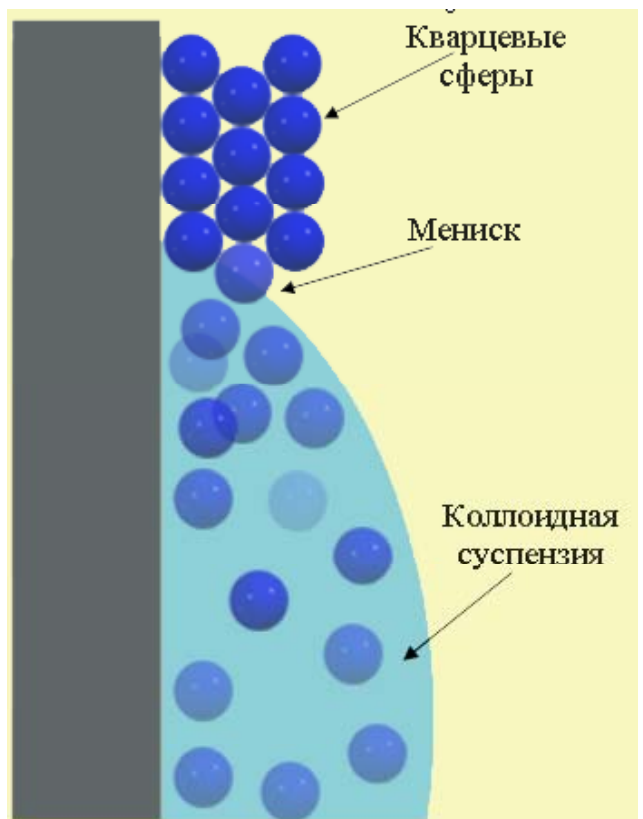
Реакция полимеризации с многоатомными спиртами

Термическое разложение

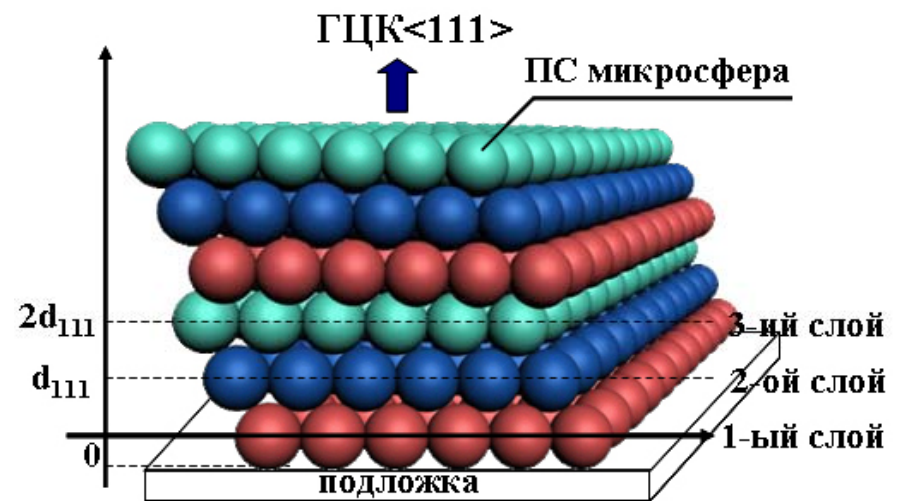
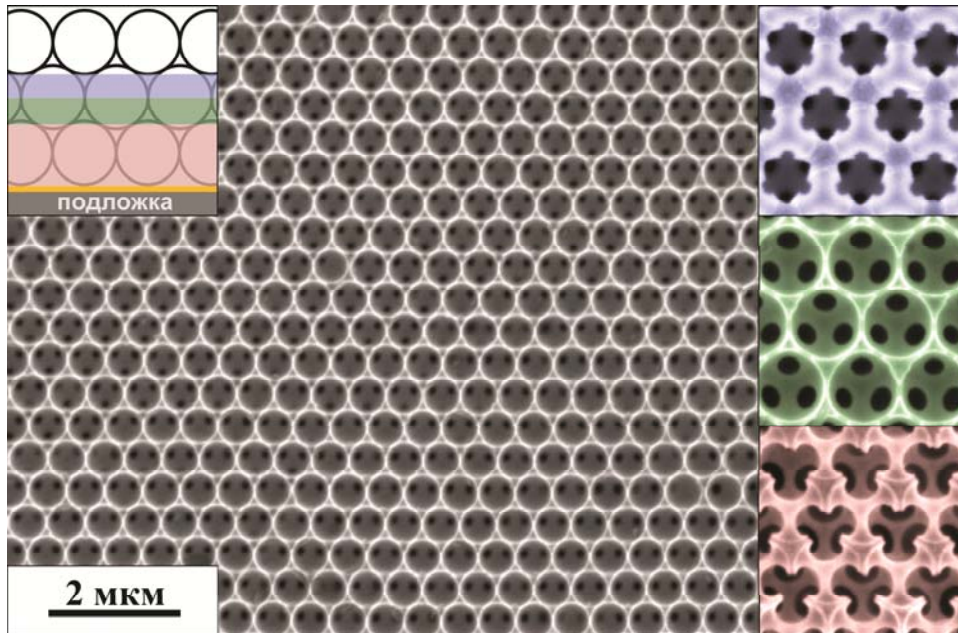
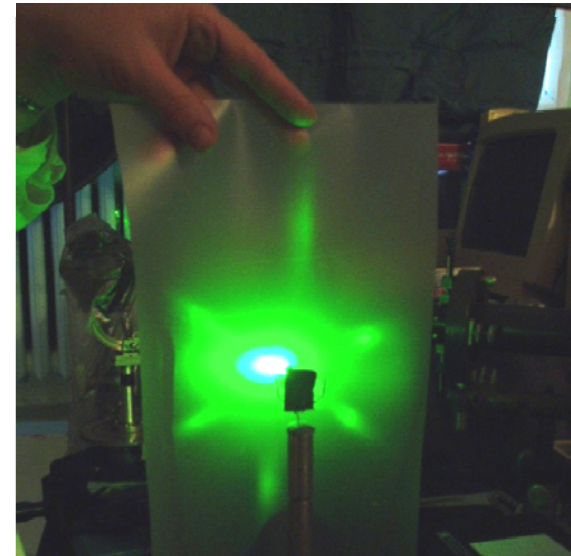
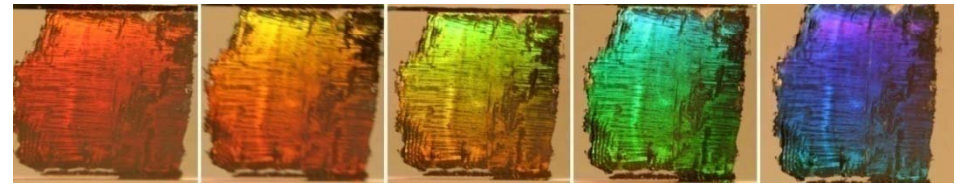
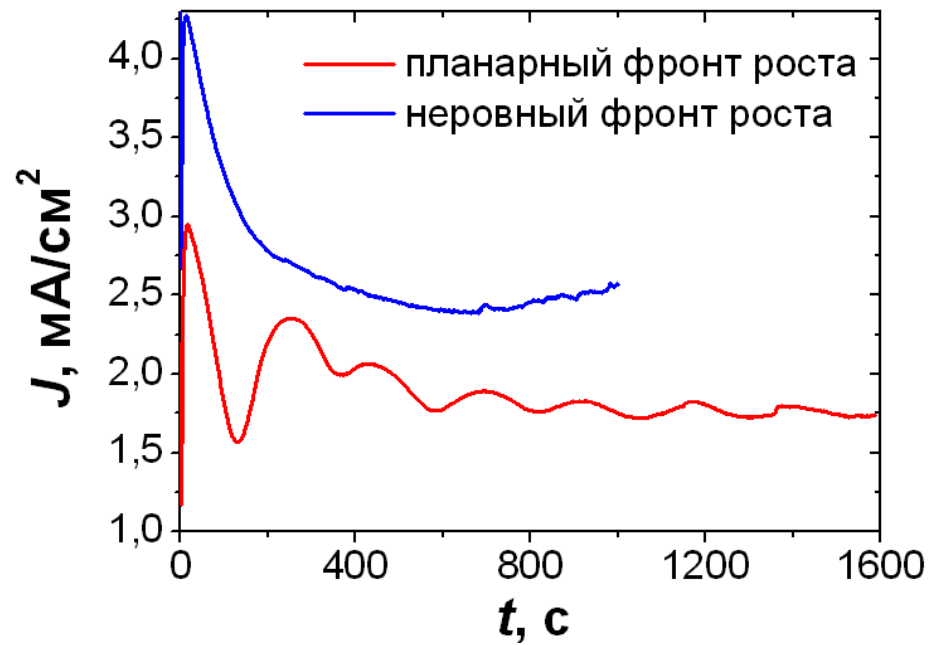
Получение материалов



Фотонный кристалл



Фотоника



Структура опала

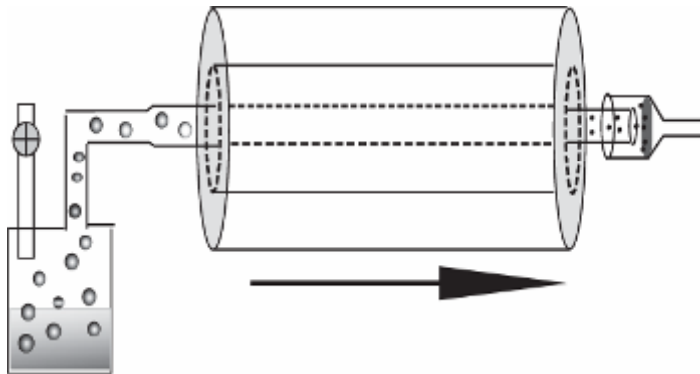


Проект «Загадки окружающего мира»

**Природная
Дифракционная
решетка**

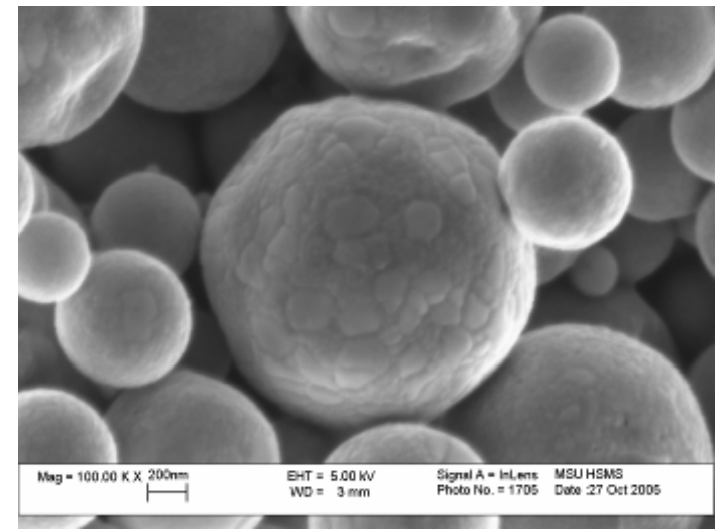
16

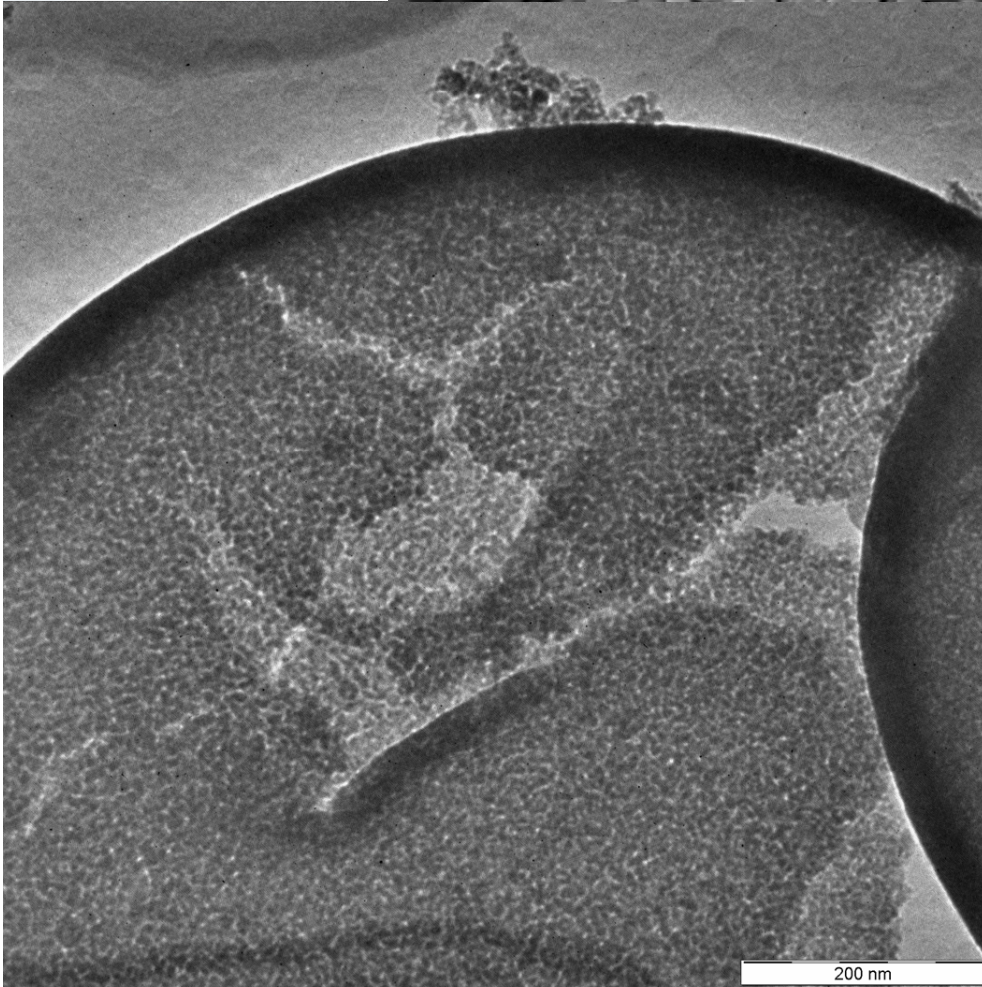
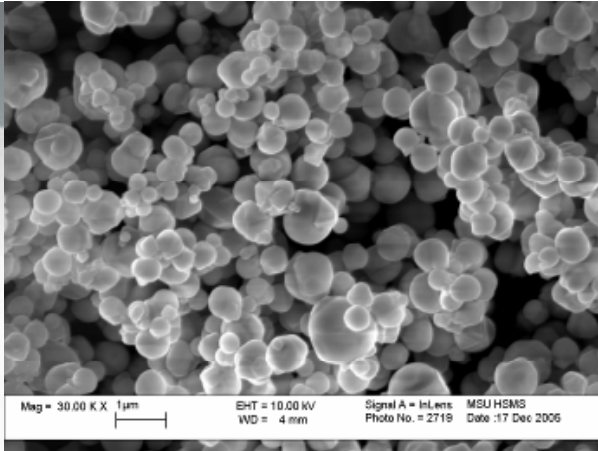
Пиролиз аэрозолей



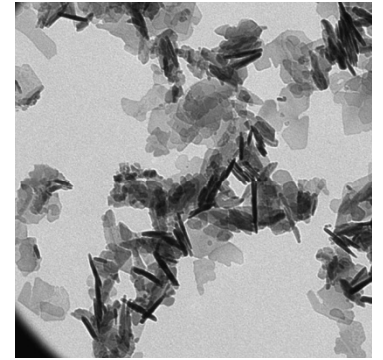
Капля раствора

Испарение растворителя

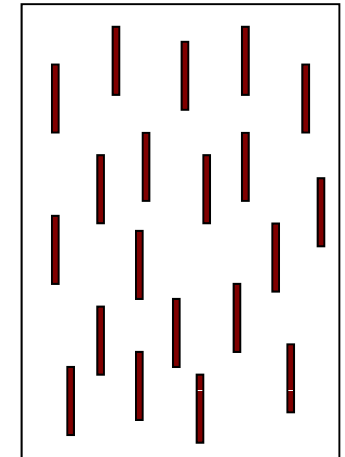
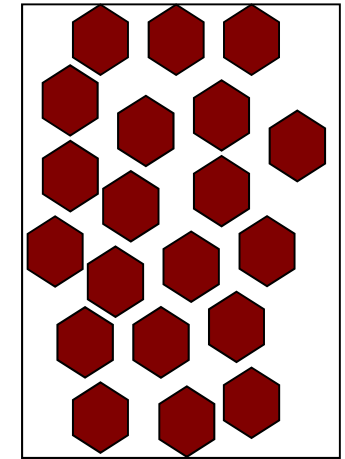




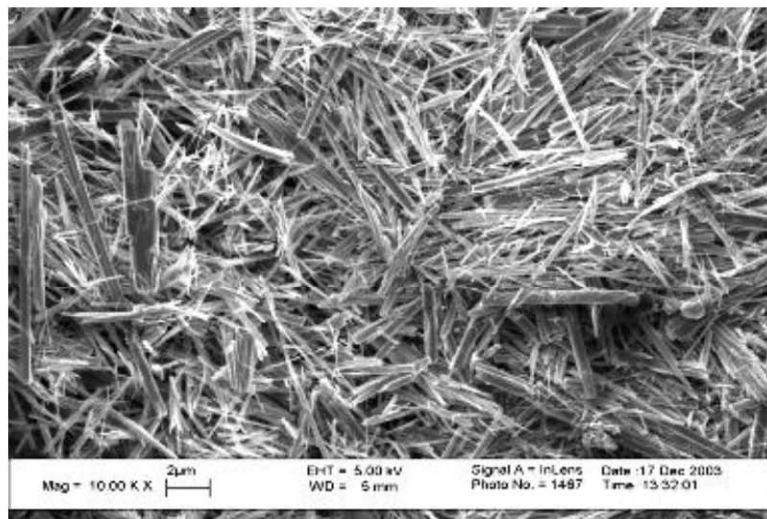
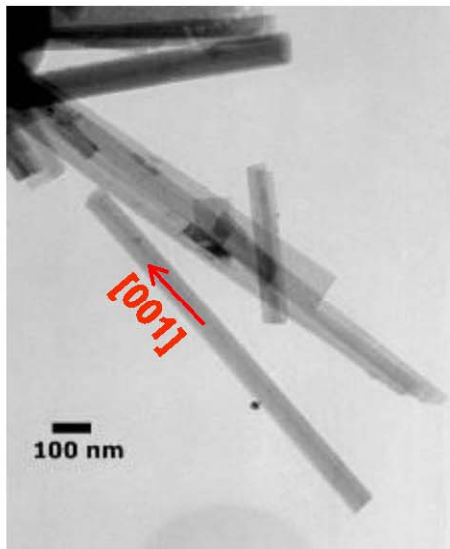
HO



H



Гидротермальная обработка



TiO₂,

контроль pH

вода

150-250°C

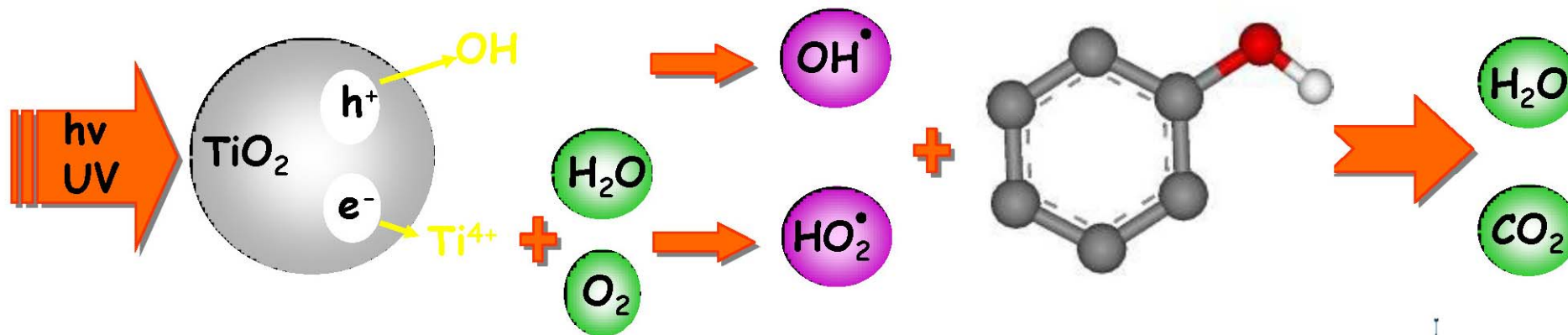
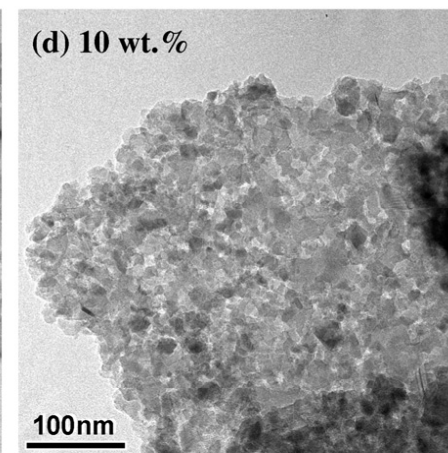
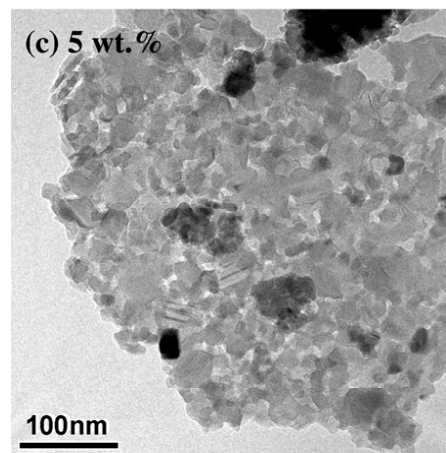
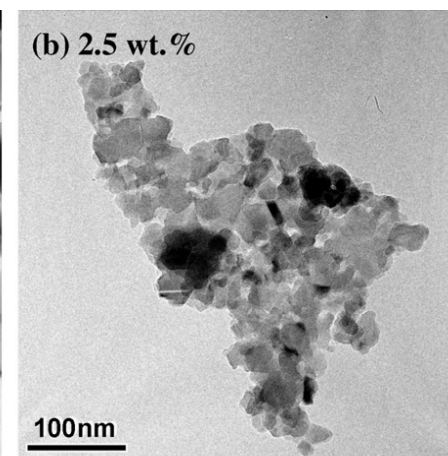
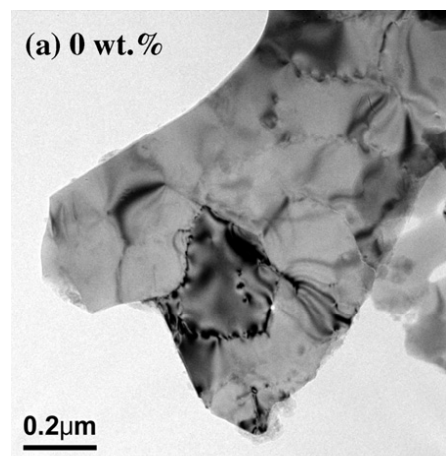
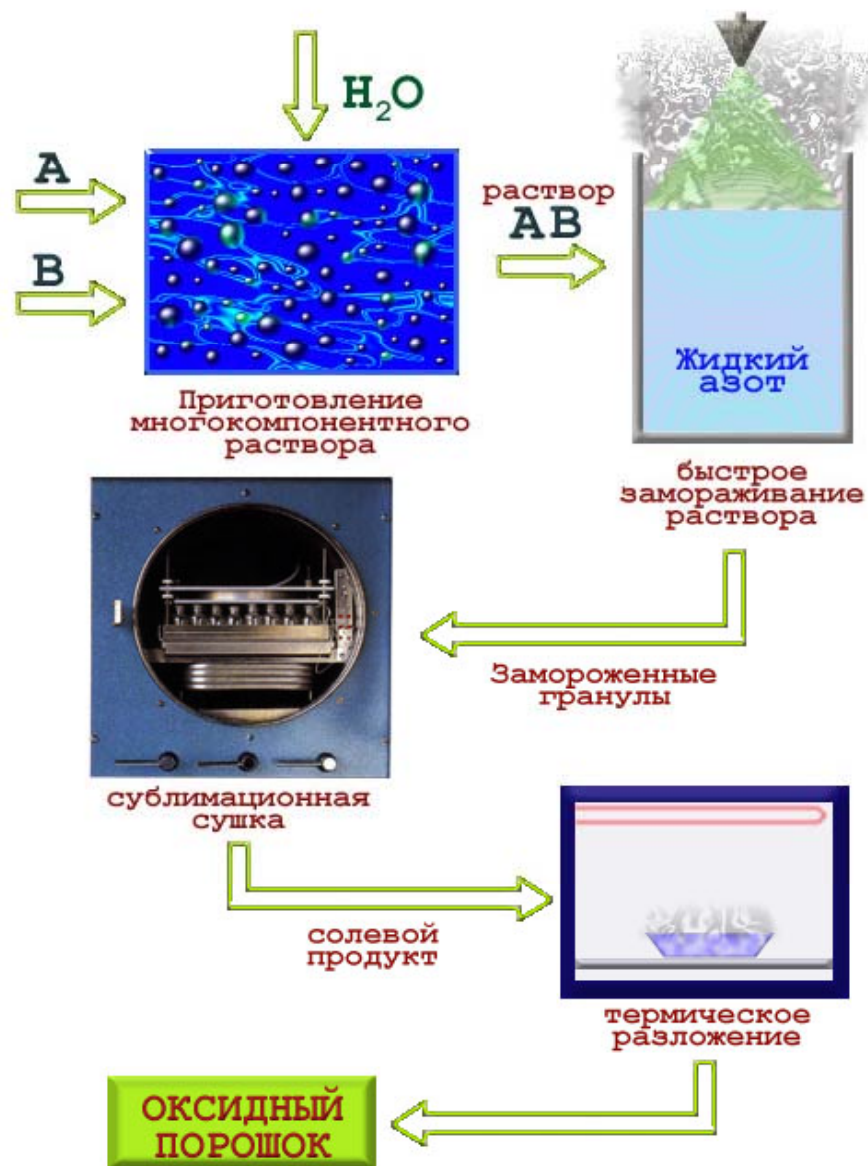
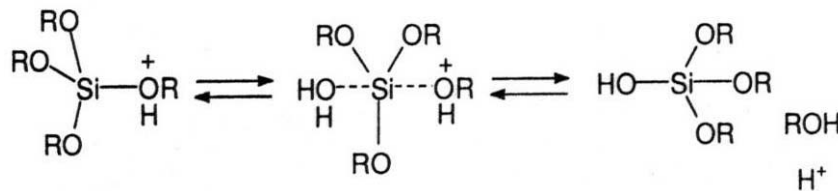
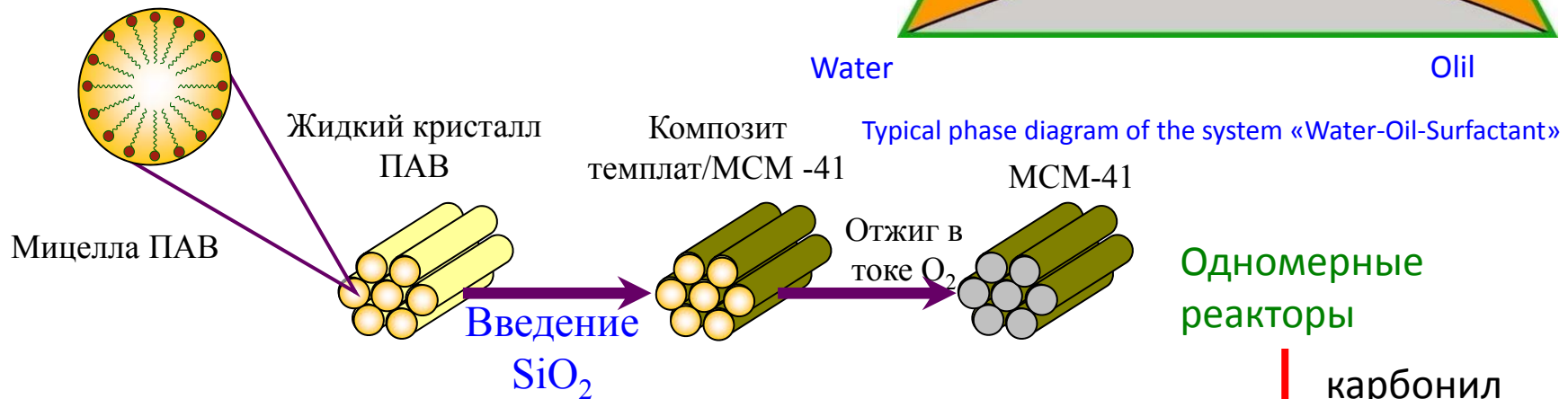
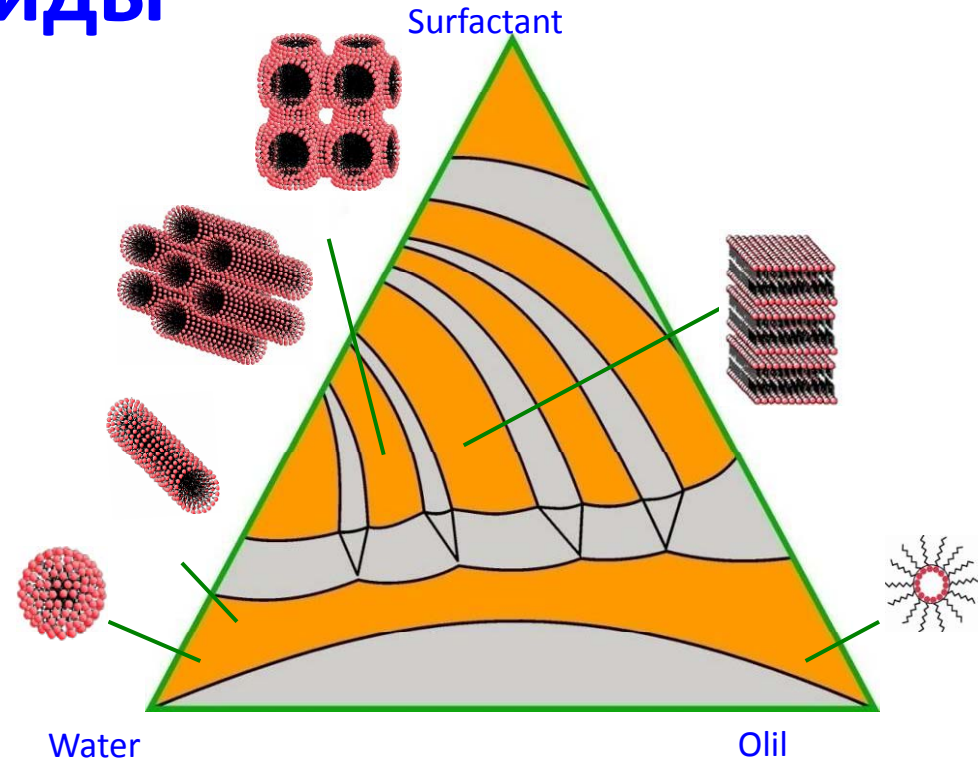


СХЕМА КРИОХИМИЧЕСКОЙ ТЕХНОЛОГИИ



Мезопористые оксиды

- Варьируемый размер пор (1-10 нм)
- Однородность распределения пор по размеру
- Упорядоченность пор
- Создание анизотропных систем
- Изолированность каналов-пор
- Решение проблемы агрегации и химической изоляции наночастиц

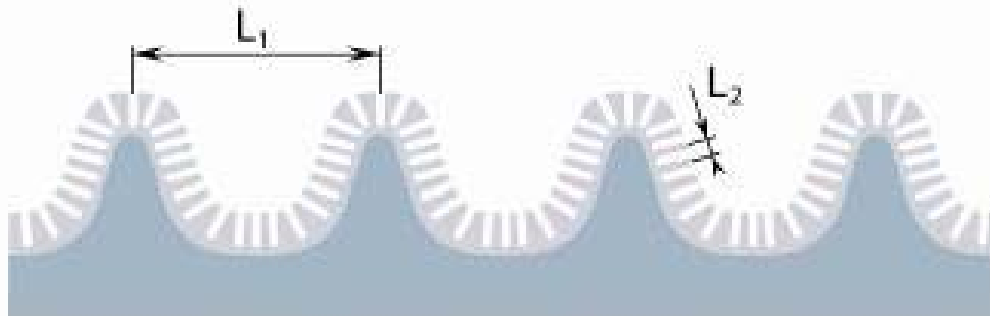
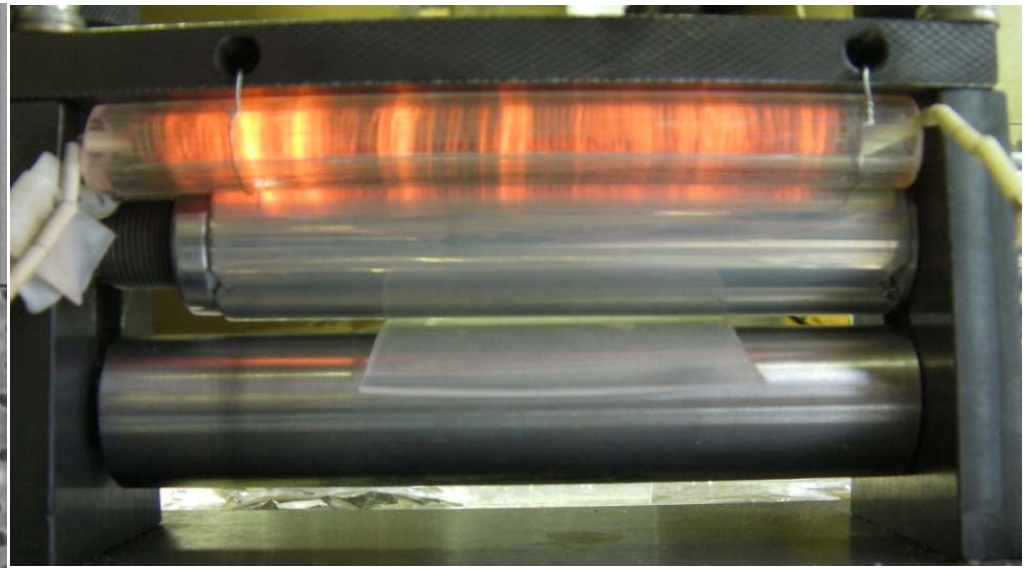
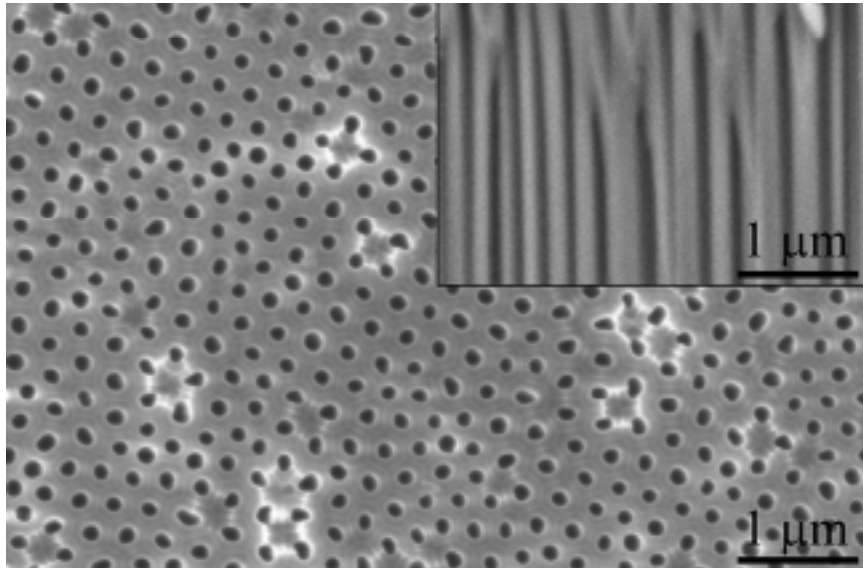


Одномерные реакторы

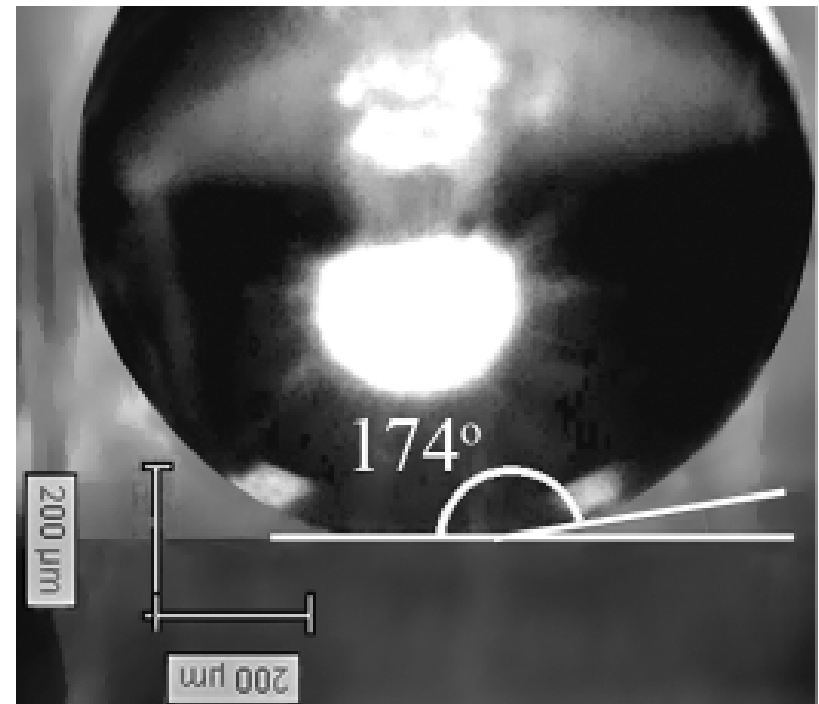
↓ карбонил железа, ...

Магнитный нанокompозит

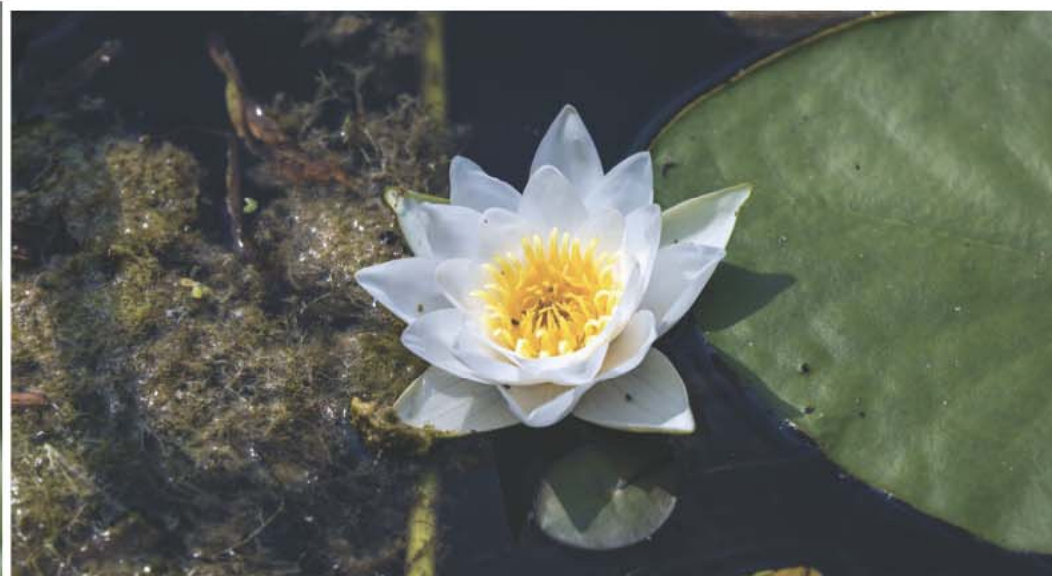
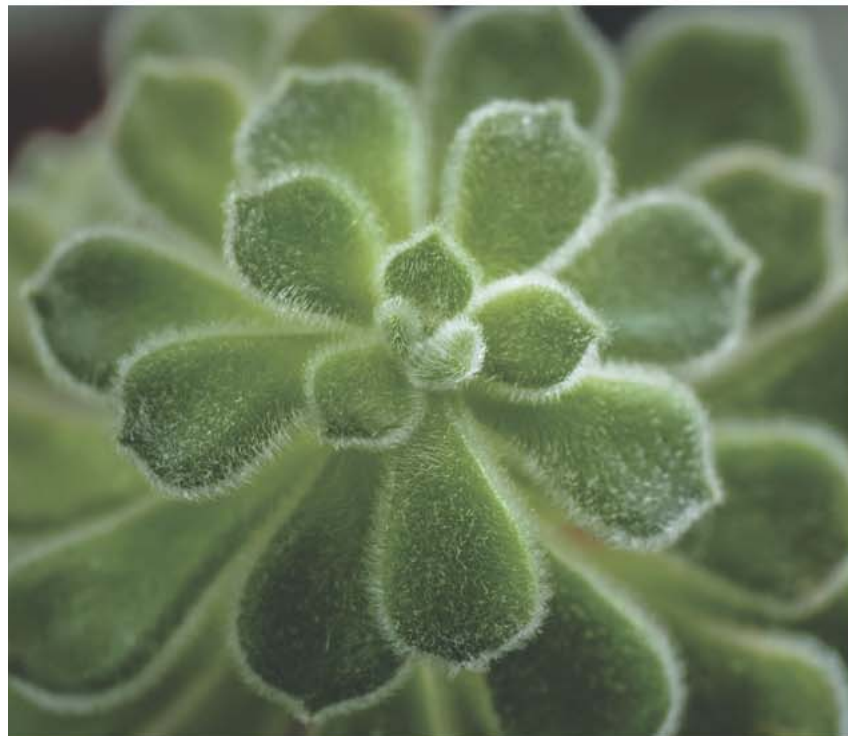
Мембраны пористого оксида алюминия



Микрошероховатости $L_1=5-10$ мкм
Расстояние между порами $L_2= 300-500$ нм, диаметр пор 100-250 нм
+разделение нефтепродуктов
+опреснение воды
+термокаталитические сенсоры



Эффект лотоса



Микро- и наночастицы

Наночастицы:

- Особые физические и химические свойства (оптические, магнитные, каталитические, сенсорные, биологические...)
- Формирование сверхрешеток
- Широкое применение в научно – исследовательских и практических целях (устройства записи и отображения информации, наномедицина, сенсорика, катализ, фотокатализ, супергидрофобные поверхности, химические источники тока, ...)

Микрочастицы:

- Строительные блоки для упорядоченных микропористых сред,
- Носители и «концентраторы» наночастиц (коллоидосомы, нанокомпозиты),
- Широкое применение в научно – исследовательских и практических целях

Способы получения:

- Химические методы гомогенизации
- Физические методы
- Биологические методы
- Самосборка (самоорганизация)

**Варьируемая полоса
плазмонного резонанса
позволяет получать сигнал от
большого числа объектов**

Возможные функции

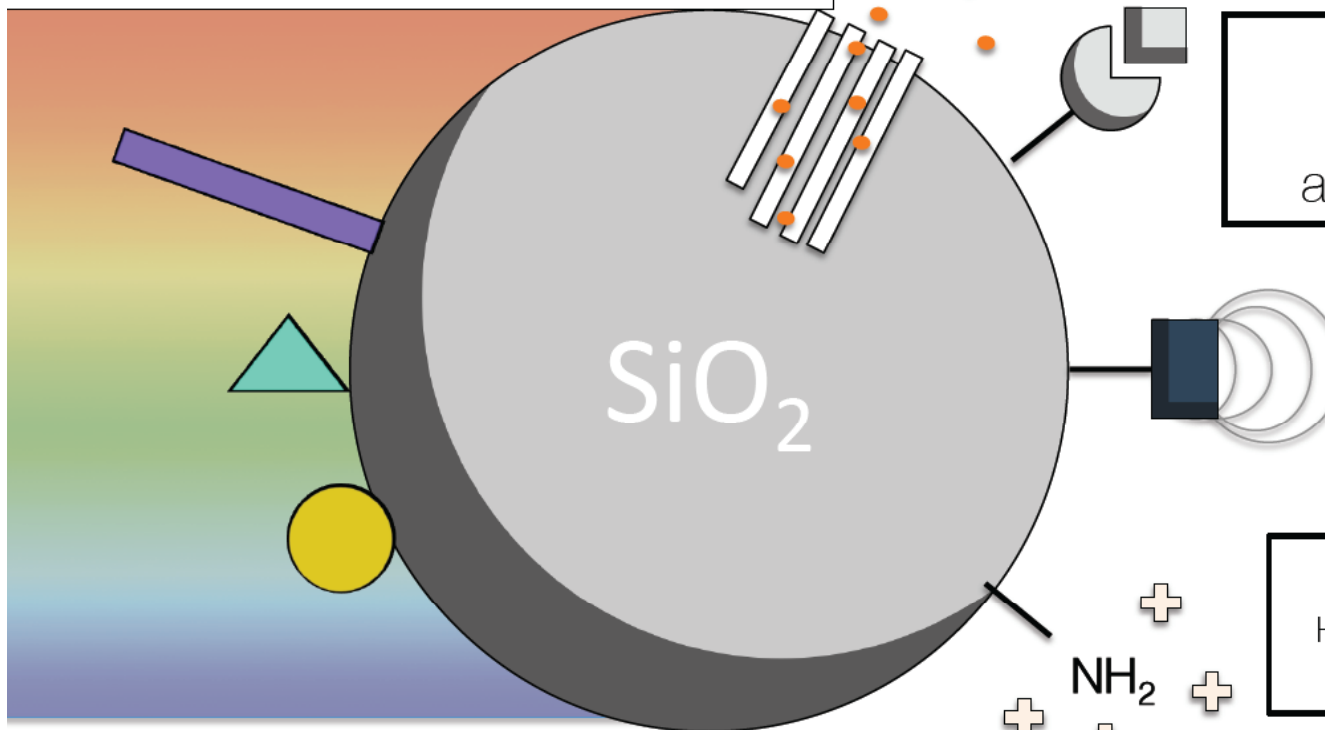
Пористость
(газовые сенсоры)

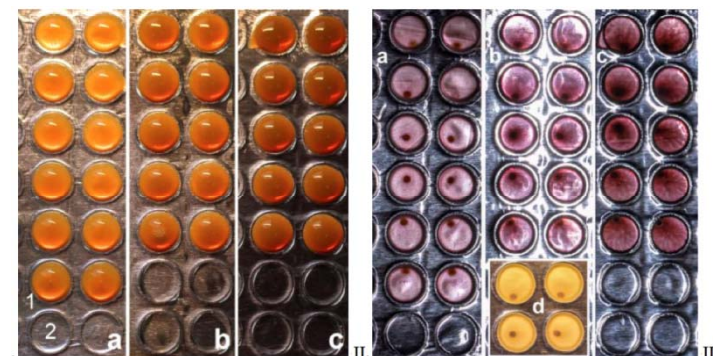
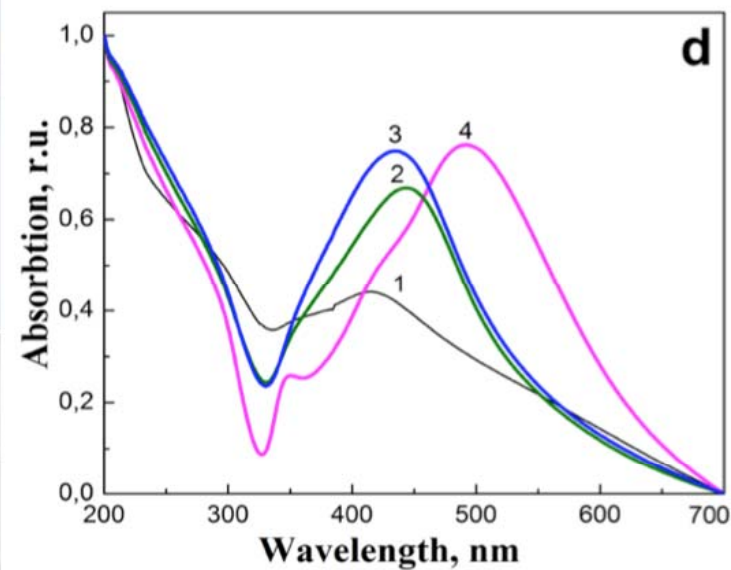
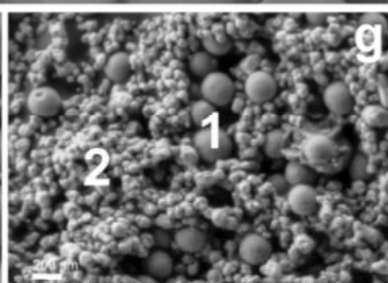
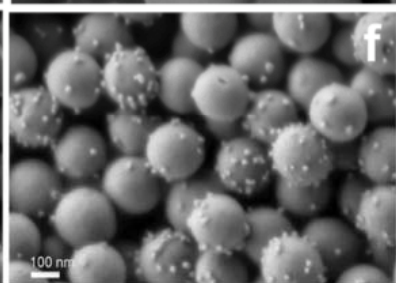
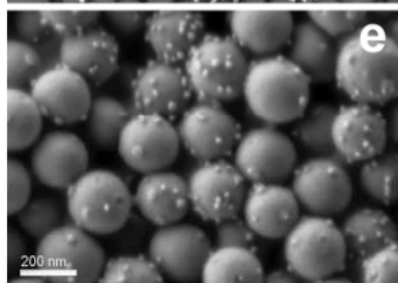
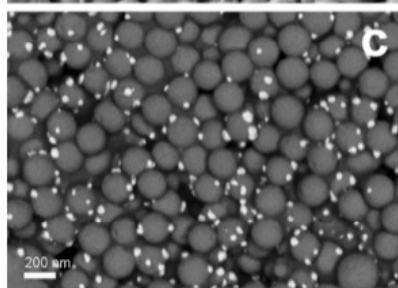
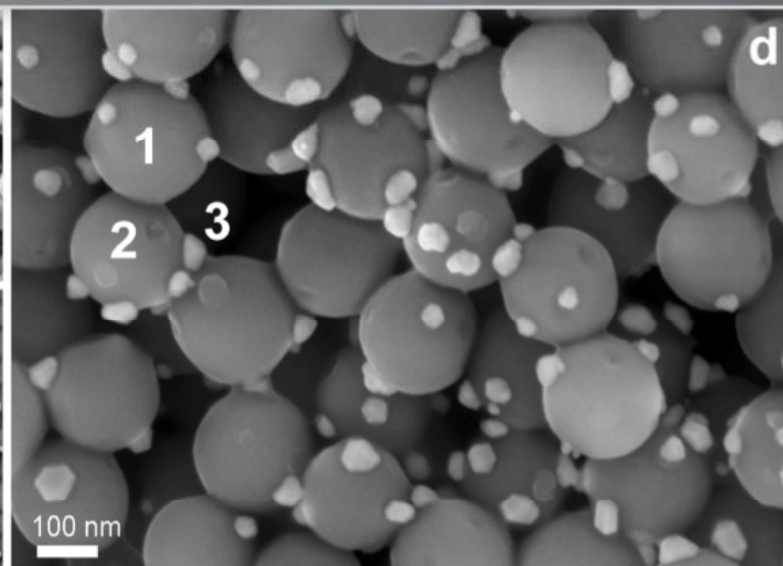
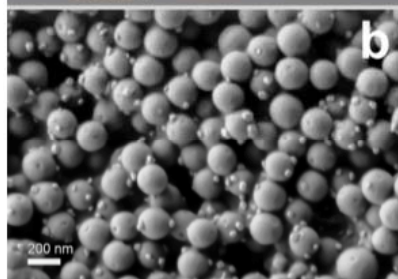
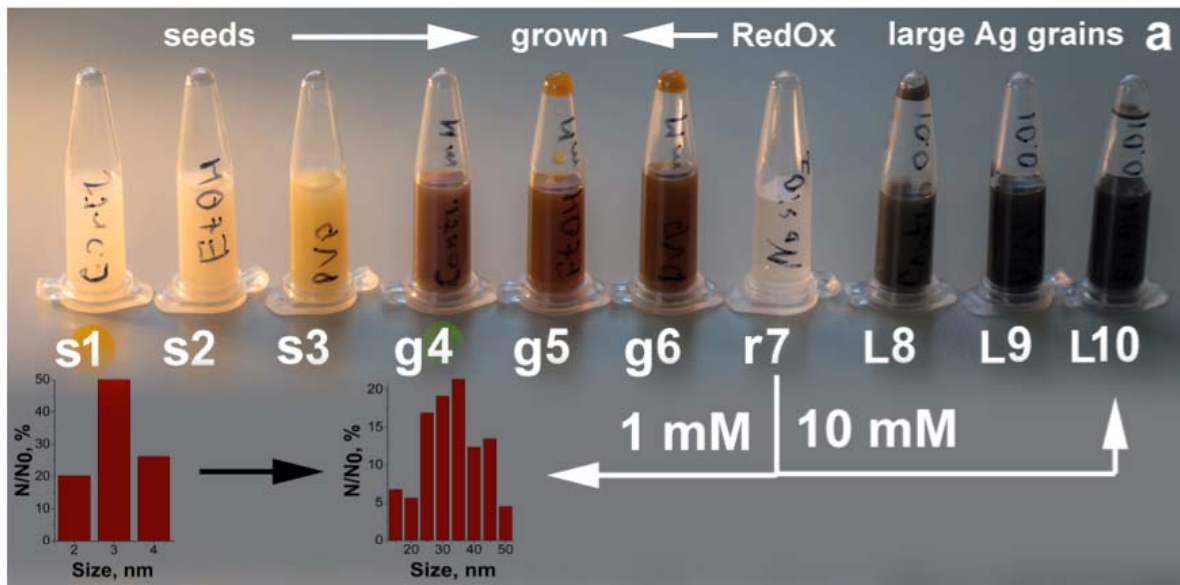
Антиген-антитело
(селективный захват
аналитов из раствора)

Магнитные свойства
(магнитная
сепарация)

Заряд поверхности и
наличие функциональных
групп

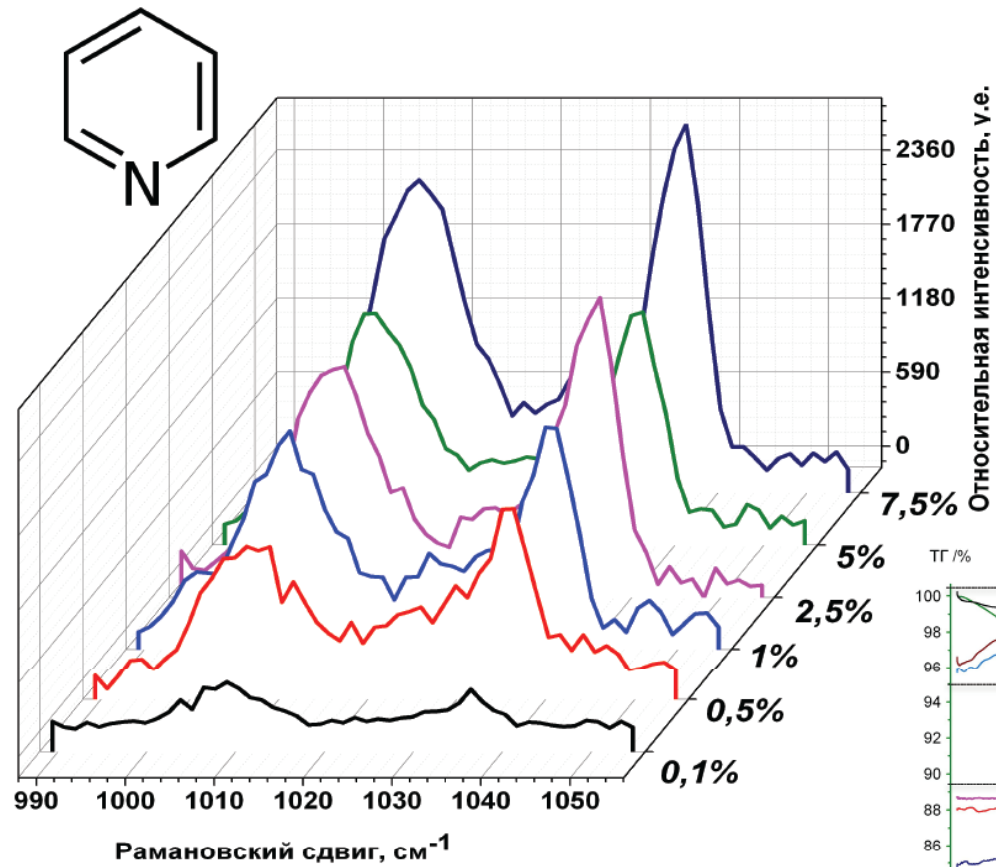
3



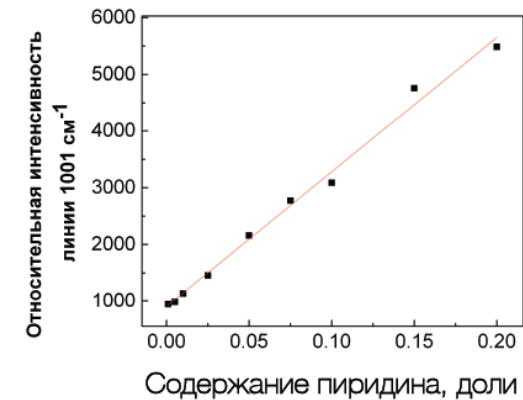


RSC Adv., 2015

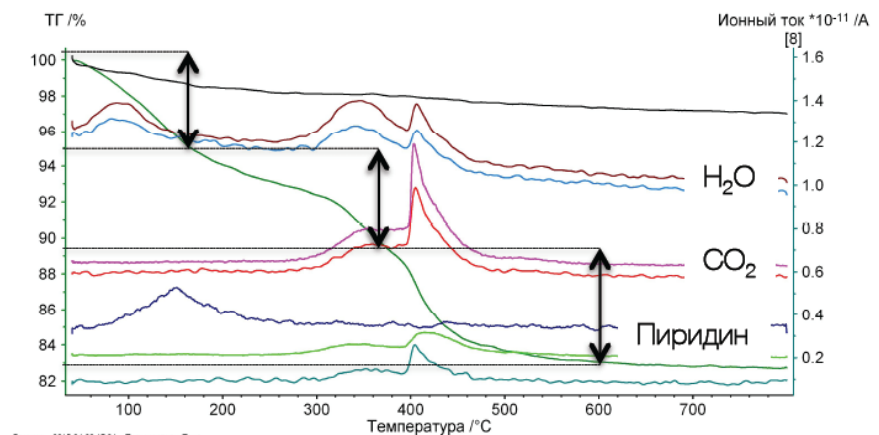
Коллойдосомы: газовые сенсоры



Серия ГР спектров пиридина в газовой фазе в области низких концентраций



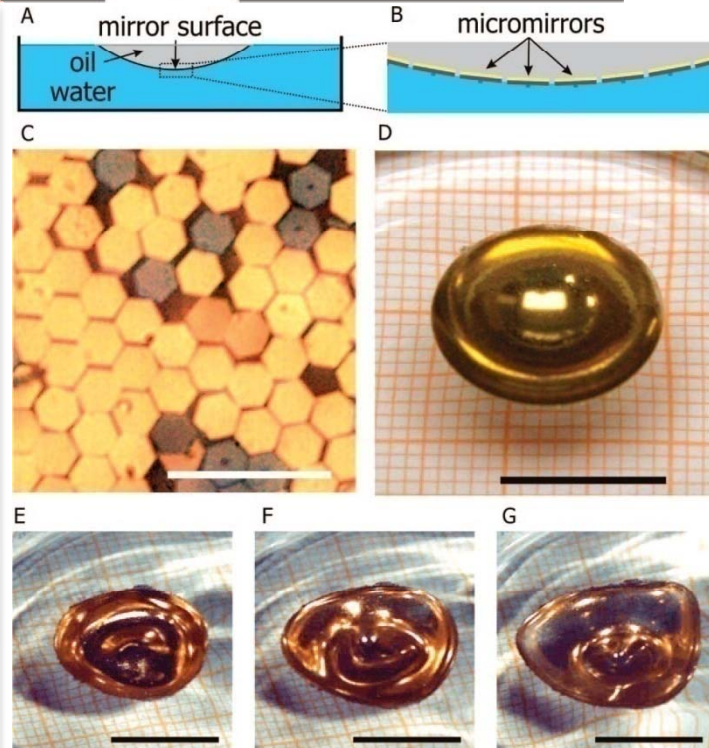
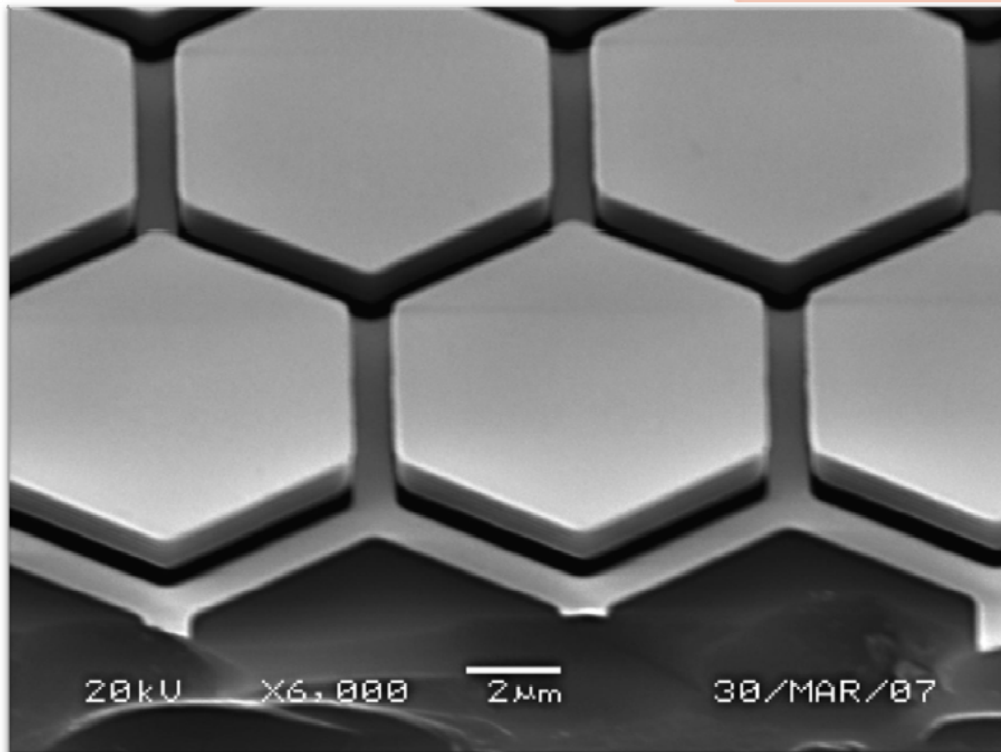
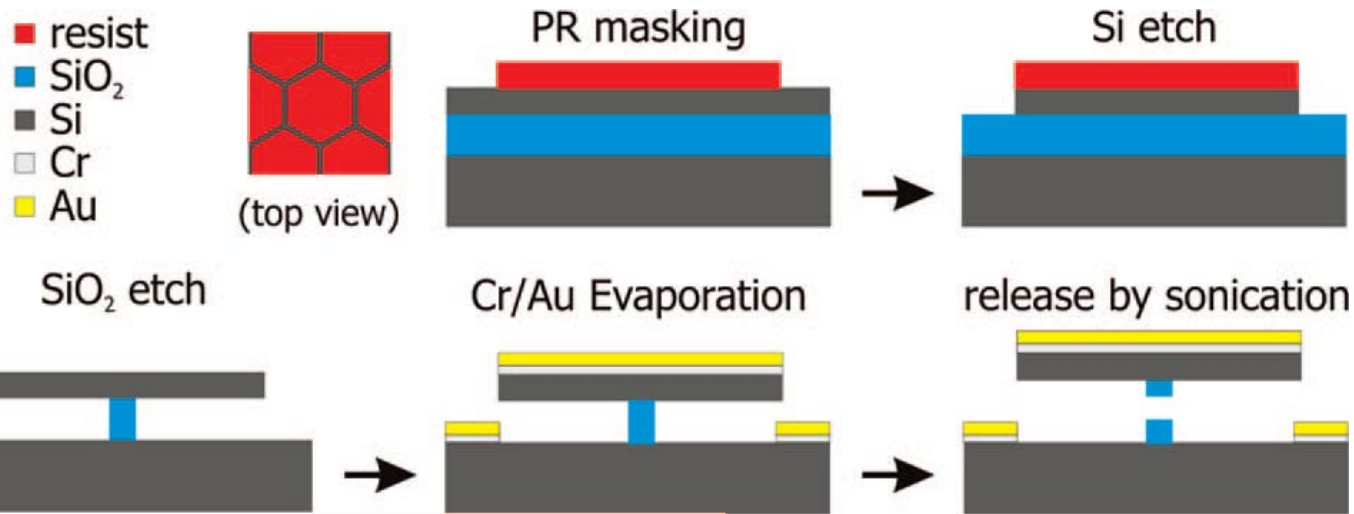
Зависимость интенсивности пика 1006 cm^{-1} от $P(\text{пиридина})$



Главное 2015-04-30 17:34 Пользователь: Тим

Данные ТГ анализа с масс-спектрометрией отходящих газов

Кривое зеркало из микрозеркал



Современные «вызовы»

- Медицина, диагностика, фармацевтика
- Экология, сенсорика
- Энергетика, нефтепереработка, альтернативная энергетика
- Информационные технологии, мобильная электроника
- Нейробиологический интерфейс
- Авиация, космос
- Строительство
-

- Нанохимия - современное воплощение химии, которое объединяет в себе и использует общую, неорганическую, органическую, физическую химию, химию твердого тела. Ни "просто химия", ни нанохимия в современном мире уже не могут существовать отдельно друг от друга, обогащают и взаимно развивают теоретические основы и экспериментальные подходы, дают нам и новые открытия, и новые устройства, которые отвечают большим вызовам современности и делают нашу жизнь лучше.



НАНОТЕХНОЛОГИИ - ПРОРЫВ В БУДУЩЕЕ!

<http://enanos.nanometer.ru>